

FS19 §1 Quadratur

§1.1. Motivation

$$\text{Bsp } \begin{cases} \dot{y} = f(t, y) & t \in \mathbb{R} \quad y(t) \in \mathbb{R} \\ y(t_0) = y_0 \end{cases}$$

Gesucht: $y: [t_0, T] \rightarrow \mathbb{R}$

Bescheidener: $y(T)$ ist gesucht

$$\int_{t_0}^T dt \Rightarrow y(T) = y(t_0) + \int_{t_0}^T f(t, y(t)) dt$$

Bsp Was ist die Periode eines Pendulums?

$$T = 4 \sqrt{\frac{l}{g}} K\left(\sin \frac{\alpha_0}{2}\right) \quad \text{wobei}$$

$$K(\alpha) = \int_0^{\pi/2} \frac{1}{\sqrt{1 - \alpha^2 \sin^2 s}} ds$$

Bsp Planck's Gesetz für die Strahlung eines schwarzen Körpers

T = Temperatur in K, λ = Wellenlänge in μm
 $c_1, c_2 = \text{phys. konst.}$

$$E(\lambda, T) = \frac{c_1}{\lambda^5 (e^{\frac{c_2}{\lambda T}} - 1)}$$

↳ Energieverlust pro Flächeneinheit.

$$Q = \int_0^{\infty} E(\lambda, T) d\lambda = \sigma T^4$$

↙
 σ = Stefan-Boltzmann-Konstante.

Ziel: berechne σ

$$\sigma T^4 = \int_0^{\infty} E(\lambda, T) d\lambda \Rightarrow \sigma = \frac{1}{T^4} \int_0^{\infty} E(\lambda, T) d\lambda$$

$$J = \int_a^b f(x) dx \approx Q(f, a, b) = \sum_{j=1}^n w_j f(x_j)$$

↑ Gewichte
↑ Knoten

Ziel: Wähle Knoten, Gewichte, Strategie für diese Berechnung um den Fehler $|J - Q|$ aber auch die Kosten klein zu halten.

IDEE: $f \approx$ einfache Funktion, dessen Integral leicht/analytisch berechenbar ist

z.B. $f \approx$ Polynom $\alpha_0 + \alpha_1 x + \dots + \alpha_n x^n$

$f \approx$ trigonometrischen Polynom.
 $\alpha_0 + \alpha_1 e^{i1x} + \alpha_2 e^{i2x} + \dots$
 $+ \alpha_{-1} e^{-i1x} + \alpha_{-2} e^{-i2x} + \dots$

Gegeben Knoten x_0, x_1, \dots, x_n
 kann man $\alpha_0, \alpha_1, \dots, \alpha_n$ berechnen, sodass
 $P_n(x) = \alpha_0 + \alpha_1 x + \dots + \alpha_n x^n$ erfüllt

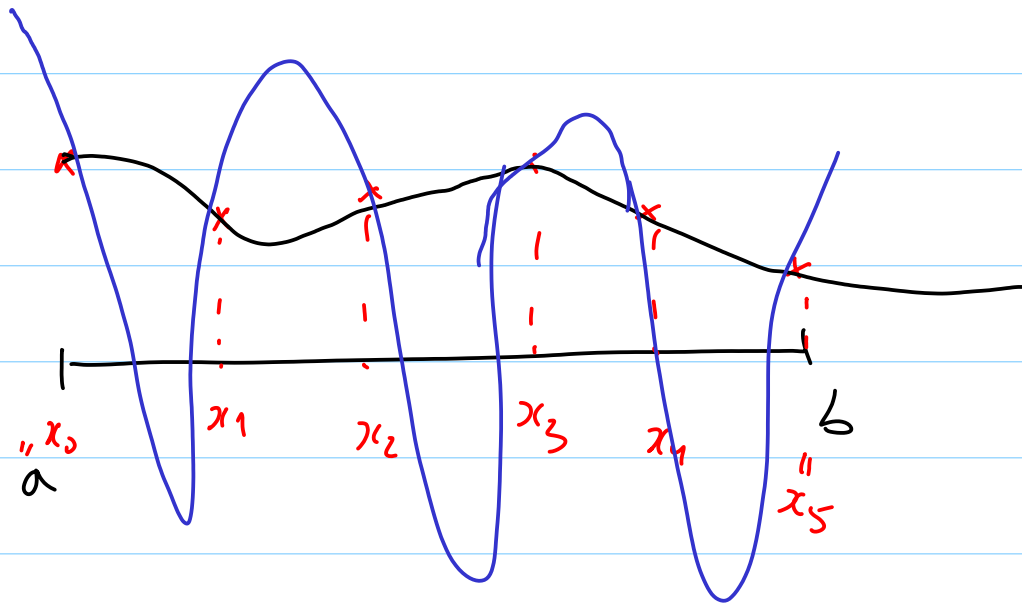
$$P_n(x_j) = f(x_j) \quad \text{für } j=0, 1, \dots, n$$

Im Prinzip ist das das LGS:

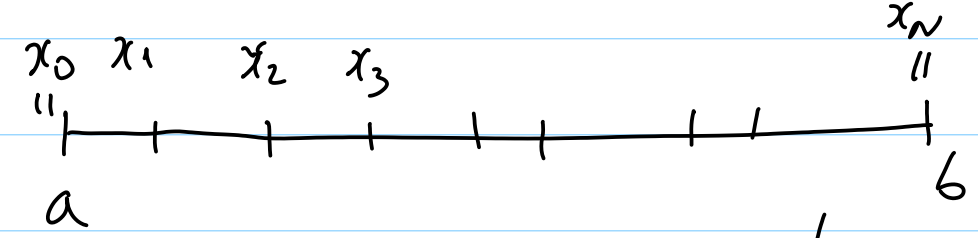
$$\begin{bmatrix} 1 & x_0 & \dots & x_0^n \\ 1 & x_1 & & x_1^n \\ 1 & x_2 & & x_2^n \\ \vdots & \vdots & & \vdots \\ 1 & x_n & & x_n^n \end{bmatrix} \begin{bmatrix} \alpha_0 \\ \alpha_1 \\ \vdots \\ \alpha_n \end{bmatrix} = \begin{bmatrix} f(x_0) \\ \vdots \\ f(x_n) \end{bmatrix}$$


Somit $f(x) \approx P_n(x)$ und dann.

$$\int_a^b f(x) dx \approx \int_a^b P_n(x) dx = \text{exakt.}$$



IDEA: Zerlege $\int_a^b f(x) dx = \sum_{k=0}^{N-1} \int_{x_k}^{x_{k+1}} f(x) dx$



$x_k = x_0 + kh$ mit $h = \frac{b-a}{n}$ klein

Man kann beweisen:

$f \in C^n[a, b] \Rightarrow |I-Q| \leq \frac{1}{n!} (b-a)^{n+1} \max_{z \in [a, b]} |f^{(n)}(z)|$

Länge des Intervalls ist wichtig. (points to $(b-a)^{n+1}$)

Glattheit ist wichtig. (points to $\max |f^{(n)}(z)|$)

und wende die Quadraturformel auf jedem kleine Intervall der Länge $h \Rightarrow$

Zusammengesetzte Quadraturformel

Fehler: $\left| \int_a^b f(x) dx - \sum_{k=0}^{N-1} Q(f, x_k, x_{k+1}) \right| \leq$

$\leq \sum_{k=0}^{N-1} \left| \int_{x_k}^{x_{k+1}} f(x) dx - Q(f, x_k, x_{k+1}) \right| \leq$

$$\leq \sum_{k=0}^{N-1} \frac{1}{n!} \underbrace{(x_{k+1} - x_k)}_h^{n+1} \max_{z \in [x_k, x_{k+1}]} |f^{(n)}(z)| =$$

$$\sum_{k=0}^{N-1} \frac{h^{n+1}}{n!} \max_{z \in [x_k, x_{k+1}]} |f^{(n)}(z)| \leq C \cdot \frac{h^{n+1}}{n!} \sum_{k=0}^{N-1} 1 = C \frac{h^{n+1}}{n!} N$$

$$\leq \max_{z \in [a, b]} |f^{(n)}(z)| = C$$

$$h = \frac{b-a}{N} \Rightarrow N = \frac{b-a}{h}$$

$$\Rightarrow |J - Q| \leq C \cdot \frac{h^{n+1}}{n!} \cdot \frac{b-a}{h} = C \frac{h^n}{n!} (b-a)$$

Def Quadraturformel hat Ordnung $n+1$
 Wenn sie Polynome von Grad maximal n
 exakt integriert.

(das erste falsche Ergebnis: x^{n+1})

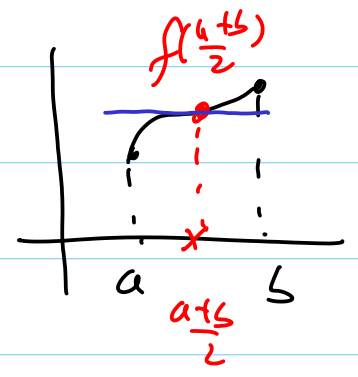
$$\int_a^b p(x) dx = Q(p, a, b) \quad \text{für alle Polynome vom Grad } \leq n$$

und es gibt ein Polynom \tilde{p} vom Grad $n+1$:

$$\int_a^b \tilde{p}(x) dx \neq Q(\tilde{p}, a, b).$$

Bsp 1) Mittelpunktsregel.

(MPR) $Q^1(f, a, b) = (b-a) f(\frac{a+b}{2})$.



Beh 1) Polynome vom Grad 0 und 1 werden exakt integriert

=> MPR hat Quadraturordnung 2

Fehler: $\frac{(b-a)^3}{24} f''(\zeta)$ mit $\zeta \in (a, b)$

Beh 2) offene Quadraturformel: Enden $[a, b]$ sind keine Knoten.

MPR: $\int_a^b f(x) dx \approx \sum_{k=0}^{n-1} (x_{k+1} - x_k) f(\frac{x_k + x_{k+1}}{2})$

$t_k = \frac{x_k + x_{k+1}}{2} = x_k + \frac{h}{2}$ mit $h = x_{k+1} - x_k = \frac{b-a}{n}$

$\int_a^b f(x) dx \approx \frac{b-a}{n} \sum_{k=0}^{n-1} f(t_k)$

Implementierung.

gegeben $a, b;$
wähle $n;$ $h = \frac{b-a}{n}; t_k = a + \frac{h}{2}$
 $S = 0$

für $k=0, 1, 2, \dots, n-1:$
 $S = S + f(t_k)$
 $S = S \cdot h$
return S

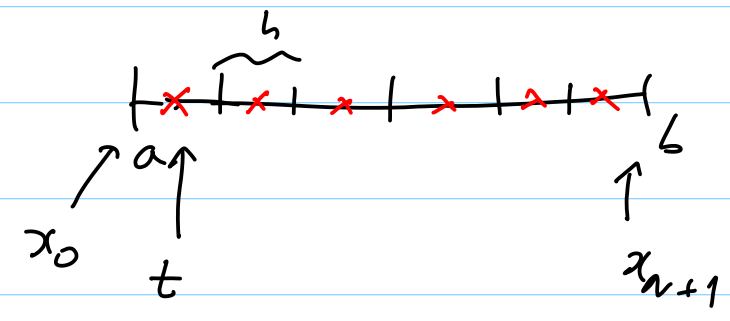
Gegeben: f, a, b

wähle: N

$$h = (b-a)/N$$

$$t = a + h/2$$

$S=0$
 für $k=0, 1, 2, \dots, N-1$:

$$\begin{cases} S = S + f(t) \\ t = t + h \end{cases}$$


$$S = h \cdot S$$

return S

$$\sum_{k=0}^{N-1} f(t_k)$$

$$x[:] = [x[0], x[1], \dots, x[N]]$$

$$x[:-1] = [x[0], x[1], \dots, x[N-1]]$$

Python: * numpy → array
 * scipy
 * matplotlib / ...

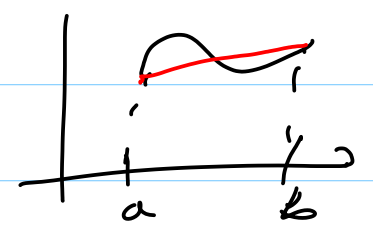
$$\begin{aligned} x[-2] &= [\dots, x[N-2]] \\ &\vdots \\ x[2:-2] &= \\ &= [x[2], \dots, x[N-2]] \end{aligned}$$

$$t = \text{linspace}(a + h/2, b, N-1)$$

oder:
 $x = \text{linspace}(a, b, N+1)$

$$t = h/2 + x[:-1]; \quad ft = f(t); \quad \text{linspace}(ft)$$

Bsp 2) Trapezregel.



$$Q^T(f, a, b) = \frac{b-a}{2} f(a) + \frac{b-a}{2} f(b)$$

$$= \sum_{j=1}^2 w_j f(x_j) \text{ mit } x_1=a, x_2=b, w_1=w_2=\frac{b-a}{2}$$

$$= \frac{h}{2} f(x_0) + \frac{h}{2} f(x_1) + \frac{h}{2} f(x_1) + \frac{h}{2} f(x_2) + \dots$$

$$+ \frac{h}{2} f(x_{n-1}) + \frac{h}{2} f(x_n)$$

Bem 1) Ordnung 2; Fehler $\frac{1}{12} (b-a)^3 f''(z)$ mit $z \in [a, b]$.

2) geschlossene Quadraturformel
Enden von $[a, b]$ sind Knoten.

TR:

$$\int_a^b f(x) dx = \sum_{k=1}^N \int_{t_{k-1}}^{t_k} f(x) dx \approx$$

$$= \sum_{k=1}^N \left(\frac{h}{2} f(x_{k-1}) + \frac{h}{2} f(x_k) \right) =$$

$$= \frac{h}{2} f(x_0) + h \sum_{k=1}^{N-1} f(x_k) + \frac{h}{2} f(x_N)$$

$x = \text{linspace}(a, b, N+1)$

$$h \sum_{k=1}^{N-1} f(x[k]) + \frac{h}{2} (f(x[0]) + f(x[N]))$$

Bsp 3) Simpson Regel

(Polynom von Grad ~~3~~ wird exakt integriert)

3
→ Ordnung 4

```
from numpy import linspace, array, sum, ...
from scipy import integrate
```

```
integrate.quad(f, a, b)
```

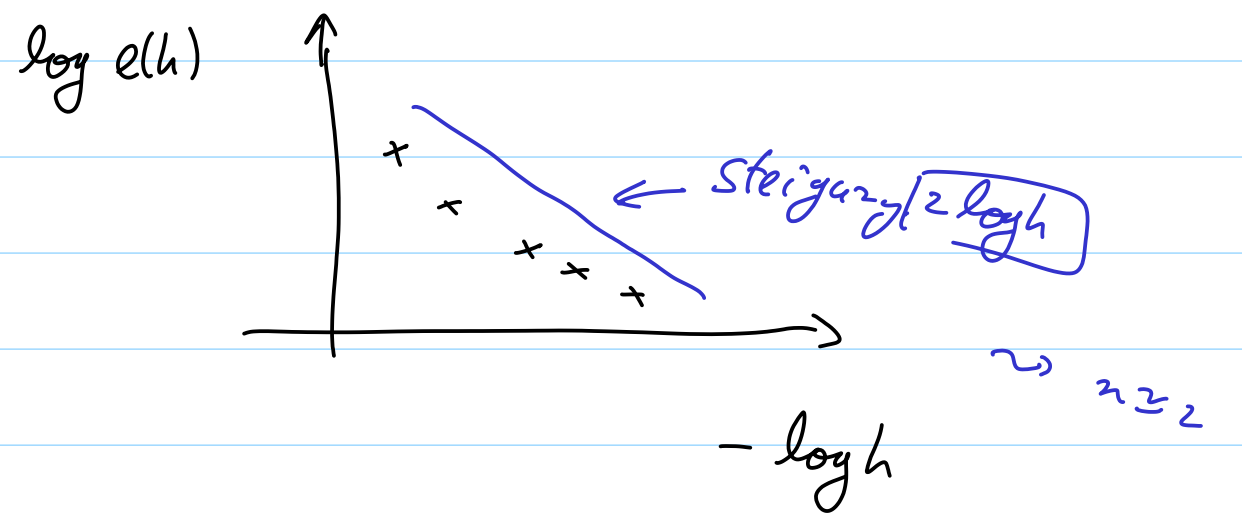
$$Q^s(f, a, b) = \underbrace{\frac{b-a}{6}}_{w_1} \underbrace{f(a)}_{x_1} + \underbrace{\frac{b-a}{6} \cdot 4}_{w_2} \underbrace{f\left(\frac{a+b}{2}\right)}_{x_2} + \underbrace{\frac{b-a}{6}}_{w_3} \underbrace{f(b)}_{x_3}$$

Glettheit ⇒ Fehler $c \cdot h^n = e(h)$

Fehler: $\frac{1}{90} \left(\frac{b-a}{2}\right)^5 f^{(4)}(\xi)$ mit $\xi \in (a, b)$

$$\log e(h) = n \log h + c$$

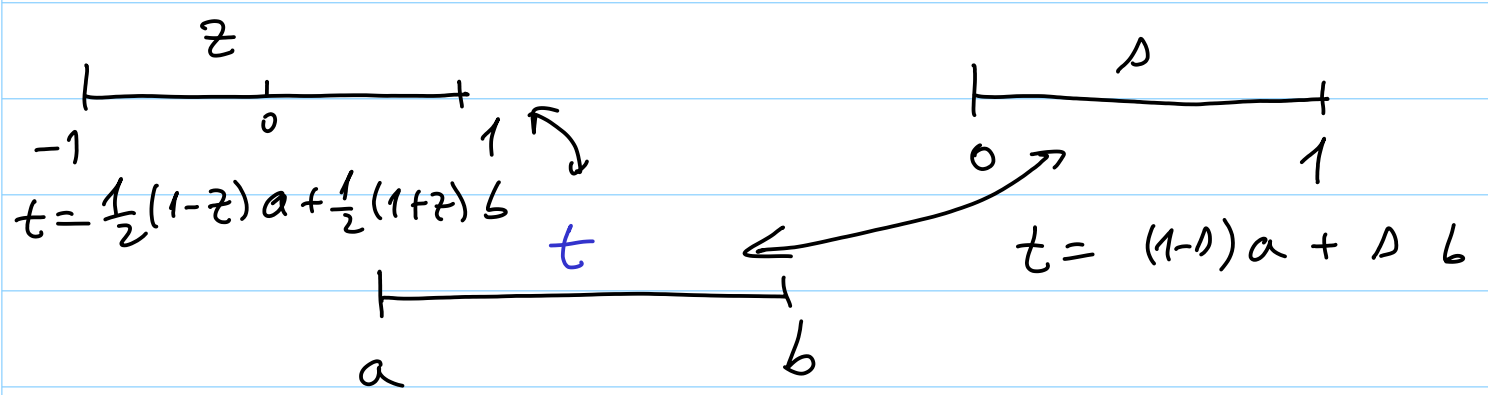
Aufgabe: MPR, TR, Simpson. implementieren.



Anwender:

- $\sin(x)$
- $\frac{1}{1+(5x)^2}$; \sqrt{x}
- Stefan-Boltzmann Konstante (Planck's Gesetz)

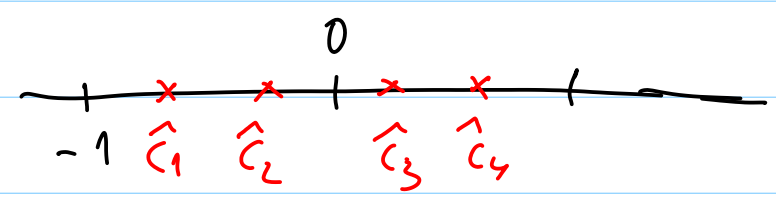
§1.2. Referenzintervalle und Symmetrische Quadraturformel



$$\int_a^b f(t) dt = \frac{b-a}{2} \int_{-1}^1 \hat{f}(z) dz \approx \frac{b-a}{2} \sum_{j=1}^n \hat{w}_j \hat{f}(\hat{c}_j)$$

mit $\hat{f}(z) = f(\frac{1}{2}(1-z)a + \frac{1}{2}(1+z)b)$ $[-1, 1]$

Definition QF auf $[-1, 1]$ heisst symmetrisch falls $\hat{c}_k = -\hat{c}_{n+1-k}$, $\hat{w}_k = \hat{w}_{n+1-k}$



Theorem Die Quadraturordnung einer symmetrischen
QF ist gerade.

Beweis

Annahme: QF exakt für Polynome vom Grad $2m-2$.

Nehme $f(x) = ax^{2m-1}$

$$\int_{-1}^1 f(x) dx = a \int_{-1}^1 x^{2m-1} dx = 0$$

Die QF ist exakt falls $Q(f, -1, 1) = 0$

$$Q(f, -1, 1) = a \sum_{k=1}^n \hat{w}_k \hat{c}_k^{2m-1} = a \sum_{k=1}^n \hat{w}_{n+1-k} (-\hat{c}_{n+1-k})^{2m-1} =$$

$$= -a \sum_{k=1}^n \hat{w}_{n+1-k} \hat{c}_{n+1-k}^{2m-1} =$$

$$= -a \sum_{j=1}^n \hat{w}_j \hat{c}_j^{2m-1} = -Q(f, -1, 1)$$

$\Rightarrow Q(f, -1, 1) = 0 = \int_{-1}^1 f(x) dx$ qed.

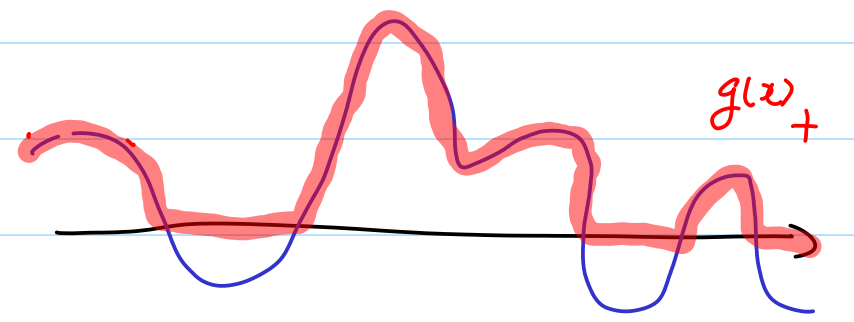
§1.3. Fehler für Quadratur auf [0,1]

Fehler $E(g) = \int_0^1 g(t) dt - \sum_{j=1}^n b_j g(c_j)$

\swarrow Knoten in $[0,1]$
 \searrow Gewichte

E linear in g. $E(Ag+Bf) = AE(g) + BE(f)$
 $A, B \in \mathbb{R}$ und g, f Funktionen

das positive Teil $g(x)_+ = \begin{cases} g(x), & \text{falls } g(x) > 0 \\ 0, & \text{sonst} \end{cases}$



Peano-Kern: $\alpha(z, t) = \frac{1}{(n-1)!} (t-z)_+^{n-1}$

für festes z: $(t-z)_+$

$\leftarrow (t-z)_+$ für festes t

als Funktion von der Variable t

$$K_n(z) = E(\alpha(z, \cdot)) = \int_0^1 \frac{1}{(n-1)!} (t-z)_+^{n-1} dt - \sum_{j=1}^n b_j \frac{(c_j-z)_+^{n-1}}{(n-1)!}$$

$$= \frac{(1-z)^n}{n!} - \sum_{j=1}^n b_j \frac{(c_j-z)_+^{n-1}}{(n-1)!}$$

Theorem

Sei Q eine QF mit Quadraturordnung n und sei g n-mal stetig differenzierbar.

Dann $E(g) = \int_0^1 K_n(z) g^{(n)}(z) dz$

Beweis Taylor um Punkt 0:

$$g(t) = g(0) + \dots + \frac{t^{n-1}}{(n-1)!} g^{(n-1)}(0) + \int_0^t \frac{(t-z)^{n-1}}{(n-1)!} g^{(n)}(z) dz$$

$q(t)$ Polynom vom Grad $n-1$

$$\int_0^1 \frac{(t-z)^{n-1}}{(n-1)!} g^{(n)}(z) dz$$

Linearität von $E = \int_0^1$

$$E(g) = \underbrace{E(q)}_0 + \int_0^1 \underbrace{E(\alpha(z, \cdot))}_{k_n(z)} g^{(n)}(z) dz$$

Bemerkung Wenden wir den Satz auf

$$g(t) = f(x_0 + th) : \int_{x_0}^{x_0+h} f(x) dx - h \sum_{j=1}^n b_j f(x_0 + c_j h) =$$

$$= h \int_0^1 g(t) dt - h \sum_{j=1}^n b_j g(c_j) =$$

$$= h \left(\int_0^1 g(t) dt - \sum_{j=1}^n b_j g(c_j) \right) =$$

$$= h E(g) = h \cdot h^n \int_0^1 k_n(z) f^{(n)}(x_0 + hz) dz$$

da:

$$E(g) = \int_0^1 k_n(z) g^{(n)}(z) dz$$

$$g(t) = f(x_0 + ht) \Rightarrow g'(t) = f'(x_0 + ht) h$$

$$g''(t) = f''(x_0 + ht) h^2$$

...

$$g^{(n)}(t) = f^{(n)}(x_0 + ht) h^n$$

Fehler auf $[x_0, x_0+h]$ ist

$$h \int_0^1 k_n(\tau) f^{(n)}(x_0+h\tau) d\tau$$

Zusammengesetzt:

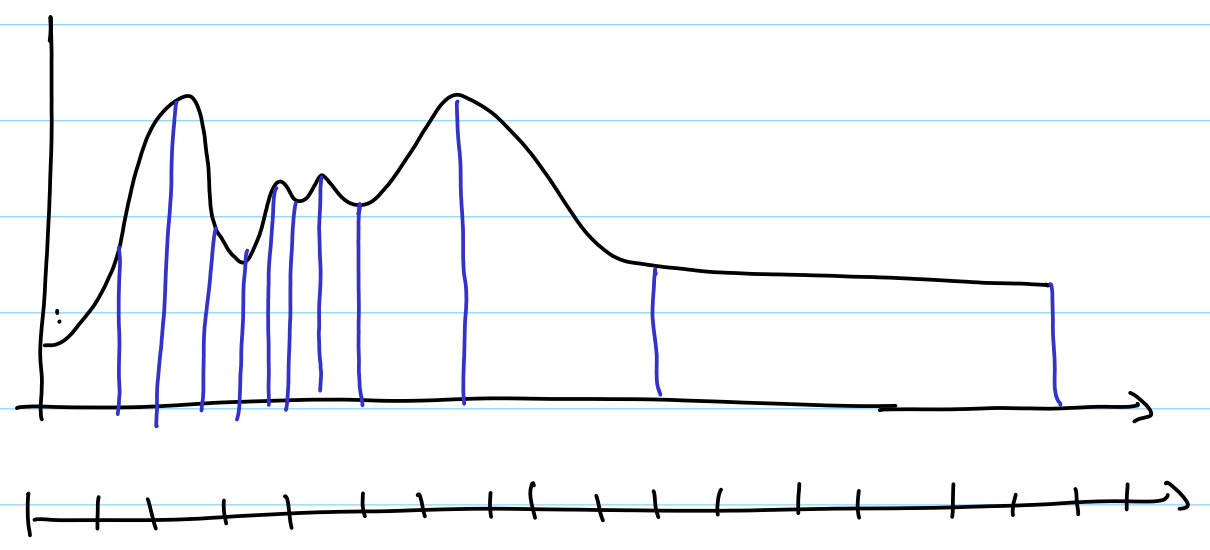
$$|E(f)| = \left| \int_a^b f(x) dx - \sum_{k=1}^N \sum_{j=1}^p b_j \cdot f(x_{k-1} + c_j \cdot h) \right| \leq$$

$$\leq c \cdot h^2 \max_{x \in [a,b]} |f^{(n)}(x)| \rightarrow 0 \text{ für } h \rightarrow 0$$

kommt aus dem Peano Kern
 $\int_0^1 |k_n(\tau)| d\tau = \text{konstante}$
 Ordnung der lokalen QF
 Glattheit

MPR, TR = $\frac{1}{12}$ Simpson $\frac{1}{2880}$

§1.4. Adaptive Quadratur



Optimiere: Anzahl Funktionsauswertungen

Lokalen Interval $[x_{k-1}, x_k]$ hat lokalen Fehler ϵ_k

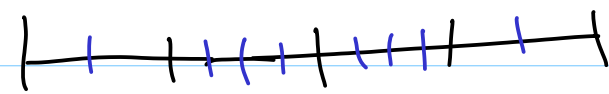
$$\epsilon_k = \left| \int_{x_{k-1}}^{x_k} f(x) dx - \sum_{j=1}^p b_j \cdot f(x_{k-1} + c_j \cdot h_k) \right|$$

$$h_k = x_k - x_{k-1} \text{ lokale Intervalllänge}$$

Wissen $\epsilon_k \sim h_k^2 \max_{x \in [x_{k-1}, x_k]} |f^{(n)}(x)|$

IDEA: wähle nur dort ein kleines h , wo $|f^{(n)}(x)|$ gross

Wie?

$$\overbrace{f^{(n)/2}}^{f^{(n)}} \quad \text{---} \quad f^{(n)}$$


Wie schätze ich während der Rechnung der lokale Fehler ϵ_k , ohne weitere Informationen über f ?

$$\epsilon_k = \left| \int_{x_{k-1}}^{x_k} f(x) dx - Q^T(f, x_{k-1}, x_k) \right| \approx$$

$$\approx \left| Q^S(f, x_{k-1}, x_k) - Q^T(f, x_{k-1}, x_k) \right| = \tilde{\epsilon}_k$$

Schätzung des lokalen Fehlers.

(möchte möglichst gleiche lokale Fehler haben)? Verfeinere die Intervalle, wo $\tilde{\epsilon}_k$ gross ist.

$$\int_{x_{k-1}}^{x_k} f(x) dx = Q^T(f, x_{k-1}, x_k) + ch^3 \max_{z \in [x_{k-1}, x_k]} |f''(z)|$$

Verwendet wird allerdings das Wert, das Q^S gibt

$$\int_{x_{k-1}}^{x_k} f(x) dx = Q^S(f, x_{k-1}, x_k) + ch^5 \max_{z \in [x_{k-1}, x_k]} |f^{(4)}(z)|$$

```

def adaptquad(f,M,rtol,abstol):
    """
    adaptive quadrature using trapezoid and simpson rules
    Arguments:
    f      handle to function f
    M      initial mesh
    rtol   relative tolerance for termination
    abstol absolute tolerance for termination, necessary in case the exact
    integral value = 0, which renders a relative tolerance meaningless.
    """
    h = diff(M) # compute lengths of mesh intervals
    mp = 0.5*( M[:-1]+M[1:] ) # compute midpoint positions
    fx = f(M); fm = f(mp) # evaluate function at positions and
    # midpoints
    trp_loc = h*( fx[:-1]+2*fm+fx[1:] )/4 # local trapezoid rule
    simp_loc = h*( fx[:-1]+4*fm+fx[1:] )/6 # local simpson rule
    I = sum(simp_loc) # use simpson rule value as
    # intermediate approximation for integral value
    est_loc = abs(simp_loc - trp_loc) # difference of values obtained from
    # local composite trapezoidal rule and local simpson rule is used as an estimate
    # for the local quadrature error.
    err_tot = sum(est_loc) # estimate for global error (sum
    # moduli of local error contributions)
    # if estimated total error not below relative or absolute threshold, refine
    # mesh
    if err_tot > rtol*abs(I) and err_tot > abstol:
        refcells = nonzero( est_loc > 0.9*sum(est_loc)/size(est_loc) )[0]
        I = adaptquad(f,sort(append(M,mp[refcells])),rtol,abstol) # add
        # midpoints of intervalls with large error contributions, recurse.
    return I

```



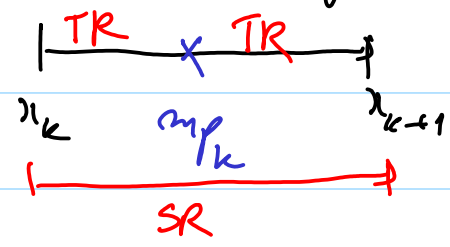
$h_k = x_{k+1} - x_k \Rightarrow h = [h_0, h_1, h_2, h_3]$ array

$\frac{1}{2}(x_k + x_{k+1}) \Rightarrow [mp_0, mp_1, mp_2, mp_3]$ array.

fx = array der Längen 5

fm = array de Länge 4

auf $[x_k, x_{k+1}]$



Mittleren Fehler

$$Loc > \frac{g}{10} \cdot \frac{tot}{\# \text{Intervalle}}$$

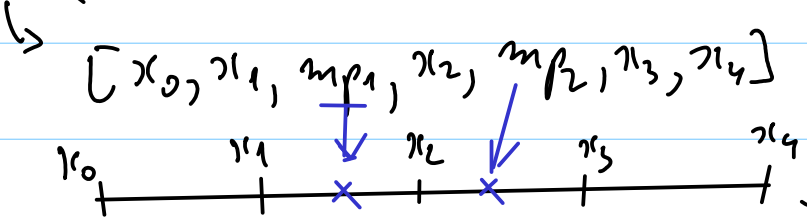
array. Zahl $\Rightarrow [False, True, True, False]$

$[0, 1, 1, 0]$

nonzero \rightarrow welche indices sind $\neq 0 \Rightarrow 1, 2$

\rightarrow lese help für nonzero um [0] zu verstehen!

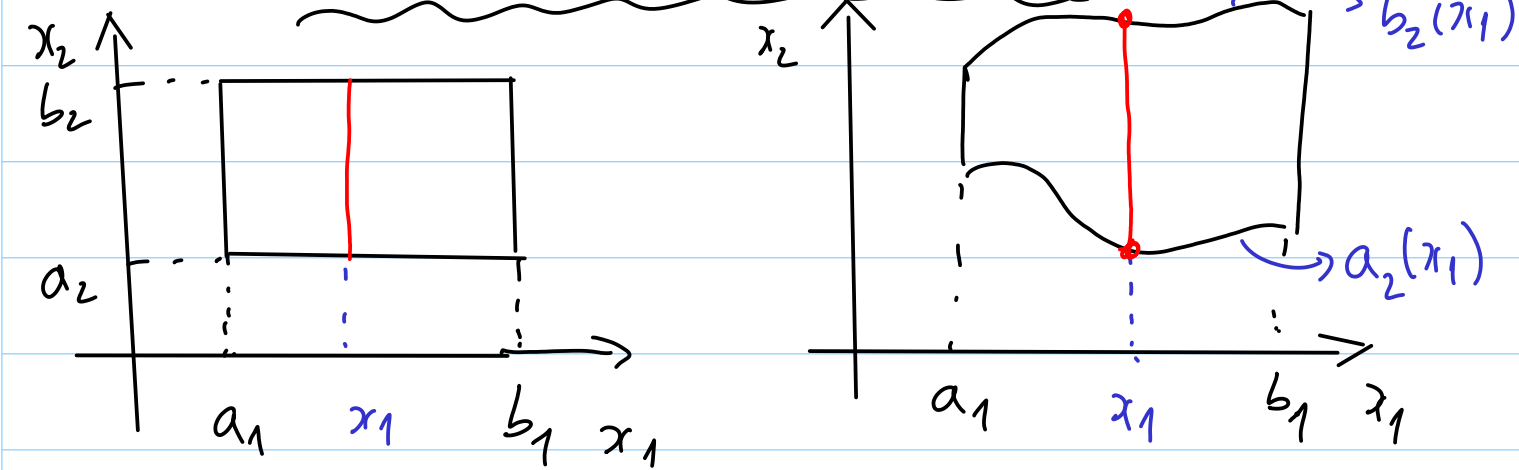
Sort $([x_0, x_1, x_2, x_3, x_4, mp_1, mp_2])$



neues Gitter

\rightarrow Rekursion!

§1.5. Quadratur in \mathbb{R}^d $d=2,3$



$$= \frac{b_1 - a_1}{N_1} \sum_{k_1=1}^{N_1} \sum_{j_1=1}^{D_1} F(x_1^{k_1-1} + h_1 c_{j_1}^1) \cdot w_{j_1}^1$$

\uparrow
 Knoten in Ox_1 -Richtung
 auf dem Unterintervall $[x_1^{k_1-1}, x_1^{k_1}]$

$$I = \int_{\Omega} f(x_2, x_1) dx_2 dx_1 = \int_{a_1}^{b_1} \int_{a_2(x_1)}^{b_2(x_1)} f(x_2, x_1) dx_2 dx_1 = \int_{a_1}^{b_1} F(x_1) dx_1$$

$$= \frac{b_1 - a_1}{N_1} \sum_{k_1=1}^{N_1} \sum_{j_1=1}^{D_1} \int_{a_2(x_1^{k_1-1} + h_1 c_{j_1}^1)}^{b_2(x_1^{k_1-1} + h_1 c_{j_1}^1)} f(x_2, x_1^{k_1-1} + h_1 c_{j_1}^1) dx_2 \cdot w_{j_1}^1$$

$\approx \int F$

$$= \int_{a_1}^{b_1} F(x_1) dx_1 = \sum_{k_1=1}^{N_1} \int_{x_1^{k_1-1}}^{x_1^{k_1}} F(x_1) dx_1 \approx$$

$$= \frac{b_1 - a_1}{N_1} \sum_{k_1=1}^{N_1} \sum_{j_1=1}^{D_1} \frac{b_2 - a_2}{N_2} \sum_{k_2=1}^{N_2} \sum_{j_2=1}^{D_2} f(x_2^{k_2-1} + h_2 c_{j_2}^2, x_1^{k_1-1} + h_1 c_{j_1}^1) \cdot w_{j_2}^2 \cdot w_{j_1}^1$$

$$= \frac{(b_1 - a_1)(b_2 - a_2)}{N_1 N_2} \sum_{k_1=1}^{N_1} \sum_{\substack{j_1=1 \\ j_2=1}}^{N_2} f\left(x_2^{k_2-1} + h_2 c_{j_2}^2, x_1^{k_1-1} + h_1 c_{j_1}^1\right) w_{j_2}^2 w_{j_1}^1$$

in d -Dimensionen $N_1 \cdot N_2 \cdot \dots \cdot N_d$ 
Auswertungen von f .

$$h_1 h_2 \dots h_d \sum_{k_1} \sum_{k_2} \dots \sum_{k_d} f(\dots) w_{j_d}^d w_{j_{d-1}}^{d-1} \dots w_{j_1}^1$$

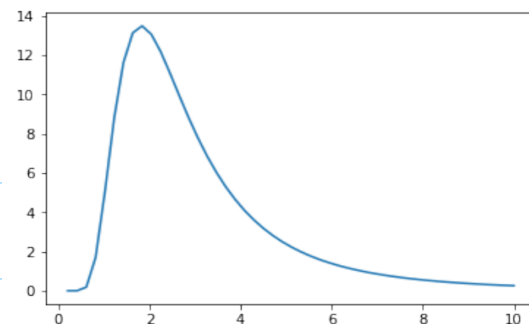
Für grosse d :

- * f glatt \Rightarrow dünne Gitter / sparse grids
- * Monte Carlo; quasi-Monte Carlo
- * hochoszillatorische Funktionen.

```
In [1]: from numpy import linspace, exp, inf
        from pylab import plot, show
```

```
In [2]: # Plank's law for blackbody radiation
        c1 = 3.7413*10**8 #W \mu m^4/m^2
        c2 = 1.4388*10**4 # \mu m K
        T = 1000.# T = temperature in K
        # lam = wavelength in um
        # monochromatic emissive power of a blackbody:
        def Eblam(lam, T=1000.):
            return c1/(lam**5*( exp(c2/(lam*T)) -1.))
```

```
In [3]: print('----- plot -----')
        y = linspace(0,10)
        plot(y, Eblam(y,1600.)/10**4)
        show()
```



```
In [4]: print('----- integrate: quad -----')
        from scipy import integrate
        # total energy lost per unit area
        Q, abserr, info = integrate.quad(Eblam,0,inf, full_output=True)
        neval = info['neval']
        # Q = sigma * T^4; sigma = Stefan-Boltzmann constant
        print(Q/T**4, abserr, 'neval=', neval)
```

```
----- integrate: quad -----
5.669294910232968e-08 9.879197389039973e-07 neval= 105
```

```
In [8]: def ga(x):
        return exp(-x**2)

        val, err, info = integrate.quad(ga,-1,1, full_output=True)
        print(val)
        print(err)
        print(info['neval'])
```

```
1.493648265624854
1.6582826951881447e-14
21
```

```
In [9]: def gaabc(x,a,b,c):
        return a*exp(-((x-b)/c)**2)
```

```
val, err, info = integrate.quad(gaabc,-1,1,args=(2,0.5,4), full_output=True)
print(val)
print(err)
print(info['neval'])
```

```
val, err, info = integrate.quad(gaabc,-inf,inf, args=(2,0.5,4), full_output=True)
print(val)
print(err)
print(info['neval'])
```

```
3.8599302795534305
4.2853834698080357e-14
21
14.17963080724413
2.5011577807838655e-08
330
```

```

from scipy.special import jv
f0 = lambda x: jv(0,x)
f1 = lambda x: jv(1,x)
val, err, info = integrate.quad(f0,0,5, full_output=True)
print(val)
print(err)
print(info['neval'])
val, err, info = integrate.quad(f1,0,5, full_output=True)
print(val)
print(err)
print(info['neval'])

```

```

0.7153119177847678
2.47260738289741e-14
21
1.177596771314338
1.8083362065765924e-14
21

```

```

In [11]: from numpy import sqrt
         f = lambda x: 1/sqrt(abs(x))
         integrate.quad(f,-1,1)

```

```
Out[11]: (inf, inf)
```

```
In [12]: integrate.quad(f,-1,1, points=[0]) # can deal with singularity if you tell it
```

```
Out[12]: (3.9999999999999813, 5.684341886080802e-14)
```

```

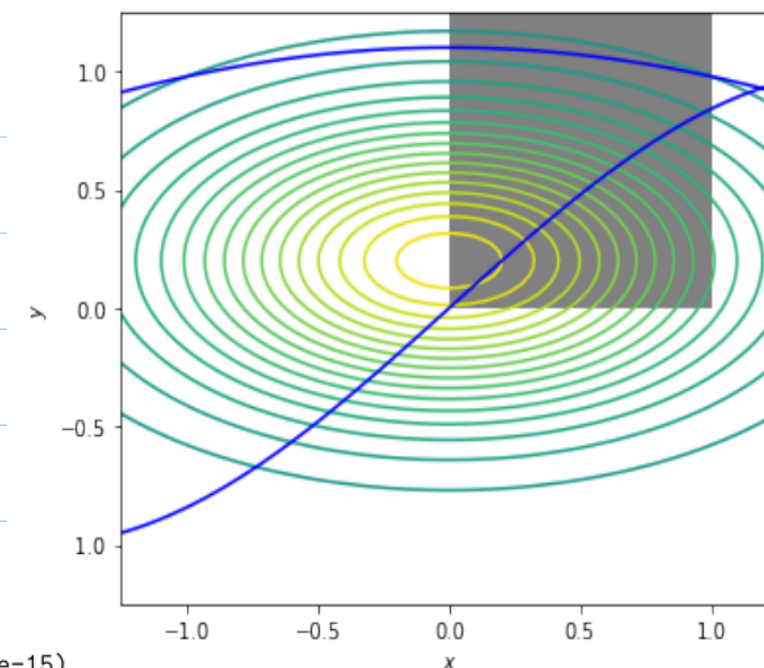
In [13]: from pylab import subplots
         import matplotlib.patches as patches
         from numpy import *
         def f(y,x):
             'y must be the first argument, and x the second.'
             return exp(-x**2 - 3*(y-0.2)**2)

         fig, ax = subplots(figsize=(6,5))
         x = y = linspace(-1.25,1.25,75)
         X, Y = meshgrid(x,y)
         c = ax.contour(X,Y,f(Y,X), 16, vmin=-1, vmax=1)
         bound = patches.Rectangle((0,0),1,1.25, facecolor='grey')

         ax.add_patch(bound)
         ax.set_xlabel('$x$')
         ax.set_ylabel('$y$')

         ay = lambda x: sin(x)
         by = lambda x: 0.1+ cos(0.5*x)
         plot(x,ay(x), '-b')
         plot(x,by(x), '-b')
         show()

```



```
In [14]: integrate.dblquad(f,0,1,ay,by)
```

```
Out[14]: (0.24918585141988464, 7.637755883693233e-15)
```

§1.6. Quadratur mit erhöhter Ordnung.

Δ Knoten auf Referenzintervall
 Δ Gewichte

so bestimmt,
dass Polynome höchstes Grades exakt mit dieser QF integriert werden.

Wie hoch kann so eine Quadraturordnung sein?

2 Δ Unbekannte (Knoten, Gewichte);

2 Δ Gleichungen:

$$\left\{ \begin{aligned} \int_0^1 1 dt &= Q_{\Delta}(1, 0, 1) \\ \int_0^1 t dt &= Q_{\Delta}(t, 0, 1) \\ &\dots \left(\frac{1}{3} = b_1 c_1^2 + b_2 c_2^2 + \dots \right) \\ \int_0^1 t^{2\Delta-1} dt &= Q_{\Delta}(t^{2\Delta-1}, 0, 1) \end{aligned} \right.$$



Da QF exakt

Möchte Ordnung $p = \Delta + m$

Jedes Polynom vom Grad $\leq p-1 = \Delta + m - 1$ soll mit QF exakt integriert werden.

Sei f Polynom vom Grad $\leq p-1 = \Delta + m - 1$

IDEA: teile das Polynom f durch

$$M(x) = (x - c_1)(x - c_2) \dots (x - c_{\Delta})$$

$$\text{Grad}(M) = \Delta$$

$$f(x) = M(x)g(x) + r(x) \text{ mit } \text{Grad}(r) \leq \Delta - 1$$

$$\int_0^1 f(t) dt = \int_0^1 M(t)g(t) dt + \int_0^1 r(t) dt$$

da QF exakt

\rightarrow ||

$$\sum_{j=1}^{\Delta} b_j f(c_j) = \underbrace{\sum_{j=1}^{\Delta} b_j M(c_j) g(c_j)}_0 + \sum_{j=1}^{\Delta} b_j r(c_j) \Rightarrow$$

$$\Rightarrow \int_0^1 M(t)g(t) dt = 0 \quad \text{für alle Polynome } g \text{ mit } \text{Grad}(g) \leq m-1.$$

$f = \text{Polynom vom Grad} \leq n+m-1$

$$\langle M, g \rangle = \int_0^1 M(t)g(t) dt \quad \text{Skalarprodukt im Raum der Polynome}$$

Theorem

Ordnung der QF ist $n+m$ \iff
 $\langle M, g \rangle = 0$ für alle Polynome vom Grad $\leq m-1$.

$$P_m = \text{span} \{1, t, t^2, \dots, t^{m-1}\} : M \perp P_m$$

Theorem Ordnung einer QF ist höchstens $2n$.

Beweis Annahme: $p \geq 2n+1 \Rightarrow$

$$\left. \int_0^1 M(t)g(t) dt = 0 \text{ für alle Polynome vom Grad} \leq n+1 \right\} \Rightarrow$$

nehme $g = M$

$$\Rightarrow \int_0^1 M(t)M(t) dt = 0 \iff \int_0^1 M(t)^2 dt = 0 \Rightarrow$$

$$M(t) \equiv 0$$

Widerspruch \Rightarrow Wahr: $p \leq 2n$.

Orthogonale Polynome

$w:]a, b[\rightarrow \mathbb{R}$ Gewichtfunktion
 stetig, $w(x) > 0$ für alle $x \in]a, b[$

$$\int_a^b |x|^k w(x) dx < \infty \quad \text{für } k=0,1,2,\dots$$

Betrachte den linearen Raum:

$$V = \left\{ f:]a, b[\rightarrow \mathbb{R}, \text{stetig}, \int_a^b |f(x)|^2 w(x) dx < \infty \right\}$$

Bem Alle Polynome liegen in V
 V : Skalarprodukt
 $\langle f, g \rangle = \int_a^b f(x)g(x)w(x)dx$

Theorem [Gram-Schmidt in LA]
 Es existiert eine eindeutige Folge von Polynomen
 p_0, p_1, \dots mit
 $p_k(x) = x^k + \text{Polynom von Grad} \leq k-1$
 so dass
 $p_k \perp \text{span} \{p_0, p_1, \dots, p_{k-1}\}$.

Diese Polynome baut man so: (3-Term Rekursion)

$$p_{k+1}(x) = (x - \beta_{k+1}) p_k(x) - \gamma_{k+1}^2 p_{k-1}(x)$$

mit $p_0(x) = 1, p_{-1}(x) = 0$ und

$$\beta_{k+1} = \frac{\langle x p_k, p_k \rangle}{\langle p_k, p_k \rangle}, \quad \gamma_{k+1}^2 = \frac{\langle p_k, p_k \rangle}{\langle p_{k-1}, p_{k-1} \rangle}$$

Bem: oft werden sie aber zu $p_k(1) = 1$ "normiert". Darum $p_2(x) = \frac{3}{2}(x^2 - \frac{1}{3})$

Bem c_1, c_2, \dots, c_n die Nullstellen von (M) von P_n .
 $M = P_n$

Bsp1) $w(x) \equiv 1, a=0, b=1 = \int_0^1 f(x)g(x)dx$

Gram-Schmidt \Rightarrow orthogonale Polynome
 Legendre Polynome
 QF: Gauss-Quadratur

z) $]a, b[=]-\infty, \infty[, w(x) = e^{-x^2} \Rightarrow$ Hermite Polynome.
 QF \Rightarrow Hermite-Quadratur.

Bsp Gauss-Quadratur

$[0, 1]$ Notiere Knoten $\xi_j, j=1, \dots, n$
 $[-1, 1]$ Notiere Knoten $c_j, j=1, \dots, n$.

Beweis des Theorems [Gram-Schmidt-Orthogonalisierung]

Mathematische Induktion:

Annahme: p_0, p_1, \dots, p_k bereits bekannt

Ziel: konstruiere: p_{k+1}

$$\text{Nehme } p_{k+1} = x p_k + \sum_{j=0}^k \alpha_j p_j$$

und berechne α_j , so dass $p_{k+1} \perp p_j$ für $j=0, \dots, k$.

$$p_{k+1} \perp p_k \Leftrightarrow 0 = \langle p_{k+1}, p_k \rangle = \langle x p_k, p_k \rangle + \sum_{j=0}^{k-1} \alpha_j \langle p_j, p_k \rangle + \alpha_k \langle p_k, p_k \rangle$$

$\downarrow \leftarrow$ Induktionsannahme
 0

$$\Leftrightarrow \alpha_k = - \frac{\langle x p_k, p_k \rangle}{\langle p_k, p_k \rangle} = -\beta_{k+1}$$

$$p_{k+1} \perp p_{k-1} \Leftrightarrow 0 = \langle x p_k, p_{k-1} \rangle + \alpha_{k-1} \langle p_{k-1}, p_{k-1} \rangle + 0$$

$$\text{aber } \langle x p_k, p_{k-1} \rangle = \int_{-1}^1 x p_k(x) p_{k-1}(x) dx = \langle p_k, x p_{k-1} \rangle$$

Schreibe $x p_{k-1} = p_k + q$ mit $\text{Grad } q \leq k-1 \Rightarrow$

$$\Rightarrow \langle x p_{k-1}, p_{k-1} \rangle = \langle p_k, p_{k-1} \rangle + \langle p_k, q \rangle$$

\parallel \leftarrow

$$\text{Somit } p_{k+1} \perp p_{k-1} \Leftrightarrow \alpha_{k-1} = - \frac{\langle p_k, p_{k-1} \rangle}{\langle p_{k-1}, p_{k-1} \rangle} = -\gamma_{k+1}^2$$

Für $j \leq k-2$:

$$p_{k+1} \perp p_j \Leftrightarrow 0 = \langle p_{k+1}, p_j \rangle = \langle x p_k, p_j \rangle + \alpha_j \langle p_j, p_j \rangle = \langle p_k, x p_j \rangle + \alpha_j \langle p_j, p_j \rangle \Rightarrow$$

$\underbrace{\hspace{10em}}_{\text{Grad } j+1 \leq k \Rightarrow \perp}$
 \parallel
 0

$$\Rightarrow \alpha_j = 0.$$

1) $n=1$ auf $[0,1] \Rightarrow p_1(x) = x - \frac{1}{2} \Rightarrow \gamma_1 = \frac{1}{2}, b_1 = 1$
 auf $[-1,1] \Rightarrow p_1(x) = x \Rightarrow c_1 = 0, b_1 = 1$

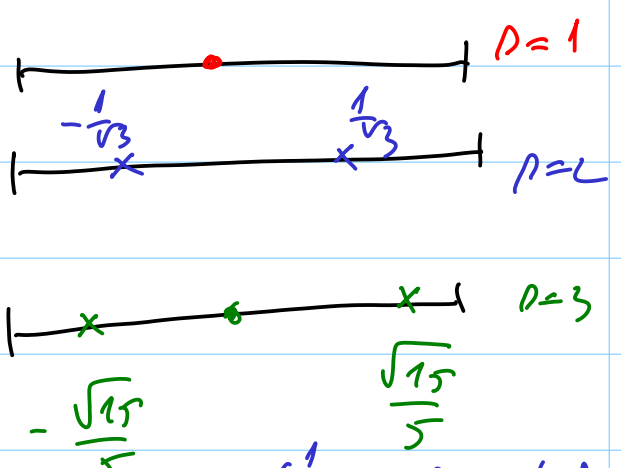
↳ Gauss-Quadratur mit $n=1$ Knoten \equiv MPR.
 Ordnung $2n = 2 \cdot 1 = 2$.

2) $n=2$ auf $[-1,1]$: $p_2(x) = x^2 - \frac{1}{3} \Rightarrow \frac{3}{2} \left(x^2 - \frac{1}{3} \right)$
 $\gamma_{1,2} = \pm \frac{1}{\sqrt{3}}, c_1 = \frac{1}{2} - \frac{\sqrt{2}}{6}, c_2 = \frac{1}{2} + \frac{\sqrt{2}}{6}$.

Ordnung $2n = 2 \cdot 2 = 4$ zu $p_3(1) = 1$ "normiert"

3) $n=3$ auf $[-1,1]$: $p_3(x) = \frac{5}{2} x^3 - \frac{3}{2} x$

$\gamma_2 = 0, \gamma_{1,3} = \pm \frac{\sqrt{15}}{5}$
 $b_2 = \frac{8}{18}, b_1 = b_3 = \frac{5}{18}$



Ordnung $2n = 2 \cdot 3 = 6$

Bez Gewichte der Gauss-QF sind positiv

Def Lagrange Polynome zu Stützstellen x_0, x_1, \dots, x_n

für $i = 0, 1, 2, \dots, n$

$$l_i(x) = \prod_{\substack{j=0 \\ j \neq i}}^n \frac{x - x_j}{x_i - x_j}$$

Bsp x_0, x_1, x_2 :

$$l_0(x) = \frac{x - x_1}{x_0 - x_1} \cdot \frac{x - x_2}{x_0 - x_2}$$

$$l_1(x) = \frac{x - x_0}{x_1 - x_0} \cdot \frac{x - x_2}{x_1 - x_2}$$

$$l_2(x) = \frac{x - x_0}{x_2 - x_0} \cdot \frac{x - x_1}{x_2 - x_1}$$

Ben: Gewichte wurden hier "Hand" berechnet via $b_i = \int_0^1 l_i(t)^2 dt$ (l_i = Lagrange Polynom)

Ben 1) $l_i(x_j) = 0$ für alle $i \neq j$

2) $l_i(x_i) = 1$

3) $\text{Grad } l_i = n$

4) $\sum_{i=0}^n l_i(x) = 1$ für alle $x \in \mathbb{R}$.

5) $\sum_{i=0}^n l_i^{(m)}(x) = 0$ für $m \geq 1$.

6) l_0, l_1, \dots, l_n bilden eine Basis im Raum der Polynome vom Grad $\leq n$

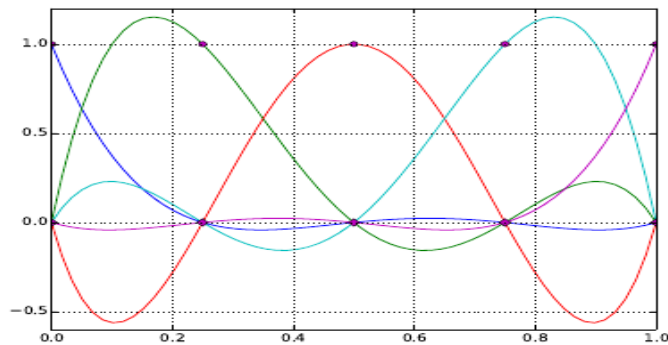


Abb. 8.3.2. Die 5 Lagrange Polynome zu Knoten $0, \frac{1}{4}, \frac{1}{2}, \frac{3}{4}, 1$.

Seite 289 im Skript

Theorem Die Gewichte der Gauss QF sind positiv.

Beweis Verwende die Lagrange-Polynome zu den Stützstellen. $c_1, c_2, \dots, c_p =$ Knoten der QF

$\text{Grad } l_i = p-1$ für $i=1, 2, \dots, p$ } exakt

$$\int_0^1 f(t) dt \approx \sum_{i=1}^p b_i f(c_i)$$

\Rightarrow

$f(t) = l_i(t)^2$ Polynom vom Grad $2(p-1)$

$$0 < \int_0^1 l_i(t)^2 dt = \sum_{j=1}^p b_j l_i(c_j)^2 = b_i \cdot 1$$

\parallel
0 für $j \neq i$
1 für $j = i$

Im Prinzip $b_i = \int_0^1 l_i(t)^2 dt$ könnte man verwenden um Gewichte zu rechnen


```

1 from numpy import arange, diag, sqrt
2 from numpy.linalg import eigh
3
4 def gaussquad(n):
5     r"""
6         Compute nodes and weights for Gauss-Legendre quadrature.
7
8         n: Number of node-weight pairs
9         """
10    i = arange(n) #i = array([0,1,...,n-1])
11    b = (i+1) / sqrt(4*(i+1)**2 - 1)
12    # now we generate the matrix; it is symmetric
13    J = diag(b, -1) + diag(b, 1)
14    # in order to find the eigenvalues we can use eigh since J is symmetric
15    x, ev = eigh(J)
16    # finally, we apply the formula for the weights
17    w = 2 * ev[0,:]**2
18    return x, w

```

auf $[-1,1]$

```

1 from sympy import *
2
3 x = Symbol("x")
4 n = Symbol("n", positive=True)
5 # First we generate two streams of symbols corresponding to knots and weights
6 xigen = numbered_symbols(prefix="xi", start=1)
7 omegagen = numbered_symbols(prefix="omega", start=1)
8 # Now we specify how many parameters we need. In this case, two knots and two
9 weights. Therefore we set N = 2
10 N = 2 # Choose <= 3
11 xis = [ next(xigen) for i in range(N) ]
12 wis = [ next(omegagen) for i in range(N) ]
13 # Using sympy one can perform simple symbolic integrations, which deliver the
14 exact result.
15 # In order to do this we use the function "integrate"
16 # For every n in the interval [0, 2*N-1] we set the condition that the result of
17 the numerical integration
18 #be equal to the analytical value
19 eqns = [ integrate(x**n, (x, -1, 1)) - (sum([wi*xi**n for xi,wi in
20 zip(xis,wis)])) for n in range(2*N)]
21 pprint(eqns)
22 # Therefore we get a system of equations which we need to solve:
23 #we set eqns = 0 and find the corresponding knots and weights
24 sols = solve(eqns, numerical=True)
25 pprint(sols)

```

Berechnung der Gewichte für Gauss-Quadratur auf $[-1, 1]$

$$\langle P_i, P_k \rangle = \int_{-1}^1 P_i(x) P_k(x) dx = \sum_{j=1}^n P_i(t_j) P_k(t_j) w_j$$

Grad $\leq 2n-2$

\parallel
 $0, i \neq k$
 $1, i = k$

Konstruktion: Gram-Schmidt

QF exakt bis Grad $2n-1$.

$$\underline{f}(x) = \begin{bmatrix} P_0(x) \\ P_1(x) \\ \vdots \\ P_{n-1}(x) \end{bmatrix} \quad \text{in } t_1, \dots, t_n \text{ ausgewertet}$$

Notiere

$$\underline{M} = \begin{bmatrix} \underline{f}(t_1) & \underline{f}(t_2) & \dots & \underline{f}(t_n) \end{bmatrix} \implies$$

$$\underline{I} = \underline{M} \text{diag}(w_1, \dots, w_n) \underline{M}^T \implies$$

$\implies \underline{M}$ invertierbar

$$\underline{M}^{-1} \mid \underline{M}^T$$

$$\text{diag}(w_1, \dots, w_n) = (\underline{M}^T \underline{M})^{-1} \implies$$

$$\text{diag}(w_1, \dots, w_n)^{-1} = \underline{M}^T \underline{M} \implies$$

$$\frac{1}{w_j} = \underline{f}(t_j)^T \underline{f}(t_j) = \|\underline{f}(t_j)\|^2 = \sum_{k=0}^{n-1} P_k(t_j)^2$$

oder $w_j = \frac{1}{\|\underline{f}(t_j)\|^2}$

ABER Die Eigenvektoren sind nicht eindeutig. ausserdem liefert eig normierte EV.

Sei \underline{v}^j ein Eigenvektor \implies es gibt c Konstante so dass

$$\underline{v}^j = c \underline{f}(t_j) = c \begin{bmatrix} p_0(t_j) \\ \vdots \\ p_{n-1}(t_j) \end{bmatrix}$$

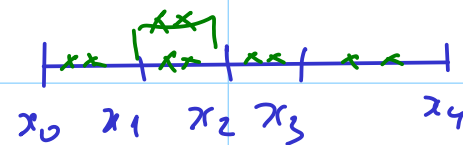
$$1 = \langle p_0, p_0 \rangle = \int_{-1}^1 p_0(t_1) p_0(t_1) dx \Rightarrow p_0(t_1) = \frac{1}{\sqrt{2}}$$

$$(\underline{v}^j)_1 = c \cdot p_0(t_1) = c \cdot \frac{1}{\sqrt{2}} \Rightarrow c = \sqrt{2} (\underline{v}^j)_1$$

$$\underline{f}(t_j) = \frac{1}{c} \underline{v}^j = \frac{1}{\sqrt{2} (\underline{v}^j)_1} \underline{v}^j \Rightarrow$$

$$\omega_j^{-1} = \|\underline{f}(t_j)\|^2 = \frac{1}{2} \frac{\|\underline{v}^j\|^2}{(\underline{v}^j)_1^2} \Rightarrow$$

$$\omega_j = \frac{2 (\underline{v}^j)_1^2}{\|\underline{v}^j\|^2}; \text{ eig liefert normiertes } v \Rightarrow \Rightarrow \omega_j = 2 (\underline{v}^j)_1^2$$



Ben 1) Gauss-Knoten sind nicht verschachtelt
 \Rightarrow Teuer bei Adaptivität,...

2) Endpunkte sind keine Knoten \Rightarrow
 Gauss-QF ist offen.

3) Manchmal braucht man ein oder beide
 Endpunkte des Integrationsintervalls als
 Knoten \Rightarrow

1 Knoten fest \Rightarrow max Ordnung $2n-1$ (Radau)
 2 Knoten fest \Rightarrow max Ordnung $2n-2$ (Lobatto)

4) Fehler bei Gauss-Quadratur:

$$\int_a^b f(x) dx - \underbrace{\sum_{j=1}^n b_j f(c_j)}_{G_n(f, a, b)} = \frac{f^{(2n)}(\xi)}{(2n)!} \text{ mit } a < \xi < b$$

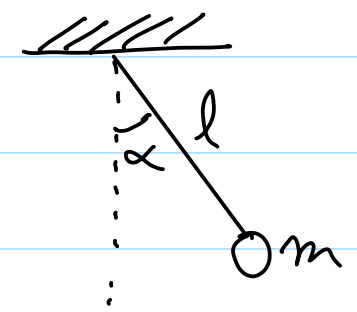
Kombiniert:

$$\left| \int_a^b f(x) dx - \sum_{k=1}^n G_n(f, x_{k-1}, x_k) \right| \leq c \cdot h^{(2n)} \max_{\xi \in [a, b]} |f^{(2n)}(\xi)|$$

§2 Einfache Verfahren für ODEs 1. Ordnung

ODE = ordinary differential equations
gewöhnliche Differentialgleichungen

§2.1. Linearisierung: global und lokal



$$ml \ddot{\alpha}(t) = -mg \sin \alpha(t)$$

Physik: $\sin \alpha(t) \approx \alpha(t)$
↳ gut nur für $\alpha(t)$ klein.

$$(o) \begin{cases} \ddot{\alpha}(t) = -\frac{g}{l} \sin \alpha(t) & (*) \text{ ODE 2. Ordnung.} \\ \alpha(0) = \alpha_0 & \text{da zweite Ableitung} \\ \dot{\alpha}(0) = \dot{\alpha}_0 & \text{der unbekanntem} \\ & \text{Funktion } \alpha \end{cases}$$

$$\dot{\alpha}(t) = \frac{d}{dt} \alpha(t)$$
$$\ddot{\alpha}(t) = \frac{d^2}{dt^2} \alpha(t)$$

(*) autonom, da t nicht explizit erscheint

"global": linearisiere die rechte Seite:

$$\sin \alpha = \alpha - \frac{1}{3!} \alpha^3 + \dots = \alpha + O(\alpha^3)$$

↳ klein für α klein.

Neues Model:

$$(1) \begin{cases} \ddot{\beta}(t) = -\frac{g}{l} \beta(t) & \text{hat exakte Lösung.} \\ \beta(0) = \alpha_0 & \omega^2 = \frac{g}{l} \\ \dot{\beta}(0) = \dot{\alpha}_0 \end{cases}$$

$$\beta(t) = \frac{\dot{\alpha}_0}{\omega} \sin(\omega t) + \alpha_0 \cos(\omega t)$$

Trick: Reduziere die Ordnung der ODE.

Notiere $p(t) = \dot{\alpha}(t) \Rightarrow$
 $\dot{p}(t) = \ddot{\alpha}(t) = -mg \sin \alpha(t)$

(o) \Leftrightarrow System ODEs 1. Ordnung:

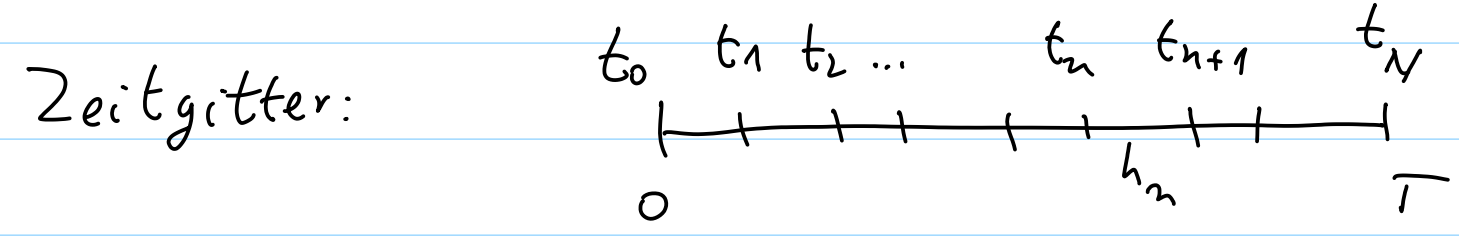
$$\begin{cases} \dot{\alpha} = p \\ \dot{p} = -mg \sin \alpha(t) \\ \alpha(0) = \alpha_0 \\ p(0) = \dot{\alpha}_0 \end{cases}$$

$\underline{y} = \begin{bmatrix} y_1 \\ y_2 \end{bmatrix} = \begin{bmatrix} \alpha \\ \rho \end{bmatrix}$ $\underline{y}: [0, T] \rightarrow \mathbb{R}^2$ Unbekannte Funktion.

$\underline{f}(\underline{y}) = \begin{bmatrix} y_2 \\ -\frac{g}{l} \sin y_1 \end{bmatrix}$ $\underline{f}: \mathbb{R}^2 \rightarrow \mathbb{R}^2$

(0) \Leftrightarrow (2) $\begin{cases} \dot{\underline{y}} = \underline{f}(\underline{y}) \\ \underline{y}(0) = \begin{bmatrix} \alpha_0 \\ \dot{\alpha}_0 \end{bmatrix} \end{cases}$

Ziel: Möchte Approximation von $\underline{y}(T)$ = exakte Lösung zur Endzeit T

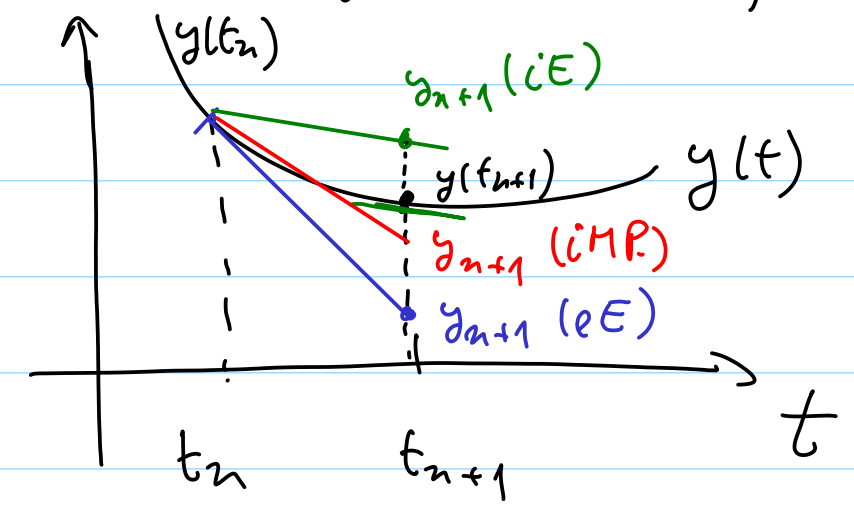


$0 = t_0 < t_1 < t_2 < \dots < t_n < t_{n+1} < \dots < t_N = T$

Zeitschritt $h_n = t_{n+1} - t_n$

Baue Approximationen $\underline{y}_n \approx \underline{y}(t_n)$

Idee: lokal: linearisiere die Lösung lokal.
 Taylor um t_n für $\underline{y}(t)$



Taylor um t_n : $\underline{y}(t_n + h) = \underline{y}(t_n) + h \dot{\underline{y}}(t_n) + O(h^2)$
 $\underline{y}_{n+1} \quad \underline{y}_n \quad f(t_n, \underline{y}_n)$

(eE) $\begin{cases} \underline{y}_{n+1} = \underline{y}_n + h f(t_n, \underline{y}_n) \\ \underline{y}_0 = \underline{y}(t_0) \text{ gegeben.} \end{cases}$ expliziter Euler
lokaler Fehler $O(h^2)$

$n=0, 1, 2, \dots$ $|\underline{y}(t_{n+1}) - \underline{y}_{n+1}| \leq C \cdot h^2$

andere Herleitung:

$$\underline{f}(t_n, \underline{y}(t_n)) = \underline{y}'(t_n) = \lim_{h \rightarrow 0} \frac{\underline{y}(t_n+h) - \underline{y}(t_n)}{h} \approx \frac{y_{n+1} - y_n}{h}$$

$\Rightarrow (e, \epsilon)$

Taylor um t_{n+1} für $\underline{y}(t)$:

$$y(t_{n+1}-h) = y(t_{n+1}) - h \dot{y}(t_{n+1}) + O(h^2) \Rightarrow$$

$\underbrace{y(t_{n+1}-h)}_{y_n} = \underbrace{y(t_{n+1})}_{y_{n+1}} - h \underbrace{\dot{y}(t_{n+1})}_{f(t_{n+1}, y(t_{n+1}))}_{y_{n+1}}} + O(h^2)$

(iE) $\left\{ \begin{array}{l} \underline{y}_n = \underline{y}_{n+1} - h f(t_{n+1}, \underline{y}_{n+1}) \\ n=0,1,2,\dots \quad y_0 = y(t_0) \text{ gegeben} \end{array} \right.$

impliziter Euler
lokaler Fehler
O(h²)

Bez $f(t, y) = -\frac{g}{l} \sin y$

$y_n = y_{n+1} - h \left(-\frac{g}{l}\right) \sin y_{n+1}$ algebraische Gleichung für y_{n+1}

Neue Idee: linearisiere lokal um die Mitte des Intervall:

Taylor $t^* = \frac{1}{2}(t_n + t_{n+1}) = t_n + \frac{1}{2}h$ für $\underline{y}(t)$:

$$\underline{y}(t_{n+1}) = \underline{y}(t^*) + \frac{h}{2} \dot{\underline{y}}(t^*) + \frac{1}{2} \left(\frac{h}{2}\right)^2 \ddot{\underline{y}}(t^*) + O\left(\left(\frac{h}{2}\right)^3\right)$$

$$\underline{y}(t_n) = \underline{y}(t^*) - \frac{h}{2} \dot{\underline{y}}(t^*) + \frac{1}{2} \left(-\frac{h}{2}\right)^2 \ddot{\underline{y}}(t^*) - O\left(\left(\frac{h}{2}\right)^3\right)$$

$\ominus \Rightarrow$

$$\underline{y}(t_{n+1}) - \underline{y}(t_n) = h \dot{\underline{y}}(t^*) + O(h^3) \Rightarrow$$

$\underbrace{\dot{\underline{y}}(t^*)}_{f(t^*, \underline{y}(t^*))}$

$$\underline{y}(t_{n+1}) = \underline{y}(t_n) + h f(t^*, \underline{y}(t^*)) + O(h^3)$$

$\underbrace{\underline{y}(t_{n+1})}_{y_{n+1}} = \underbrace{\underline{y}(t_n)}_{y_n} + h \underbrace{f(t^*, \underline{y}(t^*))}_{\{ \ ? \}}$

Bez $\underline{y}(t^*)$ stört, brauche noch ein Trick!

$$1) \quad \underline{y}(t^*) \approx \frac{1}{2} \left(\underset{\approx \underline{y}_n}{\underline{y}(t_n)} + \underset{\approx \underline{y}_{n+1}}{\underline{y}(t_{n+1})} \right) \Rightarrow$$

$$\underline{y}_{n+1} = \underline{y}_n + h f\left(t_n + \frac{h}{2}, \frac{1}{2}(\underline{y}_n + \underline{y}_{n+1})\right) \quad \text{iMP}$$

impliziter Mittelpunktsregel / lokaler Fehler
 $O(h^3)$

$$2) \quad \underline{f}(t^*, \underline{y}(t^*)) \approx \frac{1}{2} \left(\underline{f}(t_n, \underline{y}_n) + \underline{f}(t_{n+1}, \underline{y}_{n+1}) \right) \Rightarrow$$

$$\underline{y}_{n+1} = \underline{y}_n + h \frac{1}{2} \left(\underline{f}(t_n, \underline{y}_n) + \underline{f}(t_{n+1}, \underline{y}_{n+1}) \right) \quad \text{iTR}$$

impliziter Trapezregel / lokaler Fehler $O(h^3)$

Ben
Das geht so nur wenn $\underline{y}(t)$ glatt genug ist.

Bemerkung Addieren wir die 2 Gleichungen:

$$\underline{y}(t_{n+1}) + \underline{y}(t_n) = 2\underline{y}(t^*) + \left(\frac{h}{2}\right)^2 \ddot{\underline{y}}(t^*) + O(h^4) \Leftrightarrow$$

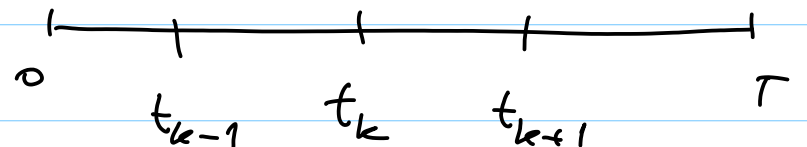
$$\Leftrightarrow \ddot{\underline{y}}(t^*) = \frac{\underline{y}(t_{n+1}) - 2\underline{y}(t_n + \frac{h}{2}) + \underline{y}(t_n)}{\left(\frac{h}{2}\right)^2} + O(h^2)$$

$$\Rightarrow \ddot{\underline{y}}(t_n + \frac{h}{2}) \approx \frac{\underline{y}_{n+1} - 2\underline{y}_{n+\frac{1}{2}} + \underline{y}_n}{\left(\frac{h}{2}\right)^2} \quad \text{mit lokaler Fehler } O(h^2)$$

Bemerkung Selbe Rechnung um $t_n \Rightarrow$

$$\ddot{\underline{y}}(t_n) \approx \frac{\underline{y}_{n+1} - 2\underline{y}_n + \underline{y}_{n-1}}{h^2} \quad \text{mit lokaler Fehler } O(h^2)$$

§2.2. Störmer-Verlet Verfahren

$$\begin{cases} \ddot{\underline{y}} = \underline{f}(t, \underline{y}) \\ \underline{y}(t_0) = \underline{y}_0 \\ \dot{\underline{y}}(t_0) = \underline{v}_0 \end{cases}$$


$$\underline{f}(t_k, \underline{y}_k) = \ddot{\underline{y}}(t_k) \approx \frac{\underline{y}_{k+1} - 2\underline{y}_k + \underline{y}_{k-1}}{h^2}$$

$$\Rightarrow \underline{y}_{k+1} = -\underline{y}_{k-1} + 2\underline{y}_k + h^2 \underline{f}(t_k, \underline{y}_k) \quad (\text{St-V})$$

expliziter, 2-Schritt-Verfahren
 ⇒ brauche Startwerte $\underline{y}(t_0) = \underline{y}_0$
 $\underline{y}_1 \approx \underline{y}(t_1)$

eine Möglichkeit: (eE) $\underline{y}_1 = \underline{y}_0 + h \underline{f}(t_0, \underline{y}_0)$

zweite Möglichkeit: Taylor mit 3-Terme:

$$\underline{y}(t_1) = \underbrace{\underline{y}(t_0)}_{\underline{y}_0} + h \underbrace{\dot{\underline{y}}(t_0)}_{\underline{v}_0} + \frac{h^2}{2} \underbrace{\ddot{\underline{y}}(t_0)}_{\underline{f}(t_0, \underline{y}_0)} + o(h^3) \Rightarrow$$

$$\underline{y}_1 := \underline{y}_0 + h \underline{v}_0 + \frac{h^2}{2} \underline{f}(t_0, \underline{y}_0)$$

(St-V): local $O(h^3)$ und global $O(h^2)$

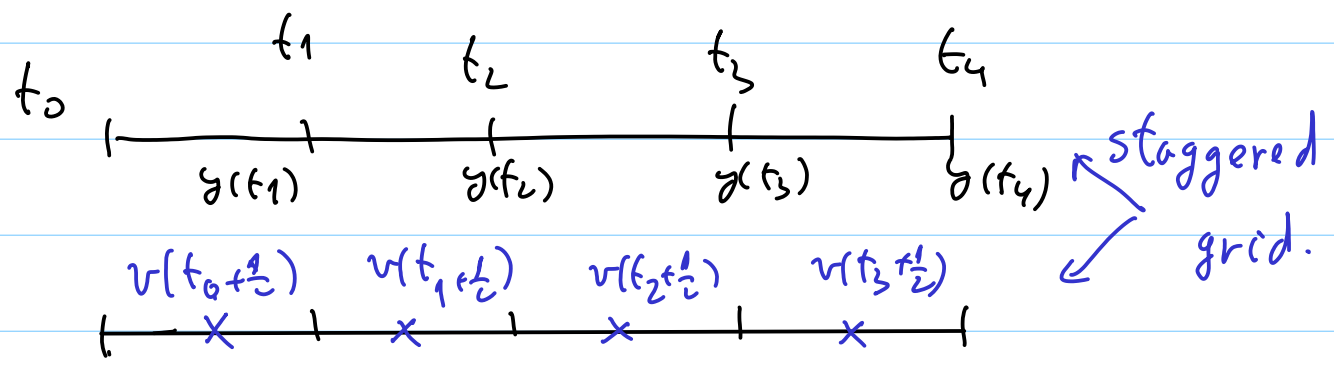
$$|\underline{y}(T) - \underline{y}(t_N)| \leq c \cdot h^2$$

Notiere $v_{k+\frac{1}{2}} = \frac{\underline{y}_{k+1} - \underline{y}_k}{h}$ entspricht $v(t_k + \frac{1}{2}h)$

(gute Approximation an $\dot{\underline{y}}(t_k + \frac{1}{2}h)$)

(in St-V: ⇒)

$$\begin{cases} v_{k+\frac{1}{2}} = v_{k-\frac{1}{2}} + h \underline{f}(t_k, \underline{y}_k) \\ \underline{y}_{k+1} = \underline{y}_k + h v_{k+\frac{1}{2}} \end{cases} \quad \text{"Leap-frog"}$$



Besser noch: "velocity-Verlet"-Verfahren:

$$\begin{cases} \underline{y}_{k+1} = \underline{y}_k + h \underline{v}_k + \frac{h^2}{2} f(t_k, \underline{y}_k) \\ \underline{v}_{k+1} = \underline{v}_k + h \frac{1}{2} (f(t_k, \underline{y}_k) + f(t_{k+1}, \underline{y}_{k+1})) \end{cases}$$

Begründung Notiere: $\underline{v}_k = \frac{\underline{y}_{k+1} - \underline{y}_{k-1}}{2h}$ (SE-V) \implies

$$\underline{v}_k = \frac{-\underline{y}_{k-1} + \underline{y}_{k+1} + h^2 f(t_k, \underline{y}_k)}{2h} = \frac{\underline{y}_k - \underline{y}_{k-1}}{h} + \frac{h}{2} f(t_k, \underline{y}_k)$$

$$\begin{aligned} \underline{v}_{k+1} + \underline{v}_k &= \frac{\underline{y}_{k+1} - \underline{y}_k}{h} + \frac{h}{2} f(t_{k+1}, \underline{y}_{k+1}) + \frac{\underline{y}_k - \underline{y}_{k-1}}{h} + \frac{h}{2} f(t_k, \underline{y}_k) \\ &= 2\underline{v}_k + \frac{h}{2} (f(t_k, \underline{y}_k) + f(t_{k+1}, \underline{y}_{k+1})) \end{aligned}$$

Vorteile: explizit, genauer als (FE), (IE)
erhält die Energie!

§2.3. Vorgehensweise bei Implementierung

Ziel:

Pendelgleichung "lösen": Approximation der Lösung und der Energie mittels vorigen Methoden.

$$\begin{cases} \ddot{\alpha} = -\frac{g}{l} \sin \alpha(t) \\ \alpha(0) = \alpha_0 \\ \dot{\alpha}(0) = \dot{\alpha}_0 \end{cases}$$

1. Schritt: Umschreiben in ODE 1. Ordnung.

$$p = \dot{\alpha}, \quad \underline{y} = \begin{bmatrix} \alpha \\ p \end{bmatrix}, \quad f(\underline{y}) = \begin{bmatrix} p \\ -\frac{g}{l} \sin \alpha \end{bmatrix} = \begin{bmatrix} \dot{y}_1 \\ -\frac{g}{l} \sin y_1 \end{bmatrix}$$

$$\Rightarrow \begin{cases} \dot{\underline{y}} = f(\underline{y}) \\ \underline{y}(0) = \begin{bmatrix} \alpha_0 \\ \dot{\alpha}_0 \end{bmatrix} \end{cases}$$

Möchte: Lösung & Energie der Lösung zu Zeitpunkten

$$0 = t_0 < t_1 < t_2 < \dots < t_N = T$$



Gegeben: $\alpha_0, \dot{\alpha}_0, g, l$ ($\omega^2 = \frac{g}{l}$), $t_0=0, T$

Wähle N !

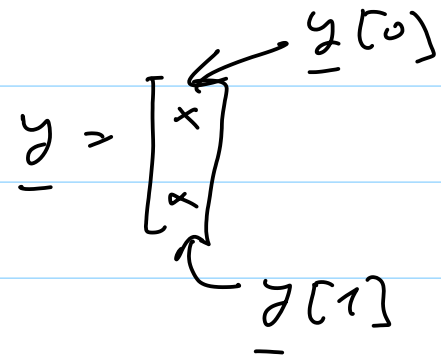
$$\underline{y}(t_0), \underline{y}(t_1), \dots, \underline{y}(t_N)$$

Potentiale Energie: $V(\underline{y}) = -g \cos y_1 + C$

Kinetische Energie: $K(\underline{y}) = \frac{1}{2} y_2^2$

Totale Energie $E(\underline{y}) = V(\underline{y}) + K(\underline{y})$

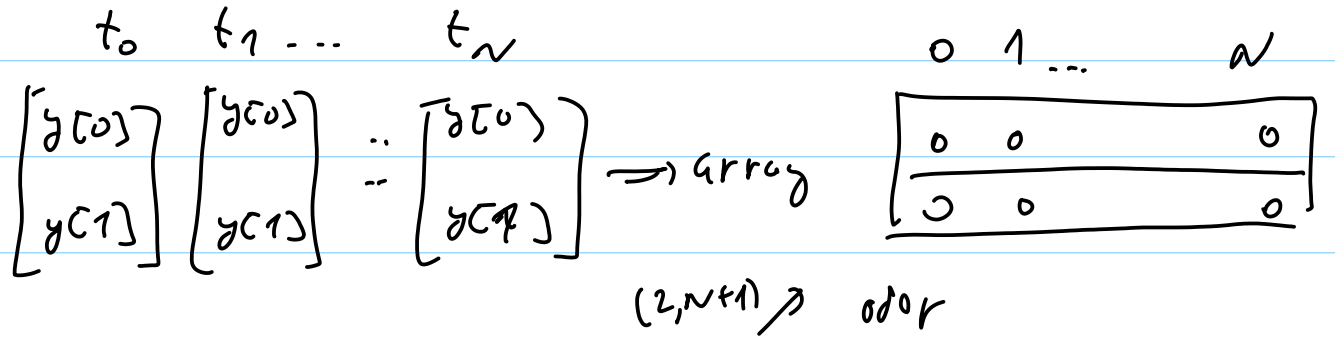
```
[def potE(y):
  return -g cos y[1,0]
```



```
[def kinE(y)
  return 1/2 y[1,1]^2
```

```
[def totE(y)
  return potE(y) + kinE(y)
```

Speicherplatz vorbereiten!



```
y = zeros((N+1, 2))
y[0] = array([alpha_0, alpha_dot_0])
```

$$(nA) \quad y[n, 0] = \frac{\dot{\alpha}}{\omega} \sin(\omega t_n) + \alpha_0 \cos(\omega t_n) = g(t_n)$$

$$y[n, 1] = \text{Ableitung davon} = \dot{\alpha} \cos(\omega t_n) - \alpha_0 \omega \sin(\omega t_n) = dg(t_n)$$

```
[für n = 0, 1, 2, ..., N-1:
  y[n+1, 0] = g(t_{n+1})
  y[n+1, 1] = dg(t_{n+1})
```

$$(eE) \quad \underline{y}_{n+1} = \underline{y}_n + h f(\underline{y}_n)$$

→ implementiere die rechte Seite f.

def f(y):

```
return ( y(1)
        - \frac{g}{2} \sin y(2) ) \quad ( -\omega^2 \sin \alpha(t) )
```

für n=0,1,2,..., n-1

~~$$y(n+1, 0) = y(n, 0) + h f(y) [0]$$~~

~~$$y(n+1, 1) = y(n+1, 0) + h f(y) [1]$$~~

$$\underline{y}(n+1) = \underline{y}(n) + h f(\underline{y})$$

$$(iE) \quad \underline{y}_{n+1} = \underline{y}_n + h f(\underline{y}_{n+1})$$

für n=0,1,2,..., n-1 :

$$\text{löse } \underline{y}_{n+1} = \underline{y}_n + h f(\underline{y}_{n+1})$$

erste Möglichkeit: allgemein.

Sei die Unbekannte $\underline{z} \Rightarrow (iE) \quad \underline{z} = \underline{a} + h f(\underline{z})$

$$\Leftrightarrow \underbrace{\underline{z} - \underline{a} - h f(\underline{z})}_{\underline{F}(\underline{z})} = 0 \Leftrightarrow \underline{F}(\underline{z}) = 0$$

$$\text{mit } \underline{F}: \mathbb{R}^d \rightarrow \mathbb{R}^d, \quad \underline{F}(\underline{z}) = \underline{z} - \underline{a} - h f(\underline{z})$$

$\underline{z} \in \mathbb{R}^d$

Finde die Nullstelle(n) von \underline{F} !

scipy.optimize.fsolve :

fsolve(\underline{F} , \underline{z}_0) ↗ startwert
(nah der gesuchten
Nullstelle)

Startwert für f_{solve} in einem Schritt von (ϵ) ?

$\underline{z}_0 = \underline{y}_n$ oder Lösung mit lin. Rechte Seite
oder was (ϵ) vorschlägt

$$\underline{z}_0 = \underline{y}_n + h \underline{f}(\underline{y}_n)$$

für $n=0, 1, 2, \dots, N-1$:

$$\underline{z}_0 = \underline{y}_n + h \underline{f}(\underline{y}_n)$$

$$\underline{y}_{n+1} = f_{\text{solve}}(\underline{F}, \underline{z}_0)$$

zweite Möglichkeit:

nutze die Form der Gleichung des Pendels.

alg. Problem:

$$\begin{cases} z_1 - a_1 - h z_2 = 0 \\ z_2 - a_2 + h \frac{g}{l} \sin z_1 = 0 \Rightarrow z_2 = a_2 + h \frac{g}{l} \sin z_1 \end{cases}$$

$$\Rightarrow z_1 - a_1 - h \left(a_2 + h \frac{g}{l} \sin z_1 \right) = 0 \Leftrightarrow$$

$$\Leftrightarrow G(z) = 0 \quad \text{mit} \quad G(z) = z - a_1 - h a_2 - h^2 \frac{g}{l} \sin z$$

alg. Gleichung in einer Unbekannten $z \in \mathbb{R}$

← billiger, einfacher!

$$f_{\text{solve}} \Rightarrow z_1 \Rightarrow z_2$$

§2.4 Fehlerschätzung und Konvergenz

Taylor mit Rest als Integral:

$$f(x) = f(a) + \frac{x-a}{1!} f'(a) + \frac{(x-a)^2}{2!} f''(a) + \dots + \frac{(x-a)^{n-1}}{(n-1)!} f^{(n-1)}(a) + \int_a^x \frac{(x-t)^{n-1}}{(n-1)!} f^{(n)}(t) dt$$

$$\underline{\dot{y}} = f(t, \underline{y}) \quad \text{mit} \quad \underline{y}(t_0) = \underline{y}_0$$

$\underline{y}_n \approx \underline{y}(t_n)$ mit $t_n = t_0 + nh$; $h = \text{Zeitschrittweite}$.

↳ vom numerischen Verfahren definiert

$f: [t_0, T] \times \mathbb{R}^d \rightarrow \mathbb{R}^d$ stetig differenzierbar

und Lipschitz:

$$\|f(t, \underline{y}) - f(t, \underline{z})\| \leq L \|\underline{y} - \underline{z}\| \quad \text{für alle } \underline{y}, \underline{z} \in \mathbb{R}^d, t \in [t_0, T]$$

→ konstante $L \in \mathbb{R}$.

Explizite Euler: $\underline{y}_{n+1} = \underline{y}_n + h f(t_n, \underline{y}_n)$

Theorem $\|\underline{y}_n - \underline{y}(t_n)\| \leq M \cdot h$ für alle n , wobei

$$M = \frac{1}{L} \left(e^{L(T-t_0)} - 1 \right) \frac{1}{2} \max_{t \in [t_0, T]} \|\underline{\ddot{y}}(t)\|$$

Beweis: 3 Schritte.

1) lokaler Fehler: ein Schritt mit Startwert $\underline{y}(t_n)$

$$\begin{aligned} \underline{y}(t_{n+1}) - \underline{y}_{n+1} &= \underline{y}(t_{n+1}) - (\underline{y}_n + h f(t_n, \underline{y}_n)) \\ &= \underline{y}(t_{n+1}) - \underline{y}(t_n) - h \underbrace{f(t_n, \underline{y}(t_n))}_{\underline{\dot{y}}(t_n)} \end{aligned}$$

Satz von Taylor mit Rest als Integral:

$$a = t_n, \quad x = a + h = t_{n+1}, \quad f = \underline{y} \quad \Rightarrow$$

$$\underline{y}(t_{n+1}) = \underline{y}(t_n) + \frac{x-t_n}{1!} \underline{\dot{y}}(t_n) + \int_{t_n}^{t_{n+1}} (t_n + h - t) \underline{\ddot{y}}(t) dt$$

Möchte aber \int_0^1 , als wie bei der Fehlerschätzung vom Quadratur: Variablenwechsel:

$$t = t_n + h\theta, \quad dt = h d\theta$$

$$\Rightarrow \underline{y}(t_{n+1}) - \underline{y}(t_n) - h \underline{y}'(t_n) = h \int_0^1 (1-\theta) \underline{y}''(t_n + h\theta) d\theta \leq \max_{t \in [t_0, T]} \|\underline{y}''(t)\|$$

$$\Rightarrow \|\underline{y}(t_{n+1}) - \underline{y}_{n+1}\| \leq \frac{1}{2} h^2 \max_{t \in [t_0, T]} \|\underline{y}''(t)\| = c \cdot h^2$$

2) Fehlerfortpflanzung:

$$\left. \begin{aligned} (\underline{z}) \text{ mit Startwert } \underline{z}_n: \quad \underline{z}_{n+1} &= \underline{z}_n + h \underline{f}(t_n, \underline{z}_n) \\ (\underline{w}) \quad \underline{w}_{n+1} &= \underline{w}_n + h \underline{f}(t_n, \underline{w}_n) \end{aligned} \right\}$$

$$\Rightarrow \|\underline{z}_{n+1} - \underline{w}_{n+1}\| \leq \|\underline{z}_n - \underline{w}_n\| + h \|\underline{f}(t_n, \underline{z}_n) - \underline{f}(t_n, \underline{w}_n)\| \leq$$

$$\leq \|\underline{z}_n - \underline{w}_n\| + hL \|\underline{z}_n - \underline{w}_n\| = \|\underline{z}_n - \underline{w}_n\| (1+hL)$$

3) Fehlerakkumulierung:

$$\|\underline{y}(t_n) - \underline{y}_n\| \leq ch^2 + ch^2(1+hL) + ch^2(1+hL)^2 + \dots + ch^2(1+hL)^{n-1} =$$

$$= ch^2 \frac{(1+hL)^n - 1}{1+hL-1} = ch \frac{(1+hL)^n - 1}{L} \leq$$

$$\leq ch \frac{e^{nhL} - 1}{L} = ch \frac{e^{(t_n-t_0)L} - 1}{L}$$

(imp): lokale Fehler: $t^* = \frac{1}{2}(t_n + t_{n+1})$
 $\underline{y} = \frac{1}{2}(\underline{y}_n + \underline{y}_{n+1})$

$$\underline{y}(t_{n+1}) - \underline{y}(t_n) - h \underline{f}(t^*, \underline{y}) \stackrel{\text{Taylor in } t^*}{=}$$

$$= h \underline{y}'(t^*) + O(h^3) - h \underline{f}(t^*, \underline{y}) \stackrel{\text{ODE}}{=}$$

$$= h \underline{f}(t^*, \underline{y}(t^*)) - h \underline{f}(t^*, \underline{y}) + O(h^3) =$$

$$= \mathcal{O}(h) (\underline{f}(t^*, \underline{y}(t^*)) - \underline{f}(t^*, \underline{\bar{y}})) + \mathcal{O}(h^3)$$

(St.-V) lokaler Fehler:

$$\| \underline{f}(t^*, \underline{y}(t^*)) - \underline{f}(t^*, \underline{\bar{y}}) \| \leq L \| \underline{y}(t^*) - \underline{\bar{y}} \|$$

$$\underline{y}(t_{n+1}) - (-\underline{y}(t_{n-1}) + 2\underline{y}(t_n) + h^2 \underline{f}(t_n, \underline{y}(t_n))) =$$

$$\underline{y}(t^*) - \underline{\bar{y}} = \frac{1}{2} \underline{y}(t^*) + \frac{1}{2} \underline{y}(t^*) - \frac{1}{2} \underline{y}_{\underline{n}} - \frac{1}{2} \underline{y}_{\underline{n+1}}$$

$$= \underline{y}(t_{n+1}) + \underline{y}(t_{n-1}) - 2\underline{y}(t_n) + h^2 \underline{f}(t_n, \underline{y}(t_n)) \stackrel{\text{Taylor}}{=}$$

$$\underline{y}(t_n)$$

$$= h^2 \underline{\ddot{y}}(t_n) - h^2 \underline{f}(t_n, \underline{y}(t_n)) + \mathcal{O}(h^4) \Rightarrow \text{lokal } \mathcal{O}(h^4)$$

$$= \frac{1}{2} (\underline{y}(t^*) - \underline{y}(t_n)) + \frac{1}{2} (\underline{y}(t^*) - \underline{y}(t_{n+1})) + \frac{1}{2} (\underline{y}(t_{n+1}) - \underline{y}_{\underline{n+1}})$$

$\underbrace{\hspace{10em}}_{\substack{\| \text{ODE} \\ 0}} \Rightarrow$
aber die Startwerte ist nur $\mathcal{O}(h^3)$

Taylor
$$= \frac{h}{2} \underline{\ddot{y}}(t^*) + \mathcal{O}(h^2) - \frac{h}{2} \underline{\ddot{y}}(t^*) + \mathcal{O}(h^2) + \frac{1}{2} (\underline{y}(t_{n+1}) - \underline{y}_{\underline{n+1}})$$

Fehlerfortpflanzung + akkumulierung

$$\Rightarrow \mathcal{O}(h^2)$$

Somit:
$$\| \underline{f}(t^*, \underline{y}(t^*)) - \underline{f}(t^*, \underline{\bar{y}}) \| \leq L \cdot c \cdot h^2 + \frac{1}{2} \| \underline{y}(t_{n+1}) - \underline{y}_{\underline{n+1}} \|$$

$$\| \underline{y}(t_{n+1}) - \underline{y}_{\underline{n+1}} \| \leq h^3 \cdot L \cdot c + \frac{hL}{2} \| \underline{y}(t_{n+1}) - \underline{y}_{\underline{n+1}} \| \Rightarrow$$

$$\| \underline{y}(t_{n+1}) - \underline{y}_{\underline{n+1}} \| \leq \frac{2}{2-hL} Lc h^3$$

§3 Strukturhaltung.

§3.1. Invariante und Hamilton Systeme

Bsp autonome Lotka-Volterra: $d=2$

$$\begin{cases} \dot{u} = (\alpha - \beta v)u \\ \dot{v} = (\delta u - \gamma)v \end{cases} \quad \begin{array}{l} u, v: \mathbb{R} \rightarrow \mathbb{R} \text{ Unbekannt} \\ \alpha, \beta, \gamma, \delta > 0 \text{ Konstant, bekannt} \end{array}$$

$$\left. \begin{array}{l} \dot{u} = (\alpha - \beta v)u = \left(\frac{\alpha}{v} - \beta\right)uv \quad \left| \begin{array}{l} (\delta - \frac{\gamma}{u}) \\ (\frac{\alpha}{v} - \beta) \end{array} \right. \\ \dot{v} = (\delta u - \gamma)v = \left(\delta - \frac{\gamma}{u}\right)uv \quad \left| \begin{array}{l} (\delta - \frac{\gamma}{u}) \\ (\frac{\alpha}{v} - \beta) \end{array} \right. \end{array} \right\} \rightarrow$$

$$\left(\delta - \frac{\gamma}{u}\right)\dot{u} = \left(\frac{\alpha}{v} - \beta\right)\dot{v} \Rightarrow$$

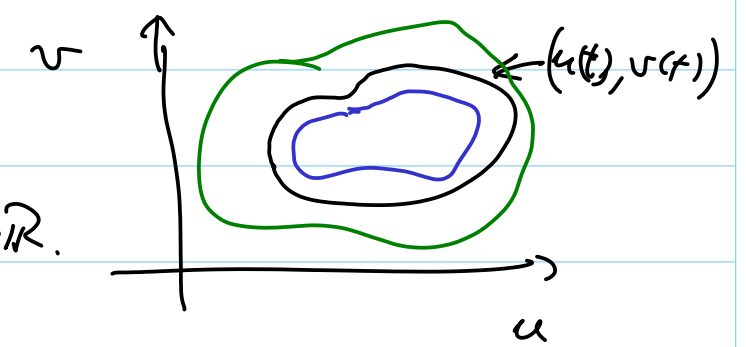
$$\left(\delta - \frac{\gamma}{u}\right)\dot{u} - \left(\frac{\alpha}{v} - \beta\right)\dot{v} = 0 \Leftrightarrow$$

$$\frac{d}{dt} \left(\delta u - \gamma \log u - \alpha \log v + \beta v \right) = 0 \quad \text{für alle } t \Rightarrow \quad I(u(t), v(t))$$

$$\frac{d}{dt} I(u(t), v(t)) = 0 \quad \text{für alle } t \Rightarrow$$

$\Rightarrow I(u(t), v(t)) = \text{konstant}$, wenn u, v die Lösungen des L-V-Systems sind.

d.h. die Trajektorien sind Niveaulinien der Funktion $I: \mathbb{R}^2 \rightarrow \mathbb{R}$.



Def I heißt erstes Integral / Invariante der ODE $\dot{\underline{y}} = \underline{f}(t, \underline{y})$ wenn

$I(\underline{y}(t)) = \text{konstant}$ für jede Lösung $\underline{y} = \underline{y}(t)$ der ODE.

partielle Ableitung $\frac{\partial}{\partial x_1} f(\underline{x}) = \text{Ableitung von } f \text{ nach } x_1$
 $\frac{\partial}{\partial x_2}, \dots, \frac{\partial}{\partial x_d}$

$$\underline{\text{grad}} f(\underline{x}) = \begin{bmatrix} \frac{\partial f(\underline{x})}{\partial x_1} \\ \vdots \\ \frac{\partial f(\underline{x})}{\partial x_d} \end{bmatrix}$$

Bsp $f: \mathbb{R}^d \rightarrow \mathbb{R}$, $f(\underline{x}) = \|\underline{x}\|_2 = \left(\sum_{j=1}^d x_j^2 \right)^{1/2}$

Wie ist $\underline{\text{grad}} f(\underline{x}) = ?$

$$\frac{\partial}{\partial x_1} f(\underline{x}) = \frac{1}{2} \left(\sum_{j=1}^d x_j^2 \right)^{-\frac{1}{2}} \cdot 2x_1 = \frac{x_1}{\|\underline{x}\|_2} \Rightarrow$$

$$\underline{\text{grad}} f(\underline{x}) = \frac{1}{\|\underline{x}\|_2} \underline{x}$$

Theorem I ist Invariante für $\dot{y} = f(t, \underline{y})$

\Leftrightarrow

$\underline{\text{grad}} I(\underline{y}) \cdot f(t, \underline{y}) = 0$ für alle $(t, \underline{y}) \in [0, T] \times D$
 wo es eine Lösung gibt.
 ($y(t)$)

Beweis Annahme.

$$\Leftarrow: 0 = \underline{\text{grad}} I(\underline{y}(t)) \cdot \underline{f}(t, \underline{y}(t)) =$$

$\underline{y}(t)$ Lösung \uparrow

$$= \underline{\text{grad}} I(\underline{y}(t)) \cdot \dot{\underline{y}}(t) = \frac{d}{dt} I(\underline{y}(t)) \Rightarrow$$

\uparrow Kettenregel.

$\Rightarrow I(\underline{y}(t)) = \text{konstant} \Rightarrow I$ ist Invariante der ODE.

\Rightarrow : Nehme $\underline{t}_0 \in D$, $(t_0 \in [0, T])$ beliebig.

Verwende die ODE: $\begin{cases} \dot{\underline{y}} = f(t, \underline{y}) \\ \underline{y}(t_0) = \underline{z}_0 \end{cases} \Rightarrow \underline{y}(t) \stackrel{I \text{ Invariante}}{=} \underline{z}_0$

$$\Rightarrow I(\underline{y}(t)) = \text{konstant} \stackrel{\frac{d}{dt}}{\text{ODE}} \underline{\text{grad}} I(\underline{y}(t)) \dot{\underline{y}}(t) = 0 = f(t, \underline{y}(t))$$

für alle t $\left\{ \begin{array}{l} \Rightarrow \underline{\text{grad}} I(\underline{y}(t_0)) \dot{\underline{y}}(t_0) = 0 \Leftrightarrow \\ \text{nehme } t = t_0 \end{array} \right. \underline{\text{grad}} I(\underline{y}(t_0)) \cdot f(t_0, \underline{z}_0) = 0$

\Rightarrow für alle t_0, \underline{z}_0 .

Notation $H: \mathbb{R}^d \times \mathbb{R}^d \rightarrow \mathbb{R}$ Hamilton Funktion.
 $\underbrace{\quad}_{\underline{p}} \quad \underbrace{\quad}_{\underline{q}}$

$$\left[\frac{\partial}{\partial p_1} H(\underline{p}, \underline{q}), \dots, \frac{\partial}{\partial p_d} H(\underline{p}, \underline{q}) \right]^T = \frac{\partial H}{\partial \underline{p}} = \text{grad}_{\underline{p}} H(\underline{p}, \underline{q})$$

Def Hamiltonische Differentialgleichung.

$$\begin{cases} \dot{p}_j = - \frac{\partial H}{\partial q_j} (p(t), q(t)) \\ \dot{q}_j = \frac{\partial H}{\partial p_j} (p(t), q(t)) \end{cases} \quad \underline{p}, \underline{q}: [0, T] \rightarrow \mathbb{R}^d$$

für $j=1, 2, \dots, d$

autonomes Hamilton-System mit der Hamilton-Funktion H .

Bsp 1) Pendel: $p, q: \mathbb{R} \rightarrow \mathbb{R}$ $d=1$

$$H(p, q) = \frac{1}{2} p^2 - \frac{g}{l} \cos(q) = E_{\text{tot}} \cdot \frac{1}{m l^2}$$

$q = \alpha = \text{Winkel}$ $p = \dot{q}$

2.) Konservatives Kraftfeld:
d.h.

$$\underline{f}(\underline{x}) = - \text{grad}_{\underline{x}} U(\underline{x}) \quad \underline{x} \in \mathbb{R}^d$$

z.B. $U(\underline{x}) = G(\|\underline{x}\|_2)$ "zentrales Potential"

$$\Rightarrow H(\underline{p}, \underline{q}) = \frac{1}{2m} \|\underline{p}\|^2 + G(\|\underline{q}\|_2)$$

$p = m \dot{r} \Rightarrow$ Bewegungsgleichungen eines Massenpunktes m im konservativen Zentralfeld.

$$\begin{cases} \dot{q} = \frac{1}{m} p \\ \dot{p} = - G'(\|\underline{q}\|_2) \cdot \frac{\underline{q}}{\|\underline{q}\|_2} \end{cases}$$

vergleiche mit Newton's Gleichung, $m \ddot{r}(t) = f(r(t))$.

$$f(\underline{q}) = - \text{grad}_{\underline{q}} G(\|\underline{q}\|_2) = - G'(\|\underline{q}\|_2) \cdot \text{grad}_{\underline{q}} \|\underline{q}\|_2$$

Bem $H(p, q)$ Invariante für das Hamilton System.

Theorem $I: \mathbb{R}^d \rightarrow \mathbb{R}, I(\underline{y}) = \frac{1}{2} \underline{y}^T \underline{B} \underline{y}$ mit

Beweis $\underline{y} = \begin{bmatrix} p \\ q \end{bmatrix}; \underline{\partial} = \begin{bmatrix} \underline{0} & \underline{I}_d \\ -\underline{I}_d & \underline{0} \end{bmatrix} \stackrel{d=2}{=} \begin{bmatrix} 0 & 0 & 1 & 0 \\ 0 & 0 & 0 & 1 \\ -1 & 0 & 0 & 0 \\ 0 & -1 & 0 & 0 \end{bmatrix}$

$\underline{B} \in \mathbb{R}^{d \times d}$, I Invariante für $\dot{\underline{y}} = \underline{f}(\underline{y})$ mit \underline{f} differenzierbar.

Hamilton System:

Sei (\underline{y}_n) die numerische Approximation aus (17)

Dann $I(\underline{y}_n) = I(\underline{y}_0)$ für alle n .

$\dot{\underline{y}} = \underline{\partial}^{-1} \text{grad } H(\underline{y}) =: \underline{f}(\underline{y})$

Beweis

$I(\underline{y})$ Invariante für $\dot{\underline{y}} = \underline{f}(\underline{y}) \iff \text{grad } I(\underline{y}) \cdot \underline{f}(\underline{y}) = 0$ für alle \underline{y}

$I(\underline{y}) \in \mathbb{R} \Rightarrow I(\underline{y}) = I(\underline{y})^T = \left(\frac{1}{2} \underline{y}^T \underline{B} \underline{y} \right)^T = \frac{1}{2} \underline{y}^T \underline{B}^T \underline{y} \Rightarrow$

Überprüfe dies für $I := H$:

$2I(\underline{y}) = I(\underline{y}) + I(\underline{y})^T = \frac{1}{2} \underline{y}^T (\underline{B} + \underline{B}^T) \underline{y} = \text{konstant.}$

$\text{grad } H(\underline{y}) \cdot \underline{f}(\underline{y}) = (\text{grad } H(\underline{y}))^T \underline{\partial}^{-1} \text{grad } H(\underline{y}) =$

$\frac{1}{2} \underline{y}^T \underline{A} \underline{y}$ Invariante mit $\underline{A} = \underline{B} + \underline{B}^T$ also symmetrisch.

$\text{grad } H(\underline{y}) = \begin{bmatrix} a \\ b \end{bmatrix} \Rightarrow \begin{bmatrix} a & b \end{bmatrix} \begin{bmatrix} 0 & -\underline{I} \\ \underline{I} & 0 \end{bmatrix} \begin{bmatrix} a \\ b \end{bmatrix} = \begin{bmatrix} a & b \end{bmatrix} \begin{bmatrix} -b \\ a \end{bmatrix} = -a b + b a = 0.$

Invarianz => $\frac{d}{dt} = 0 \Rightarrow \underline{A} \underline{y}(t) \cdot \underline{f}(\underline{y}(t)) = 0$ für $\underline{y}(t)$ Lösung.
 \underline{A} symmetrisch.

$$\frac{d}{dt} z I(\underline{y}) = \underline{A} \underline{y}(t) \cdot \underline{j}(t) = \underline{A} \underline{y}(t) \cdot \underline{f}(\underline{y}(t))$$

$\underline{j} = \underline{f}(\underline{y})$ (ODE)

$$\begin{aligned} I(\underline{y}_{n+1}) - I(\underline{y}_n) &= \frac{1}{2} (\underline{y}_{n+1} + \underline{y}_n)^T \underline{A} (\underline{y}_{n+1} - \underline{y}_n) = \\ &= \underline{A} \left(\frac{1}{2} \underline{y}_{n+1} + \underline{y}_n \right) \cdot h f \left(\frac{1}{2} \underline{y}_n + \underline{y}_{n+1} \right) = \\ &= (\underline{A} \underline{z}) \cdot h f(\underline{z}) = 0 \end{aligned}$$

$\underline{z} = \frac{1}{2} \underline{y}_{n+1} + \underline{y}_n$ (IMP)

$$\frac{\partial}{\partial \underline{y}_i} (\underline{y}^T \underline{A} \underline{y}) = \dots$$

Da:

$$\begin{aligned} \underline{y}_{n+1}^T \underline{A} \underline{y}_{n+1} - \underline{y}_n^T \underline{A} \underline{y}_n &= \underline{y}_{n+1}^T \underline{A} \underline{y}_{n+1} - \underline{y}_{n+1}^T \underline{A} \underline{y}_n \\ &+ \underline{y}_{n+1}^T \underline{A} \underline{y}_n - \underline{y}_n^T \underline{A} \underline{y}_n \\ &= \underline{y}_{n+1}^T \underline{A} (\underline{y}_{n+1} - \underline{y}_n) + (\underline{y}_{n+1} - \underline{y}_n)^T \underline{A} \underline{y}_n = (\underline{y}_{n+1}^T + \underline{y}_n^T) \underline{A} (\underline{y}_{n+1} - \underline{y}_n) \\ &= (\underline{y}_{n+1} - \underline{y}_n)^T \underline{A} (\underline{y}_{n+1} - \underline{y}_n) \quad \underline{A} \text{ symmetrisch.} \\ &= \underline{y}_n^T \underline{A} (\underline{y}_{n+1} - \underline{y}_n) \end{aligned}$$

§3.2. Splitting Verfahren

autonome ODE: $\dot{y} = f(y)$

Bem Was tun wenn ODE nicht autonom ist?

Trick:

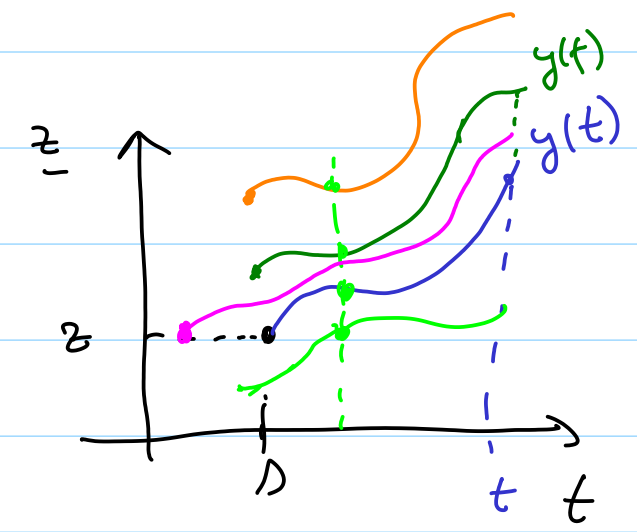
$$\underline{z} = \begin{bmatrix} t \\ y \end{bmatrix} \Rightarrow \dot{\underline{z}} = \begin{bmatrix} 1 \\ \dot{y} \end{bmatrix} = \begin{bmatrix} 1 \\ g(t, y) \end{bmatrix} = \begin{bmatrix} 1 \\ g(\underline{z}) \end{bmatrix} = \underline{f}(\underline{z})$$

$$\dot{y} = g(t, y)$$

$$\rightarrow \dot{z} = f(z)$$

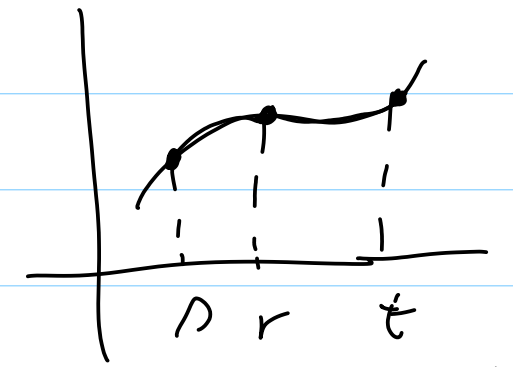
mit $\underline{z}(t_0) = \begin{bmatrix} t_0 \\ y(t_0) \end{bmatrix}$

Bem $\begin{cases} \dot{y} = g(t, y) \\ y(\lambda) = \underline{x} \end{cases}$



$$1) \Phi^{t,t} = \text{Identität!} \quad \Phi^{t,t} \underline{x} = \underline{x} \text{ für alle } \underline{x} \in D.$$

$$2) \Phi^{s,t} \underline{x} = \Phi^{r,t} \Phi^{s,r} \underline{x}$$



$$3) \text{ Falls ODE autonom ist: } \Phi^{s,t} = \Phi^{0,t-s} = \Phi^{t-s}$$

d.h. die Lösung der autonomen ODE

$$\dot{y} = f(y)$$

ist translationsinvariant.

Beweis:

$$\underline{u}(t) = \underline{y}(t+c) \Rightarrow \frac{d}{dt} \underline{u}(t) = \dot{\underline{y}}(t+c) \cdot 1 = \underline{f}(\underline{y}(t+c)) = \underline{f}(\underline{u}(t))$$

$$\Rightarrow \dot{\underline{u}}(t) = \underline{f}(\underline{u})$$

$$\Phi^{s,t} \underline{x} = \underline{y}(t) \text{ mit } \underline{y}(s) = \underline{x}$$

$\Phi^{s,t}: D \rightarrow D$ zweiparametrische Familie von Abbildungen. "Fluss der ODE".

Bsp $e^{mh} = \sum_{n=0}^{\infty} \frac{1}{n!} (mh)^n$

↪ auch als Lösung der ODE:

$\dot{y}(h) = m y(h) ; y(0) = 1$

Für mehrere solchen linearen, entkoppelten ODE:

$$\begin{cases} \dot{y}_1(t) = m_1 y_1(t) \Rightarrow y_1(h) = e^{m_1 h} \\ \dot{y}_2(t) = m_2 y_2(t) \Rightarrow y_2(h) = e^{m_2 h} \\ \dots \\ \dot{y}_d(t) = m_d y_d(t) \Rightarrow y_d(h) = e^{m_d h} \end{cases}$$

$\underline{y} = \begin{bmatrix} y_1 \\ \vdots \\ y_d \end{bmatrix} ; \quad \dot{\underline{y}} = \text{diag}(m_1, \dots, m_d) \underline{y}$

$\underline{y}(h) = \text{diag}(e^{m_1 h}, \dots, e^{m_d h}) \begin{bmatrix} 1 \\ \vdots \\ 1 \end{bmatrix}$
 $= e^{h \text{diag}(m_1, \dots, m_d)} \begin{bmatrix} 1 \\ \vdots \\ 1 \end{bmatrix}$

$e^{\text{diag}(m_1, \dots, m_d) h} = \sum_{n=0}^{\infty} \frac{1}{n!} (\text{diag}(m_1, \dots, m_d) h)^n$

$\dot{\underline{y}} = \underline{M} \underline{y}$ mit \underline{M} eine beliebige $d \times d$ -Matrix.

mit Lösung $\underline{y}(t) = e^{\underline{M} t} \underline{y}_0$ wobei

$e^{\underline{M} t} = \sum_{n=0}^{\infty} \frac{1}{n!} (\underline{M} t)^n$ nicht so gerechnet.

Bsp $\underline{M} = \underline{A} + \underline{B}$

$e^{(A+B)h} = \underline{I} + (\underline{A} + \underline{B})h + \frac{1}{2} (\underline{A}^2 + \underline{A}\underline{B} + \underline{B}\underline{A} + \underline{B}^2)h^2 + \dots$

$e^{\underline{A}h} e^{\underline{B}h} = (\underline{I} + \underline{A}h + \frac{1}{2} \underline{A}^2 h^2 + \dots) (\underline{I} + \underline{B}h + \frac{1}{2} \underline{B}^2 h^2 + \dots) =$

$= \underline{I} + (\underline{A} + \underline{B})h + (\frac{1}{2} \underline{A}^2 + \underline{A}\underline{B} + \frac{1}{2} \underline{B}^2)h^2$

ungleich wenn $\underline{A}\underline{B} \neq \underline{B}\underline{A}$

Man kann beweisen dass $e^{(\underline{A} + \underline{B})h} \approx e^{\underline{A}h} e^{\underline{B}h}$

$$e^{\underline{B}h} (e^{\underline{A}h} \underline{y}_0) \cdot \underline{y}(h) = e^{\underline{(A+B)}h} \underline{y}_0$$

$$e^{\underline{B}h} \underline{y}_1 \rightarrow e^{\underline{A}h} (e^{\underline{B}h} \underline{y}_1) \cdot e^{\underline{(A+B)}h} \underline{y}_0$$

Bez Für nicht-lineare autonome ODE erster Ordnung:

$$\underline{\dot{y}} = \underline{f}(\underline{y}) \quad \text{mit} \quad \underline{f}(\underline{y}) = \underline{f}_a(\underline{y}) + \underline{f}_b(\underline{y})$$

Idee: Wähle $\underline{f}_a, \underline{f}_b$ so dass die ODE:

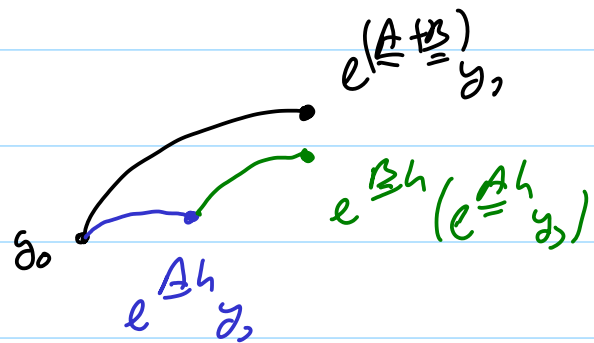
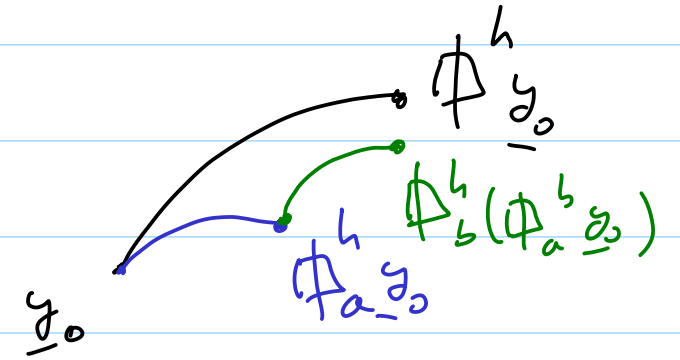
$$e^{\underline{(A+B)}h} \approx e^{\underline{B}h} (e^{\underline{A}h} \underline{y}_0)$$

$$e^{\underline{(A+B)}h} \approx e^{\underline{A}h} (e^{\underline{B}h} \underline{y}_0)$$

(a) $\underline{\dot{y}} = \underline{f}_a(\underline{y})$

und

(b) $\underline{\dot{y}} = \underline{f}_b(\underline{y})$



einfach oder exakt lösbar sind.

$$\underline{\dot{y}} = \underline{A} \underline{y} \quad \underline{\dot{y}} = \underline{B} \underline{y}$$

$$\Psi_1^h := \Phi_b^h \circ \Phi_a^h$$

Lie-Trotter Splitting

$$\underline{\dot{y}} = \underline{(A+B)} \underline{y}$$

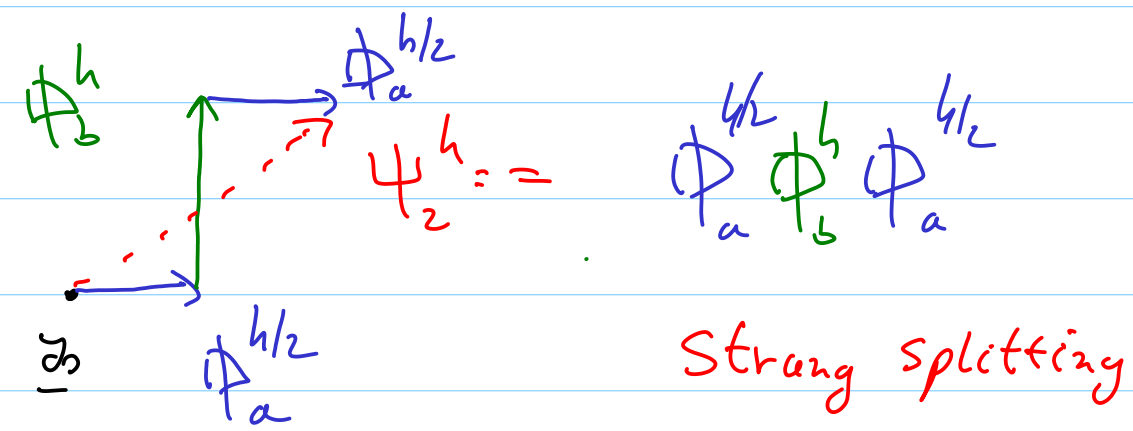
Fehler $O(h)$ zur Endzeit T

Bez Symmetrie schenkt uns eine Ordnung mehr:

$$\Psi_1^h := \Phi_b^h \circ \Phi_a^h$$

Lie-Trotter Splitting

$$\tilde{\Psi}_1^h := \Phi_a^h \circ \Phi_b^h$$



Allgemeines Splittingverfahren:

$$\Psi^h = \prod_{i=1}^n \Phi_b^{b_i h} \Phi_a^{a_i h}$$

mit $\sum_{i=1}^n a_i = 1$, $\sum_{i=1}^n b_i = 1$.

Bsp $n=1, a_1=b_1=1$ Lie-Trotter
 $n=2, a_1=a_2=1/2, b_1=1, b_2=0 \Rightarrow$ Strang

Welche a, b wählen damit wir hohe Ordnung?
 f_a, f_b Erhaltungseigenschaften.

Beispiel 2.4.1. (Konvergenz einfacher Splitting-Verfahren)

Sei

$$\dot{y} = \underbrace{\lambda y(1-y)}_{=: f_a(y)} + \underbrace{\sqrt{1-y^2}}_{=: f_b(y)}, \quad y(0) = 0.$$

Die Evolutionsoperatoren der zwei Teile sind analytisch bekannt:

$$\Phi_a^t y = \frac{1}{1 + (y^{-1} - 1)e^{-\lambda t}}, \quad \text{für } t > 0, y \in]0, 1] \text{ und}$$

$$\Phi_b^t y = \begin{cases} \sin(t + \arcsin(y)), & \text{wenn } t + \arcsin(y) < \frac{\pi}{2}, \\ 1, & \text{sonst} \end{cases} \quad \text{für } t > 0, y \in [0, 1].$$

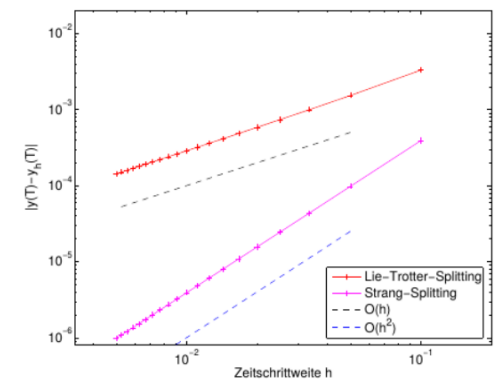
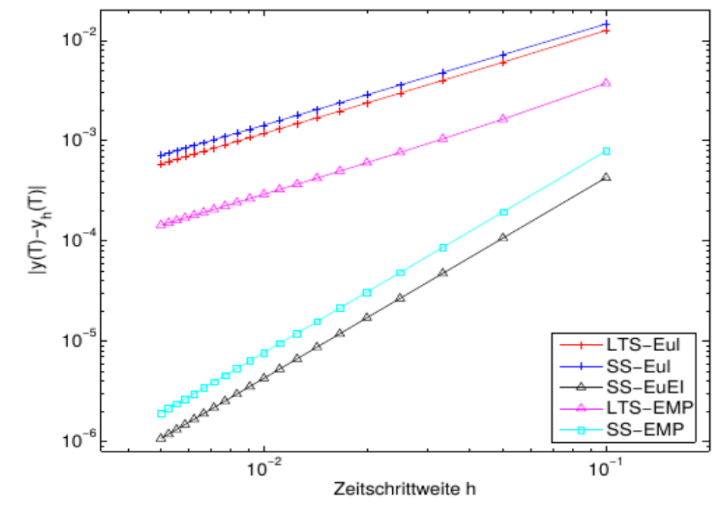


Abb. 2.4.2. Fehler zur Endzeit $T = 1$.



- LTS-Eul: explizites Euler als $\Psi_{a,b}^h, \Psi_{a,b}^h$ und Lie-Trotter-Splitting
- SS-Eul: explizites Euler als $\Psi_{a,b}^h, \Psi_{a,b}^h$ und Strang-Splitting
- SS-EuEI: Strang-Splitting: explizites Euler als $\Psi_a^{h/2}$, exaktes Φ_b^h und implizites Euler als $\Psi_a^{h/2}$
- LTS-EMP: explizite Mittelpunkt-Regel als $\Psi_{a,b}^h, \Psi_{a,b}^h$ und Lie-Trotter-Splitting
- SS-EMP: explizite Mittelpunkt-Regel als $\Psi_{h,a}^h, \Psi_{h,f}^h$ und Strang-Splitting

Bsp Splitting Verfahren für Newton' Gleichung.

$$\ddot{\underline{r}} = \underline{a}(\underline{r}) \Leftrightarrow \dot{\underline{y}} = \begin{bmatrix} \dot{\underline{r}} \\ \dot{\underline{v}} \end{bmatrix} = \begin{bmatrix} \underline{v} \\ \underline{a}(\underline{r}) \end{bmatrix} =: \underline{F}(\underline{y})$$

$$\underline{F}(\underline{y}) = \underbrace{\begin{bmatrix} 0 \\ \underline{a}(\underline{r}) \end{bmatrix}}_f + \underbrace{\begin{bmatrix} \underline{v} \\ 0 \end{bmatrix}}_g \quad \text{Startwert} \quad \underline{y}_0 = \begin{bmatrix} \underline{r}_0 \\ \underline{v}_0 \end{bmatrix}$$

(a) $\begin{cases} \dot{\underline{r}} = 0 \\ \dot{\underline{v}} = \underline{a}(\underline{r}) \end{cases}$ Löse von $\underbrace{\text{Startzeit } a}$ zu $\underbrace{\text{Endzeit } h}$: **Exakt!**

$\rightarrow r(h) = r(0) = r_0$

$\rightarrow \dot{v} = a(r_0) \Rightarrow v(h) = a(r_0)h + v_0$

$$\Rightarrow \Phi_f^h \begin{bmatrix} r_0 \\ v_0 \end{bmatrix} = \begin{bmatrix} r_0 \\ v_0 + h a(r_0) \end{bmatrix}$$

(b) $\begin{cases} \dot{\underline{r}} = \underline{v} \\ \dot{\underline{v}} = 0 \end{cases} \Rightarrow \underline{v}(h) = \underline{v}(0) = \underline{v}_0$ $\xrightarrow{\dot{r} = \underline{v}_0} r(h) = r_0 + h v_0$ **exakt!**

$$\Rightarrow \Phi_g^h \begin{bmatrix} r_0 \\ v_0 \end{bmatrix} = \begin{bmatrix} r_0 + h v_0 \\ v_0 \end{bmatrix}$$

kombinieren wir diese 2 exakten Lösungen:

(1) Lie-Trotter-Splitting:

$$\begin{aligned} \Psi^h \begin{bmatrix} r \\ v \end{bmatrix} &= \Phi_g^h \circ \Phi_f^h \begin{bmatrix} r \\ v \end{bmatrix} = \Phi_g^h \begin{bmatrix} r \\ v + h a(r) \end{bmatrix} = \\ &= \begin{bmatrix} r + h (v + h a(r)) \\ v + h a(r) \end{bmatrix} \end{aligned}$$

symplektische Euler-Verfahren.

(2) Strang-Splittung:

$$\begin{aligned} \Psi^h \begin{bmatrix} r \\ v \end{bmatrix} &= \Phi_g^{h/2} \Phi_f^h \Phi_g^{h/2} \begin{bmatrix} r \\ v \end{bmatrix} = \\ &= \Phi_g^{h/2} \Phi_f^h \begin{bmatrix} r + \frac{h}{2}v \\ v \end{bmatrix} = \Phi_g^{h/2} \begin{bmatrix} r + \frac{h}{2}v \\ v + ha(r + \frac{h}{2}v) \end{bmatrix} \\ &= \begin{bmatrix} r + \frac{h}{2}v + \frac{h}{2}(v + ha(r + \frac{h}{2}v)) \\ v + ha(r + \frac{h}{2}v) \end{bmatrix} \end{aligned}$$

Notation:

$$\begin{cases} r_{k+\frac{1}{2}} = r_k + \frac{1}{2}h v_k \\ v_{k+1} = v_k + ha(r_{k+\frac{1}{2}}) \\ r_{k+1} = r_k + \frac{1}{2}h v_{k+1} \end{cases}$$

\equiv ein-Schritt-Formulierung des St-V !!

Bem Trick geht auch für separablen Hamilton-System

$$H(\underline{p}, \underline{q}) = \underline{T}(\underline{p}) + \underline{V}(\underline{q})$$

$$\text{Lie-Trotter} \Rightarrow \begin{cases} \underline{p}_{n+1} = \underline{p}_n - h \underline{\text{grad}} V(\underline{q}_n) \\ \underline{q}_{n+1} = \underline{q}_n + h \underline{\text{grad}} T(\underline{p}_{n+1}) \end{cases}$$

Symplektische Euler-Verfahren; global Dh.

Strang-Splittung \Rightarrow (St-V) für separablen Hamilton-Systeme.

Bez Was tun für zeitabhängige rechte Seiten?

$$\dot{\underline{y}} = \underline{f}(t, \underline{y})$$

Autonomisieren!

$$H(p, q) = \frac{1}{2} p^2 - \frac{g}{l} \cos q + (-g) A \cos(\omega t)$$

$$\begin{cases} \dot{p} = -\frac{\partial H}{\partial q} = -\frac{g}{l} \sin q + A \cos(\omega t) \\ \dot{q} = \frac{\partial H}{\partial p} = p \end{cases}$$

$$\dot{q} = \frac{\partial H}{\partial p} = p$$

Nicht autonom \Rightarrow autonomisieren

Unbekannte $t \Rightarrow \dot{t} = 1$

$$\underline{u} = \begin{bmatrix} q \\ t \\ p \end{bmatrix} \Rightarrow \dot{\underline{u}} = \underline{f}(\underline{u}) \text{ mit } \underline{f}(\underline{u}) = \begin{bmatrix} p \\ 1 \\ -\frac{g}{l} \sin q + A \cos(\omega t) \end{bmatrix}$$

$$\underline{f}(\underline{u}) = \underbrace{\begin{bmatrix} 0 \\ 0 \\ -\frac{g}{l} \sin q + A \cos(\omega t) \end{bmatrix}}_{(a)} + \underbrace{\begin{bmatrix} p \\ 1 \\ 0 \end{bmatrix}}_{(b)}$$

$$\begin{aligned} (a) \quad \dot{q} = 0 &\Rightarrow q(h) = q(0) = q_0 \\ \dot{t} = 0 &\Rightarrow t(h) = t(0) = t_0 \\ \dot{p} = -\frac{g}{l} \sin q_0 + A \cos(\omega t_0) &\Rightarrow \end{aligned}$$

$$p(h) = p_0 - \left(\frac{g}{l} \sin q_0\right) h + A \cos(\omega t_0) h.$$

exakt.

$$\begin{cases} \dot{q} = P \\ \dot{t} = 1 \\ \dot{p} = 0 \end{cases} \Rightarrow \begin{cases} q(h) = q_0 + P_0 h \\ t(h) = t_0 + h \\ p(h) = p(0) = P_0 \end{cases} \Rightarrow q(h) = q_0 + P_0 h.$$

exact.

(a_c) (b_c) aus Splitting $\xrightarrow{(a)(b)}$ Methode!

Vorteile falls:

- + $\hat{\Psi}^h$ genauer als Ψ^h
- + $\Pi^h, (\Pi^h)^{-1}$ günstig
- + keine/wenige Ausgaben der Lösung vor Endzeit gewünscht!

Processing

$$\hat{\Psi}^h = \overset{\text{post-processor}}{\Pi^h} \circ \Psi^h \circ \underset{\text{pre-processor}}{(\Pi^h)^{-1}}$$

$$\begin{aligned}
 (\hat{\Psi}^h)^n &= \Pi^h \circ \Psi^h \circ (\Pi^h)^{-1} \circ \Pi^h \circ \Psi^h \circ (\Pi^h)^{-1} \dots \circ \Pi^h \circ \Psi^h \circ (\Pi^h)^{-1} \\
 &= \Pi^h \circ (\Psi^h)^n \circ (\Pi^h)^{-1}
 \end{aligned}$$

Bsp Strang-Splitting:

$$\Psi^h = \Phi_a^{h/2} \circ \Phi_b^h \circ \Phi_a^{h/2} \cdot \mathbb{I} = \Phi_a^{h/2} \circ \Phi_b^h \circ \Phi_a^h \circ \underbrace{(\Phi_a^{h/2})^{-1}}_{\Phi_a^{h/2} \circ (\Phi_a^{h/2})^{-1}}$$

Lie-Trotter.

Leicht gestörte Probleme

$$\dot{y} = \underline{f_a}(y) + \varepsilon \underline{f_b}(y) \quad \text{mit } \underline{\varepsilon \text{ klein.}}$$

optimierte Splitting-Verfahren, klar

$$O(\varepsilon h^{r_1} + \varepsilon^2 h^{r_2} + \varepsilon^3 h^{r_3} + \dots)$$

mit $r_1 \geq r_2 + 1 \geq \dots$

$$\varepsilon h^4 + \varepsilon^2 h^2$$

§4 Runge-Kutta-Verfahren

§4.1. Grundidee

$$\begin{cases} \dot{y} = f(t, \underline{y}) \\ \underline{y}(t_0) = \underline{y}_0 \end{cases} \quad \int_{t_0}^t \Rightarrow \underline{y}(t_1) = \underline{y}(t_0) + \int_{t_0}^{t_1} f(t, \underline{y}(t)) dt$$

$h = t_1 - t_0$, Referenzintervall $[0, 1] \Rightarrow$

$$\underline{y}(t_1) = \underline{y}(t_0) + h \int_0^1 f(t_0 + hz, \underline{y}(t_0 + hz)) dz$$

QF mit Gewichten b_i , Knoten $c_i \in [0, 1] \Rightarrow$

$$\underline{y}(t_1) \approx \underline{y}(t_0) + h \sum_{i=1}^n b_i \underbrace{f(t_0 + hc_i, \underline{y}(t_0 + hc_i))}_{k_i}$$

$$\underline{y}(t_1) \approx \underline{y}(t_0) + h \sum_{i=1}^n b_i k_i$$

h erlaubt uns einen lokalen Fehler $O(h^{p+1})$ für $\underline{y}(t_1)$ zu bekommen, auch wenn für $\underline{y}(t_0 + hc_i)$ Approximationen $O(h^p)$ verwendet!

Bsp 1) QF = Trapezregel auf $[0, 1]$:

$$n=2, \quad c_1=0, \quad c_2=1, \quad b_1=b_2=\frac{1}{2} \Rightarrow$$

$$\underline{y}_1 = \underline{y}_0 + h \left(\frac{1}{2} f(\underbrace{t_0 + h \cdot 0}_{t_0}, \underbrace{y(t_0 + h \cdot 0)}_{y(t_0) = y_0}) + \frac{1}{2} f(\underbrace{t_0 + h \cdot 1}_{t_1}, \underbrace{y(t_0 + h \cdot 1)}_{y(t_1)}) \right)$$

Idee: verwende etwas Biliyeres für \nearrow

$$\underline{y}(t_0 + h) \approx \underline{y}_0 + h \underbrace{f(t_0, \underline{y}_0)}_{k_1} \quad (e \in \mathbb{E})$$

$$\begin{cases} \underline{k}_1 := \underline{f}(t_0, \underline{y}_0) \\ \underline{k}_2 := \underline{f}(t_0+h, \underline{y}_0+h\underline{k}_1) \end{cases}$$

explizite Trapezregel

$$\underline{y}_1 = \underline{y}_0 + h \cdot \frac{1}{2} \underline{k}_1 + h \cdot \frac{1}{2} \underline{k}_2$$

Bsp: QF = Mittelpunktsregel

$$\underline{y}_1 = \underline{y}_0 + h \underline{f}(t_0 + h \frac{1}{2}, \underline{y}(t_0 + h \frac{1}{2}))$$

(eE): $\underline{y}(t_0 + h \frac{1}{2}) = \underline{y}_0 + h \frac{1}{2} \underline{f}(t_0, \underline{y}_0)$

$\underbrace{\hspace{10em}}_{\underline{k}_1}$

$$\begin{cases} \underline{k}_1 := \underline{f}(t_0, \underline{y}_0) \\ \underline{k}_2 := \underline{f}(t_0 + \frac{h}{2}, \underline{y}_0 + \frac{h}{2} \underline{k}_1) \end{cases}$$

explizite Mittelpunktsregel

$$\underline{y}_1 = \underline{y}_0 + h \underline{k}_2$$

(iE) => implizite MPR ...

Def Runge-Kutta-Verfahren mit s Stufen:

Gegeben Butcher-Schema

| | |
|----------|---|
| c_1 | $\underline{A} \in \mathbb{R}^{s \times s}$ |
| c_2 | |
| \vdots | |
| c_s | |
| 1 | |

so dass $b_1 + b_2 + \dots + b_s = 1$

$$\sum_{j=1}^s a_{ij} = c_i \quad \text{für } i=1, 2, \dots, s$$

$$\begin{cases} \underline{k}_i = \underline{f}(t_0 + c_i h, \underline{y}_0 + h \sum_{j=1}^s a_{ij} \underline{k}_j) \end{cases} \text{ Stufen.}$$

für $i=1, 2, \dots, s$

← ein $(s \cdot d) \times (s \cdot d)$ nichtlineares

$$\underline{y}_1 = \underline{y}_0 + h \sum_{i=1}^s b_i \underline{k}_i$$

algebraisches Gleichungssystem

$$A = \begin{bmatrix} 0 & & & 0 \\ * & \ddots & & \\ & & \ddots & \\ & & & 0 \end{bmatrix} \quad a_{ij} = 0 \text{ f\u00fcr alle } i \leq j$$

\Rightarrow RK explizit

$$\underline{k}_i = f(t_0 + c_i h, y_0 + h \sum_{j=1}^{i-1} a_{ij} \underline{k}_j)$$

$$A = \begin{bmatrix} \diagdown & & & 0 \\ * & \diagdown & & \\ & & \ddots & \\ & & & \diagdown \end{bmatrix} \Rightarrow \text{diagonal implizite RK}$$

$$\underline{k}_i = f(t_0 + c_i h, y_0 + h \sum_{j=1}^{i-1} a_{ij} \underline{k}_j + h a_{ii} \underline{k}_i)$$

\hookrightarrow dxd nicht-lin. alg. Gleichung

$\underline{y} \in \mathbb{R}^d, \underline{k}_i \in \mathbb{R}^d, f: \mathbb{R} \times \mathbb{R}^d \rightarrow \mathbb{R}^d$
 $\underline{y} = f(t, \underline{y})$

Def Konsistenzordnung q wenn
 lokale Fehler $\|\underline{y}(t_0+h) - \underline{y}_1\| \leq c \cdot h^{q+1}$

Theorem

RK hat Konsistenzordnung $q \Rightarrow$
 QF hat Ordnung q .
 (ist exakt f\u00fcr Polynome vom Grad $\max(q-1)$)

Beweis Neme $\begin{cases} \dot{y} = t^n \\ y(0) = 0 \end{cases} \Rightarrow y(t) = \frac{1}{n+1} t^{n+1}$

Fehler: $|y(h) - y_1| = \left| \frac{1}{n+1} h^{n+1} - h \sum_{j=1}^n b_j (c_j h)^n \right|$

$\leq c \cdot h^{q+1} \Rightarrow$

Voraussetzung \nearrow

$$\left| \frac{1}{n+1} h^{n+1} - h^{n+1} \sum_{j=1}^n b_j c_j^n \right| \leq c \cdot h^{q+1} \quad | : h^{n+1} \Rightarrow$$

$$\left| \frac{1}{n+1} - \sum_{j=1}^n b_j c_j^n \right| \leq c \cdot h^{q-n} \xrightarrow{h \rightarrow 0} 0 \Rightarrow$$

solange $q > n$

Für $n=0, 1, 2, \dots, q-1$:

$$\frac{1}{n+1} = \sum_{j=1}^{\Delta} b_j c_j^n$$

\Leftrightarrow QF exakt für $p_n(t) = t^n$

Konsequenz RK mit Δ Stufen \Rightarrow max. Konsistenzordnung $\geq \Delta$

1) $\sum_{j=1}^{\Delta} b_j = 1 \Rightarrow$ mindestens Konsistenzordnung $q=1$

2) RK hat mindestens Konsistenzordnung $q=2$

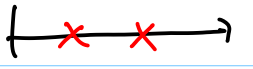
wenn $\sum_{j=1}^{\Delta} b_j c_j = \frac{1}{2}$

3) $q=3$ brauchen wir

$$\sum_{j=1}^{\Delta} b_j c_j^2 = \frac{1}{3}, \quad \sum_{j=1}^{\Delta} b_j \sum_{k=1}^{\Delta} a_{jk} c_k = \frac{1}{6}$$

usw.

Theorem RK explizit $\Rightarrow q \leq \Delta$

Gauss-Quadratur $\Rightarrow q=2\Delta$ 

Radau-Quadratur 

\hookrightarrow Radau-Verfahren für ODEs.

Lobatto-Quadratur 

\hookrightarrow Lobatto-Verfahren für ODEs.

Theorem

RK hat Konsistenzordnung $q \Rightarrow$
(globale) Konvergenzordnung q

$$\| \underline{y}(t_i) - \underline{y}_i \| \leq C \cdot h^q \text{ für alle } i=1, 2, \dots, n$$

($T = nh$)

§4.2. Kollokation

Def $c_1, c_2, \dots, c_n \in [0, 1]$ verschieden
Kollokationspolynom $u(t)$ von Grad n :

$$\left\{ \begin{array}{l} u(t_0) = y_0 \\ \dot{u}(t_0 + c_i h) = f(t_0 + c_i h, u(t_0 + c_i h)) \end{array} \right. \quad \text{für } i = 1, 2, \dots, n$$

Bsp 1) $n=1$ Polynom vom Grad 1:

$$u(t) = y_0 + (t - t_0)k$$

mit k so bestimmt dass:

$$\dot{u}(t_0 + c_1 h) = f(t_0 + c_1 h, u(t_0 + c_1 h))$$

$$c_1 = 0 \Rightarrow (eE)$$

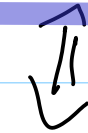
$$c_1 = 1 \Rightarrow (iE)$$

$$c_1 = \frac{1}{2} \Rightarrow (iNP)$$

2) $n=2$; $c_1=0, c_2=1 \Rightarrow$ implizite Trapezregel.

$$c_{1,2} = \frac{1}{2} \pm \frac{\sqrt{3}}{6} \Rightarrow \text{Gauss-Verfahren. (Oh}^4\text{)}$$

Theorem Die Kollokation mit n Knoten c_1, \dots, c_n



n -Stufiges RKV mit $a_{ij} = \int_0^{c_i} l_j(z) dz$

$$b_i = \int_0^1 l_i(z) dz$$

wobei

$$l_i(z) = \frac{(z - c_1)(z - c_2) \dots (z - c_n)}{(c_i - c_1)(c_i - c_2) \dots (c_i - c_n)} = \prod_{\substack{j=1 \\ j \neq i}}^n \frac{z - c_j}{c_i - c_j}$$

Lagrange Polynom.

$$l_i(c_j) = \begin{cases} 1, & i=j \\ 0, & i \neq j \end{cases}$$

Beweis $k_i = u(t_0 + c_i \cdot h)$

$$u(t_0 + \tau h) = \sum_{j=1}^p k_j l_j(\tau) \quad \int_0^{c_i} \Rightarrow$$

hat Grad $p-1$

$$u(t_0 + c_i \cdot h) = y_0 + h \sum_{j=1}^p k_j \int_0^{c_i} l_j(\tau) d\tau$$

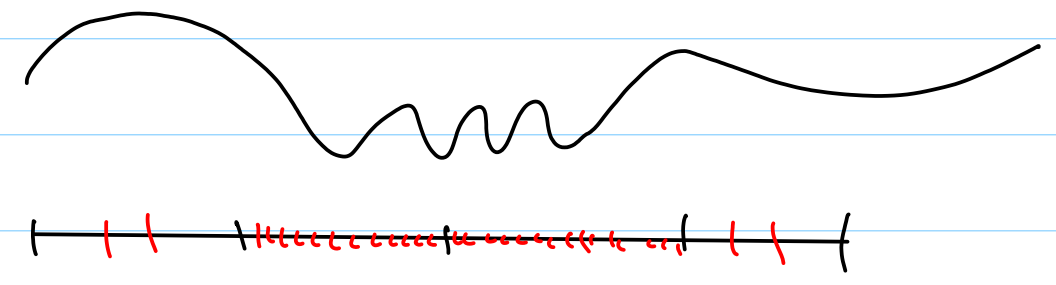
zwischen Stellen. $a_{i,j}$

$$\int_0^1 \Rightarrow u(t_0 + h) = y_0 + h \sum_{j=1}^p k_j \int_0^1 l_j(\tau) d\tau$$

b_j

Konsequenz Kollokationsmethode hat dieselbe Ordnung wie die entsprechende QF.

§4.3. Adaptivität



lokaler Fehler abschätzen:

$$\Phi - \Psi_h \Rightarrow \tilde{\Psi}_h - \Psi_h \text{ Schätzung des Fehler.}$$

$$\omega \rightarrow o(h^{p+1})$$

$$\tilde{\Psi}_h \text{ genauer} \rightarrow o(h^{p+2})$$

$$est_k = \left| \tilde{\Psi}^{t, t+h}(y(t_k)) - \Psi^{t, t+h}(y(t_k)) \right| \approx ch^{p+1} = tol$$

$$h^* = h \sqrt[p+1]{\frac{tol}{est_k}}$$

§4.4. Partitionierte RK-Verfahren

System ODE partitioniert:

$$\begin{cases} \dot{\underline{y}} = \underline{f}(\underline{y}, \underline{z}) \\ \dot{\underline{z}} = \underline{g}(\underline{y}, \underline{z}) \end{cases}$$

Idee: verwende 2 verschiedene RKV für \underline{y} und \underline{z} .

für \underline{y} $\begin{array}{c|c} c & \underline{A} \\ \hline 1 & \underline{b} \end{array}$ für \underline{z} $\begin{array}{c|c} \hat{c} & \hat{\underline{A}} \\ \hline 1 & \hat{\underline{b}} \end{array}$

$$\begin{cases} \underline{k}_i = f\left(\underline{y}_0 + h \sum_{j=1}^{\Delta} a_{ij} \underline{k}_j, \underline{z}_0 + h \sum_{j=1}^{\Delta} \hat{a}_{ij} \underline{l}_j\right) \\ \underline{l}_j = g\left(\underline{y}_0 + h \sum_{j=1}^{\Delta} a_{ij} \underline{k}_j, \underline{z}_0 + h \sum_{j=1}^{\Delta} \hat{a}_{ij} \underline{l}_j\right) \end{cases}$$

$$\underline{y}_1 = \underline{y}_0 + h \sum_{j=1}^{\Delta} b_j \underline{k}_j$$

$$\underline{z}_1 = \underline{z}_0 + h \sum_{j=1}^{\Delta} \hat{b}_j \underline{l}_j$$

Bsp 1)

(eE) : $b_1=1, a_{11}=1$
 (iE) : $b_1=1, \hat{a}_{11}=0$ } für Newton-Gleichung
 => symplektische Euler-Verfahren.

Bsp 2)

$\begin{array}{c|cc} 0 & 0 & 0 \\ 1 & \frac{1}{2} & \frac{1}{2} \\ \hline 1 & \frac{1}{2} & \frac{1}{2} \end{array}, \begin{array}{c|cc} \frac{1}{2} & \frac{1}{2} & 0 \\ \frac{1}{2} & \frac{1}{2} & 0 \\ \hline 1 & \frac{1}{2} & \frac{1}{2} \end{array}$ PRK für Newton-Gleichung
 => Störmer-Verlet

Verallgemeinerung vom Störmer-Verlet:

3-stufige Lobatto-Paar

$\begin{array}{c|ccc} 0 & 0 & 0 & 0 \\ \frac{1}{2} & \frac{5}{24} & \frac{1}{3} & -\frac{1}{24} \\ 1 & \frac{1}{6} & \frac{2}{3} & \frac{1}{6} \\ \hline 1 & \frac{1}{6} & \frac{2}{3} & \frac{1}{6} \end{array}, \begin{array}{c|ccc} 0 & \frac{1}{6} & -\frac{1}{6} & 0 \\ \frac{1}{2} & \frac{1}{6} & \frac{1}{3} & 0 \\ 1 & \frac{1}{6} & \frac{5}{6} & 0 \\ \hline 1 & \frac{1}{6} & \frac{2}{3} & \frac{1}{6} \end{array}$ $O(h^4)$

Bez Newton! Gleichung.

$$\dot{\underline{y}} = g(t, \underline{y}, \dot{\underline{y}})$$

Umschreiben:

$$\begin{cases} \dot{\underline{y}} = \underline{z} \\ \dot{\underline{z}} = g(t, \underline{y}, \underline{z}) \end{cases}$$

PRK \Rightarrow RK-Nyström-Verfahren (RKN)

$$\begin{cases} \underline{l}_i = g(t_i, \underline{y}_0 + c_i h \underline{z}_0 + h^2 \sum_{j=1}^{\Delta} \bar{a}_{ij} \underline{l}_j, \underline{z}_0 + h \sum_{j=1}^{\Delta} \hat{a}_{ij} \underline{l}_j) \\ \underline{y}_1 = \underline{y}_0 + h \left(\underline{z}_0 + h \sum_{i=1}^{\Delta} \bar{b}_i \underline{l}_i \right) \text{ mit } \bar{b}_i = \sum_{k=1}^{\Delta} b_k \hat{a}_{ki} \\ \underline{z}_1 = \underline{z}_0 + h \sum_{i=1}^{\Delta} \hat{b}_i \underline{l}_i \end{cases}$$

aus dem $\underline{k}_i = \dots$

$$\bar{a}_{ij} = \sum_{k=1}^{\Delta} a_{ik} \hat{a}_{kj}$$

Wenn g nicht von \dot{y} abhängt \Rightarrow braucht man \bar{a}_{kj} nicht.

Bez PRK = Splitting mit

$$\underline{u} = \begin{bmatrix} \underline{y} \\ \underline{z} \end{bmatrix}, \quad \underline{f}_a = \begin{bmatrix} f(\underline{u}) \\ 0 \end{bmatrix}, \quad \underline{f}_b = \begin{bmatrix} 0 \\ g(\underline{u}) \end{bmatrix}$$

\Rightarrow klar!

einfacher anzuwenden!

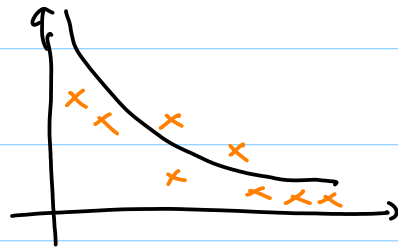
BM 42 mit $O(h^4)$

BM 63 mit $O(h^6)$

} symplektische Verfahren.

§5 Steife Differentialgleichungen

§5-1. Einführung.



Modelproblem: $\dot{y} = -\lambda y$ mit $\lambda > 0$
 $y(t) = e^{-\lambda t} y_0 \rightarrow 0$ für $t \rightarrow \infty$

Interesse: asymptotisches Verhalten der numerischen Lösung sollte qualitativ (zumindest) ähnlich der exakten Lösung sein.

(RE):

$$y_1 = y_0 + hf(y_0) = y_0 - \lambda h y_0 = (1 - \lambda h) y_0$$

$$y_2 = y_1 - \lambda h y_1 = (1 - \lambda h) y_1 = (1 - \lambda h)^2 y_0$$

...

$$y_N = (1 - \lambda h)^N y_0$$

$$|y_N| \rightarrow 0 \text{ nur wenn } |1 - \lambda h| < 1 \Leftrightarrow 0 < h < \frac{2}{\lambda}$$

Def ODE heißt steif, falls explizite Verfahren einen Zeitschritt h sehr klein brauchen, kleiner als die Genauigkeit verlangt!

Bsp $\frac{d}{dt} \begin{bmatrix} y_1 \\ y_2 \end{bmatrix} = \underbrace{\begin{bmatrix} -50 & 49 \\ 49 & -50 \end{bmatrix}}_{\underline{\underline{B}}} \begin{bmatrix} y_1 \\ y_2 \end{bmatrix}$

$$\underline{\dot{y}} = \underline{\underline{B}} \underline{y}$$

B symmetrisch \Rightarrow es gibt S (mit SS^T = I)
 dass

$$\underline{\underline{B}} = \underline{\underline{S}} \underline{\underline{D}} \underline{\underline{S}}^T$$

mit D = Diagonalmatrix.

$$\underline{\dot{y}} = \underline{\underline{S}} \underline{\underline{D}} \underline{\underline{S}}^T \underline{y} \Rightarrow \underline{\underline{S}}^T \underline{\dot{y}} = \underline{\underline{D}} \underline{\underline{S}}^T \underline{y} \Rightarrow \underline{\dot{z}} = \underline{\underline{D}} \underline{z}$$

$$\left\{ \begin{array}{l} \dot{z}_1 = \lambda_1 z_1 \\ \dots \\ \dot{z}_d = \lambda_d z_d \end{array} \right.$$

$$D = \begin{bmatrix} -1 & 0 \\ 0 & -99 \end{bmatrix}$$

$$\dot{z}_1 = -z_1 \Rightarrow h < 2$$

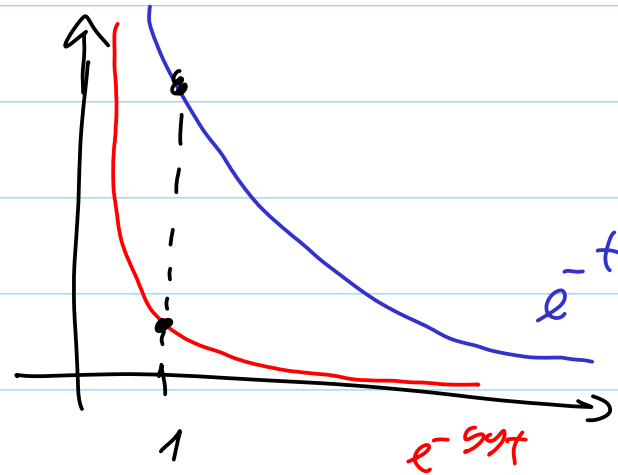
$$\dot{z}_2 = -99z_2 \Rightarrow h < \frac{2}{99}$$

Bei implizite Verfahren stellen keine Bedingung an h.

Bsp explizite Trapezregel:

$$(j = -\lambda y)$$

$$\begin{cases} y_1(t) = e^{-t} + e^{-99t} \\ y_2(t) = e^{-t} - e^{-99t} \end{cases}$$



$$\begin{cases} k_1 = -\lambda y_0 \\ k_2 = -\lambda(y_0 + h k_1) \end{cases}$$

$$k_2 = -\lambda y_0 - \lambda^2 h y_0$$

$$y_1 = y_0 + \frac{1}{2} h k_1 + \frac{1}{2} h k_2 = y_0 + (-\lambda h) y_0 + \frac{(\lambda h)^2}{2} y_0$$

$$y_1 = \underbrace{\left[1 - \lambda h + \frac{1}{2} (\lambda h)^2 \right]}_{S(\lambda h)} y_0$$

zur Zeit t=1: $y_1(1) = e^{-1} + e^{-99}$

sehr klein, irrelevant!

aber ein. expl. Verfahren will ein kleines h

↳ bestimmt durch e^{-99t}

$$y_N = (S(\lambda h))^N y_0 \rightarrow 0 \text{ nur wenn } |S(\lambda h)| < 1$$

(iE) $y_1 = y_0 + h f(y_1) = y_0 - \lambda h y_1 \Rightarrow$

$$\begin{cases} (1 + \lambda h) y_1 = y_0 \\ h > 0, \lambda > 0 \end{cases} \Rightarrow y_1 = \frac{1}{1 + \lambda h} y_0 \Rightarrow y_N = \left(\frac{1}{1 + \lambda h} \right)^N y_0 \rightarrow 0 \text{ as } N \rightarrow \infty$$

§ 5.2. Stabilität des RK-Verfahrens

Testproblem $\dot{y} = \lambda y$ mit $\lambda \in \mathbb{C}, \text{Re } \lambda < 0$

$$y(t) = e^{\lambda t} y_0$$



Falls $\lambda = \sigma i \Rightarrow y(t) = e^{\sigma t} y_0 = y_0 (\cos t + i \sin t)$

$\lambda = -1 + \sigma i \Rightarrow y(t) = e^{-t} y_0 (\cos t + i \sin t) \xrightarrow[t \rightarrow \infty]{} 0$

Numerisches Verfahren $y_N = S(\lambda h)^N y_0$

Frage: wann $|y_N| \rightarrow 0$ für $N \rightarrow \infty$?

$S(z)$ = Stabilitätsfunktion.

- (eE) $S(z) = 1 + z$
 - (iE) $S(z) = \frac{1}{1 - z}$
- (da wir jetzt $\dot{y} = +\lambda y$ notierten, in § 5.1 hatte ich $\dot{y} = -\lambda y$)

(eTR) $S(z) = 1 + z + \frac{1}{2} z^2$

RK-Verfahren mit ρ Stufen:

$$y_1 = y_0 + h \sum_{i=1}^{\rho} b_i k_i$$

$$\begin{cases} k_i = f(t_0 + c_i h, y_0 + h \sum_{j=1}^{\rho} a_{ij} k_j) & \text{für } j = \lambda y \\ i = 1, 2, \dots, \rho \end{cases}$$

$$\Rightarrow \begin{cases} k_i = \lambda y_0 + \underbrace{\lambda h}_{z} \sum_{j=1}^{\rho} a_{ij} k_j \\ i = 1, 2, \dots, \rho \end{cases} \quad \underline{k} = \begin{bmatrix} k_1 \\ \vdots \\ k_\rho \end{bmatrix}$$

$$\Rightarrow \underline{k} = \lambda y_0 \begin{bmatrix} 1 \\ 1 \\ \vdots \\ 1 \end{bmatrix} + z \underline{A} \underline{k} \iff$$

$$\left(\underline{I} - z \underline{A} \right) \underline{k} = \lambda y_0 \begin{bmatrix} 1 \\ 1 \\ \vdots \\ 1 \end{bmatrix}$$

$\underline{I} - z \underline{A}$ nicht invertierbar \implies

$\underline{\underline{I}} - z \underline{\underline{A}}$ invertierbar \Rightarrow

$$\underline{\underline{k}} = \lambda y_0 (\underline{\underline{I}} - z \underline{\underline{A}})^{-1} \begin{bmatrix} 1 \\ \vdots \\ 1 \end{bmatrix} \Rightarrow$$

$$y_1 = y_0 + \underbrace{h \lambda}_{z} y_0 \sum_{i=1}^n b_i \left((\underline{\underline{I}} - z \underline{\underline{A}})^{-1} \begin{bmatrix} 1 \\ \vdots \\ 1 \end{bmatrix} \right)_i$$

$$y_1 = y_0 \left(1 + z b^T (\underline{\underline{I}} - z \underline{\underline{A}})^{-1} \begin{bmatrix} 1 \\ \vdots \\ 1 \end{bmatrix} \right)$$

$$\Rightarrow S(z) = 1 + z b^T (\underline{\underline{I}} - z \underline{\underline{A}})^{-1} \begin{bmatrix} 1 \\ \vdots \\ 1 \end{bmatrix}$$

Stabilitätsfunktion des n -stufiges RkV.

$$y_1 = S(z) y_0 \quad \text{mit } z = \lambda h$$

$|y_N| \rightarrow 0$ für $N \rightarrow \infty$ nur wenn $|S(z)| < 1$

$|y_N| = |y_0|$ falls $|S(z)| = 1$

Theorem Die Stabilitätsfunktion eines n -stufiges RkV ist eine (komplexwertige) rationale Funktion

$$S(z) = \frac{P(z)}{Q(z)} \quad \text{mit } P, Q \text{ Polynome vom Grad } \leq n$$

und $Q(z) = 0$ für $z = \frac{1}{\mu}$ mit μ Eigenwert von $\underline{\underline{A}}$.
Falls RkV explizit, dann $Q(z) \equiv 1$.

Beweis explizite RkV: $\underline{\underline{A}} = \begin{bmatrix} 0 & \dots & 0 \\ * & \dots & 0 \end{bmatrix}$

$$\underline{\underline{A}}^n = \underline{\underline{A}} \cdot \underline{\underline{A}} \dots \underline{\underline{A}} = \begin{bmatrix} 0 & \dots & 0 \\ \vdots & \dots & \vdots \\ 0 & \dots & 0 \end{bmatrix}$$

$$(\underline{\underline{I}} - z \underline{\underline{A}})^{-1} = \underline{\underline{I}} + z \underline{\underline{A}} + (z \underline{\underline{A}})^2 + (z \underline{\underline{A}})^3 + \dots + \underbrace{(z \underline{\underline{A}})^n}_0 + \dots$$

$$= \underline{\underline{I}} + z \underline{\underline{A}} + z^2 \underline{\underline{A}}^2 + \dots + z^{n-1} \underline{\underline{A}}^{n-1}$$

= Polynom vom Grad $n-1$ in z .

$$\underline{v} = (\underline{I} - z \underline{A})^{-1} \begin{bmatrix} 1 \\ 1 \\ \vdots \\ 1 \end{bmatrix} \Rightarrow v_i(z) = \frac{p_D(z)}{\det(\underline{I} - z \underline{A})}$$

Cramer Regel.

$$Q(z) = 0 \Leftrightarrow \det(\underline{I} - z \underline{A}) = 0 \Leftrightarrow z = \frac{1}{\mu} \text{ mit } \mu \in \text{EW von } \underline{A}$$

Konsequenz

1) Falls $\frac{1}{\lambda h}$ nicht EW von \underline{A} ist, dann

$$y_n = S(\lambda h)^n y_0 \text{ mit } n=0,1,2,\dots$$

mit wohldefinierten Stabilitätsfunktion $S(z)$.

2) $y_0 = 1 \Rightarrow$ exakte Lösung $y(t) = e^{\lambda t}$
 num. Lösung $y_n = S(\lambda h)^n$

RKV hat Konvergenzordnung q :

$$\text{Fehler } |e^{nh\lambda} - S(\lambda h)^n| \in O(h^{q+1})$$

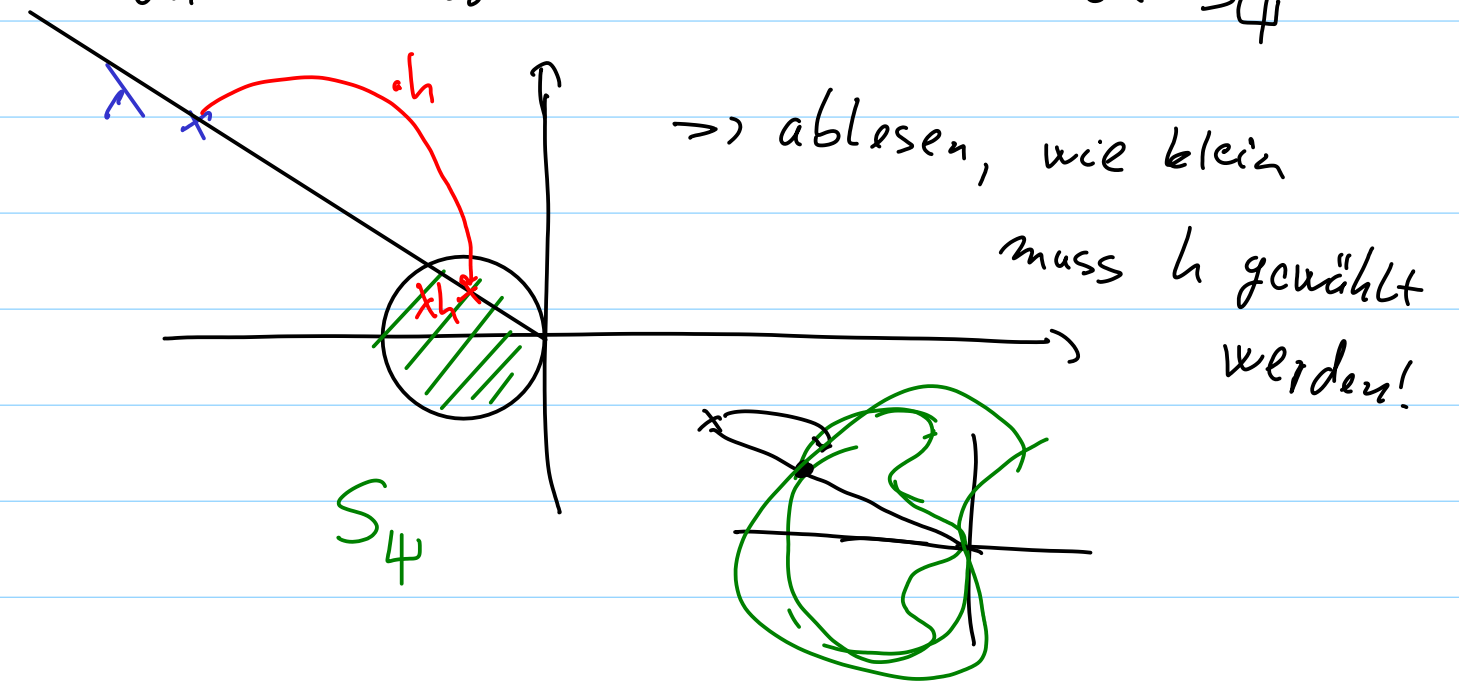
Somit ist $S(z)$ eine Approximation an e^z
 $|e^z - S(z)| \leq O(|z|^{q+1})$

Taylorpolynome von e^z und $S(z)$ um $z=0$ sind identisch bis zum Grad q .

Definition Stabilitätsgebiet des num. Verfahrens Ψ .

$$S_\Psi = \{ z \in \mathbb{C} \text{ so dass } |S(z)| < 1 \}$$

$$y_n = S(z)^n y_0 \rightarrow 0 \text{ nur wenn } z \in S_\Psi$$



Bez RK explizit $\Rightarrow S(z) = \text{Polynom}$ ist \Rightarrow
Stabilitätsgebiet beschränkt

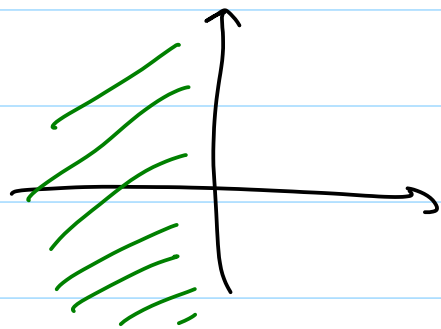
\Rightarrow immer eine Schreibe an h .

Bez ode45 / dopris verwenden explizite RK

$\Rightarrow S_{\psi}$ beschränkt \Rightarrow brauchen
kleines h .

Def Ein Verfahren heißt A-stabil falls

$$\{z \in \mathbb{C}; \operatorname{Re} z < 0\} \subset S_{\psi}$$



Bsp (iE) ist A-stabil

RK-Gauss Verfahren sind A-stabil.

(z.B. iMP)

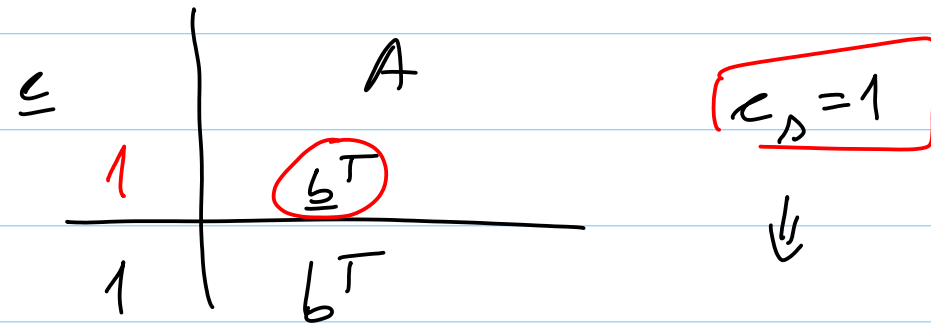
Bez $S(z) \approx e^z$; $z \rightarrow -\infty \Rightarrow e^z \rightarrow 0$

Frage $S(-\infty) = 0$?

Def Num. Verfahren heißt L-stabil falls

$$\lim_{z \rightarrow -\infty} S(z) = 0$$

Bez L-stabil falls $\underline{b}^T = a_{\Delta} = \text{letzte Zeile in } \underline{A}$



Radau-Verfahren (basieren auf Radau-Quadratur)

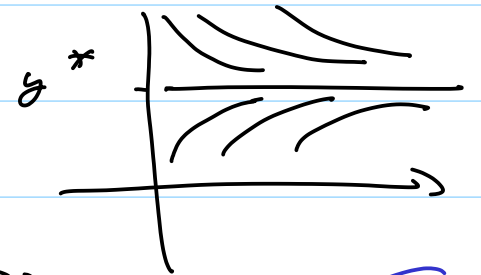
L-stabil und höchste Ordnung haben.

sind

(2D-1)

Radau-Verfahren von Ordnungen 3, 5 \rightarrow Skript

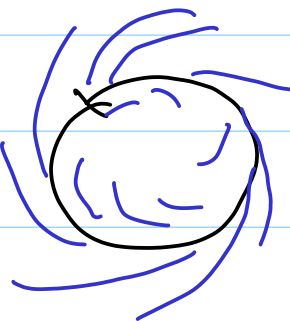
$$\underline{\dot{y}} = \underline{f}(\underline{y}) \quad \underline{f} \text{ nicht linear}$$



$\underline{y}^* \in \mathbb{R}^d$ heißt stationär $= \underline{f}(\underline{y}^*) = 0$

linearisiere (Taylor um \underline{y}^* von \underline{f})

$$\underline{\dot{z}} = \underline{Df}(\underline{y}^*) \underline{z} \quad \text{Testproblem!}$$



Ben implizite Rk: in jedem Zeitschritt ein nicht-lineares algebraisches System mit d.S. Gleichungen lösen (s. Stufen $\underline{k}_1, \dots, \underline{k}_s \in \mathbb{R}^d$)

TEUER mit fsolve $F(x) = 0$.

Ben Autonome ODE, in Rk:

$$\underline{k}_i = \underline{f} \left(\underline{y}_0 + h \sum_{j=1}^s a_{ij} \underline{k}_j \right)$$

Idee: linearisiere: $\left. \begin{array}{l} \\ \end{array} \right\}$ ersetzt durch.

$$\begin{matrix} \mathbb{R}^d & \mathbb{R}^d & \mathbb{R}^{d \times d} & \underbrace{\sum_{j=1}^s \mathbb{R}^d}_{\in \mathbb{R}^d} \\ \underline{k}_i = \underline{f}(\underline{y}_0) + h \underline{D} \underline{f}(\underline{y}_0) \left(\sum_{j=1}^s a_{ij} \underline{k}_j \right) \end{matrix}$$

ein grosses LGS $\mathbb{R}^{ds \times ds}$.

Bsp $\begin{cases} \dot{y} = \lambda y(1-y) & \lambda = 5 \\ y(0) = 0.1 \end{cases}$

Skript: man verliert eine Konvergenzordnung!
 (Newton: Ordnung 2)
 (linearisierte Rk: Ordnung 1)

Radau ^{mit $\lambda = 2$} + Newton $\Rightarrow O(h^3)$
 Radau ($\lambda = 2$) + Linearisierung $\Rightarrow O(h^2)$

Idee: Verwende ein Schritt Newton für $\underline{k} = \underline{f}(\underline{y}_0 + h \underline{k})$

Bsp ($i \in$) $\underline{y}_1 = \underline{y}_0 + h \underline{f}(\underline{y}_1)$
 $\underline{F}(\underline{z}) = \underline{z} - \underline{y}_0 - h \underline{f}(\underline{z})$

ein Schritt Newton für \underline{F} mit Startwert $\underline{z}_0 = \underline{y}_0$

$$z_1 = z_0 - \underline{DF}(z_0)^{-1} \underline{F}(z_0) \Rightarrow$$

$$\underline{y}_1 = \underline{y}_0 + \left[\underline{I} - \underline{Df}(z_0) \right]^{-1} h \underline{f}(z_0)$$

Wenn wir aber einen besseren Startpunkt für Newton haben, dann vielleicht auf bessere Konvergenz.

Ben Ordnung retten geht bei diagonal-impliziten Verfahren.

$$\underline{A} = \begin{bmatrix} & & & 0 \\ & \triangle & & \\ & & \triangle & \\ & & & \triangle \end{bmatrix} \Rightarrow \text{gestaffelten System:}$$

$$\begin{cases} \underline{k}_i = f \left(\underline{y}_0 + h \sum_{j=1}^i a_{ij} \underline{k}_j \right) \\ i=1,2,\dots,d \end{cases}$$

$$\underline{F}(\underline{k}) = \underline{k} - f \left(\underline{y}_0 + \underline{z} + h a_{ii} \underline{k} \right) \quad \underline{k} \in \mathbb{R}^d$$

wobei $\underline{z} = h \sum_{j=1}^{i-1} a_{ij} \underline{k}_j$

Newton-Schritt:

$$\underline{DF}(\underline{k}) = \underline{I} - \underline{Df}(\underline{y}_0 + \underline{z} + h a_{ii} \underline{k}) h a_{ii}$$

Startwert $\underline{k}^{(0)}$ in Newton:

$$\underline{k}_i^{(0)} = \sum_{j=1}^{i-1} \frac{d_{ij}}{a_{ij}} \underline{k}_j$$

Spezielle Wahl von a_{ij}, d_{ij} rettet die Konvergenzordnung.

linear-implizite RK Rosenbrock-Wanner-Methoden, ROW-Methoden.

$$\left(\underline{I} - h a_{ii} \underline{\partial} \right) \underline{k}_i = f \left(\underline{y}_0 + h \sum_{j=0}^{i-1} (a_{ij} + d_{ij}) \underline{k}_j \right) - h \underline{\partial} \sum_{j=1}^{i-1} d_{ij} \underline{k}_j$$

mit $\underline{\underline{\partial}} = \underline{\underline{D}} f \left(\underline{\underline{y}}_0 + h \sum_{j=1}^{i-1} (a_{ij} + d_{ij}) \underline{\underline{k}}_j \right)$

wie bei vereinfachten Newton
können wir darauf verzichten
⇒ günstiger.

⇒ Row 2 > adaptiven impliziten Verfahren.
Row 3
ode 23s

§6 Nichtlineare algebraische Gleichungen

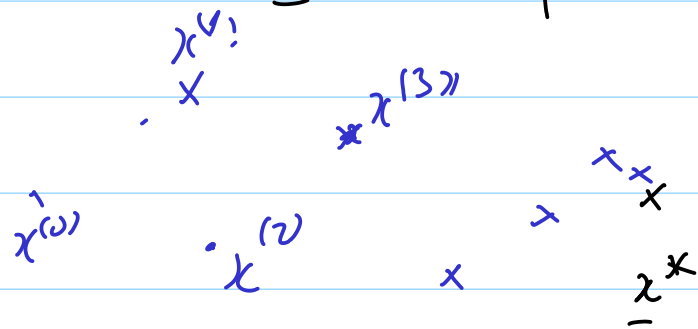
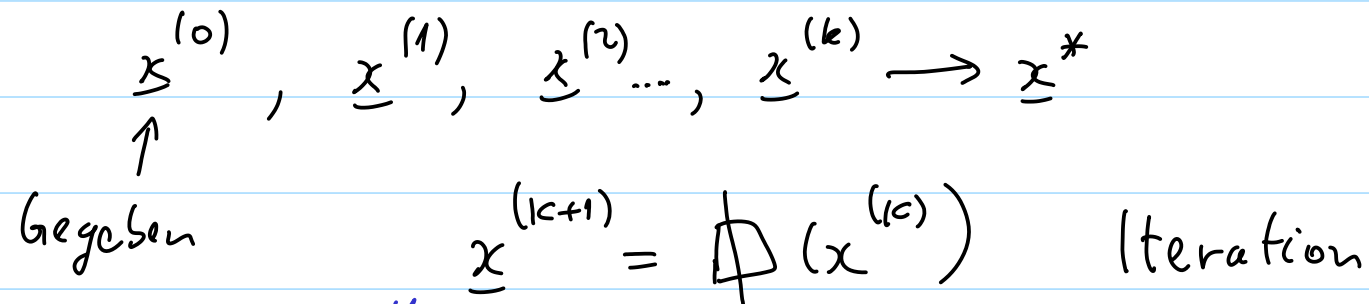
§6.1. Einführung

Finde $\underline{x}^* \in \mathbb{R}^d$ so dass $\underline{F}(\underline{x}^*) = 0$.

Bsp

$d=1 \quad F(x) = x e^x - 1$

Man baut eine Folge von Approximationen an \underline{x}^*



Def $\underline{x}^{(k+1)} = \Phi(\underline{x}^{(k)})$ heißt linear konvergent nach \underline{x}^* falls es gibt $L < 1$ so dass

$$\|\underline{x}^{(k+1)} - \underline{x}^*\| \leq L \|\underline{x}^{(k)} - \underline{x}^*\| \text{ für alle } k \in \mathbb{N}.$$

Bem $\|\underline{x}^{(k+1)} - \underline{x}^*\| \leq L \|\underline{x}^{(k)} - \underline{x}^*\| \leq L^2 \|\underline{x}^{(k-1)} - \underline{x}^*\| \leq \dots$

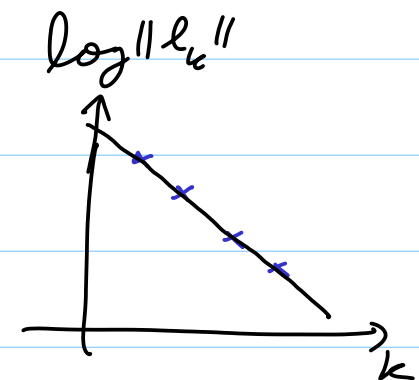
$$\leq L^{k+1} \|\underline{x}^{(0)} - \underline{x}^*\| \left. \begin{array}{l} \Rightarrow \text{Konvergenz} \\ \underline{x}^{(k+1)} \rightarrow \underline{x}^* \text{ in } \|\cdot\| \end{array} \right\}$$

$0 < L < 1$

Fehler $\underline{e}_k = \underline{x}^{(k)} - \underline{x}^*$

$$\log \|\underline{e}_k\| \leq k \log L + \log \|\underline{e}_0\|$$

Gerade mit Steigung $\log L$.

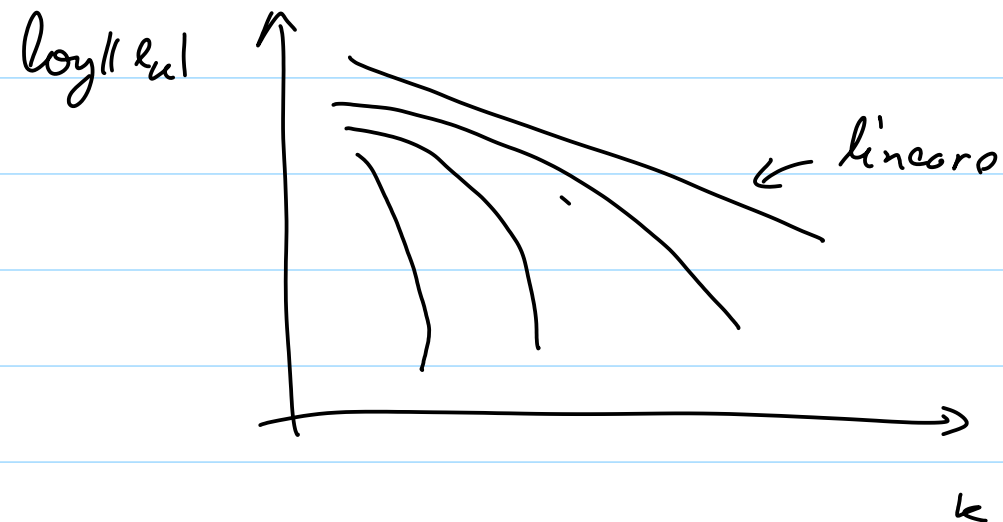


Def Konvergenz der Ordnung p des iteratives
Verfahrens,

es gibt eine $C > 0$ so dass

$$\| \underline{x}^{(k+1)} - \underline{x}^* \| \leq C \| \underline{x}^{(k)} - \underline{x}^* \|^p$$

für alle $k \in \mathbb{N}$ mit $C < 1$ für $p=1$.



§ 6.2. Fixpunktiteration

$$\underline{F}(\underline{x}^*) = 0 \Leftrightarrow \underline{x}^* = \underline{\Phi}(\underline{x}^*) \quad \text{Fixpunkt von } \underline{\Phi}$$

Falls (\underline{x}^k) konvergent \Rightarrow \underline{x}^* Lösung

Bsp 1) $x e^x - 1 = 0 \Leftrightarrow x e^x = 1 \Rightarrow x = e^{-x}$

$$\Phi_1(x) = e^{-x}$$

Starte mit $x^{(0)}$, $x^{(k+1)} = \Phi_1(x^{(k)})$

2) $x e^x - 1 = 0 \Leftrightarrow x e^x - 1 + x = x \Leftrightarrow x(e^x + 1) = x + 1 \Leftrightarrow$

$$\Leftrightarrow x = \frac{x+1}{e^x + 1}$$

$$\Phi_2(x) = \frac{x+1}{e^x + 1}$$

Starte mit $x^{(0)}$, $x^{(k+1)} = \Phi_2(x^{(k)})$

Wenn $\underline{\Phi}(\underline{x}^*) = \underline{x}^*$ für $\underline{x}^* \in U$, dann

konvergiert $\underline{x}^{(k+1)} = \underline{\Phi}(\underline{x}^{(k)})$ gegen \underline{x}^* lokal
mindestens linear.

Bez $\Phi: U \subset \mathbb{R} \rightarrow \mathbb{R}$ Φ $(n+1)$ -mal stetig diff bar
 $\Phi(x^*) = x^* \in U$

Taylor: $\Phi(y) = \Phi(x) + \sum_{k=1}^n \frac{1}{k!} \Phi^{(k)}(x) (y-x)^k + O(|y-x|^{n+1})$

Theorem Falls $\Phi^{(l)}(x^*) = 0$ für $l=1, 2, \dots, n \geq 1$
dann konvergiert die Fixpunktiteration

$\underline{x}^{(k+1)} = \underline{\Phi}(\underline{x}^{(k)})$ gegen x^* lokal

mit der Ordnung $p \geq n+1$.

Beweis Taylor für $x=x^*$, $y=x^{(k)}$ \Rightarrow

$$x^{(k+1)} - x^* = \Phi(x^{(k)}) - \Phi(x^*) = \sum_{j=1}^n \frac{1}{j!} \underbrace{\Phi^{(j)}(x^*)}_{=0} (x^{(k)} - x^*)^j + O(|x^{(k)} - x^*|^{n+1})$$

$$\Rightarrow |x^{(k+1)} - x^*| \leq C |x^{(k)} - x^*|^{n+1}$$

Bsp $\Phi_2(x) = \frac{x+1}{e^{x+1}}$

$$\Phi_2'(x) = \frac{e^x + 1 - (x+1)e^x}{(e^{x+1})^2} = \frac{1 - xe^x}{(e^{x+1})^2} \Rightarrow$$

$$\Phi_2'(x^*) = \frac{1 - x^* e^{x^*}}{(e^{x^*+1})^2} = 0 \quad \text{für } x^* \text{ die Nullstelle von } xe^x - 1.$$

$\Rightarrow \Phi_2$ gibt mindestens Konvergenzordnung 2.

§ 6.3. Abbruchkriterium

Wann brechen wir eine Iteration ab?

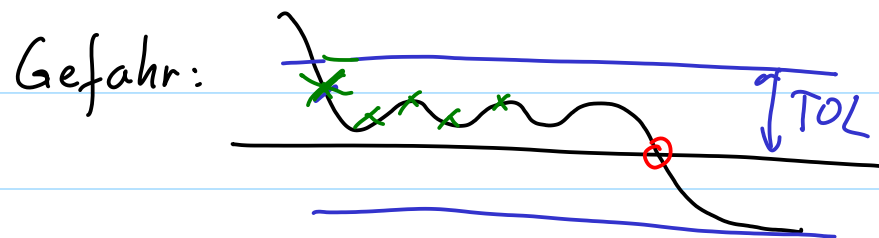
1) nach k_{max} Schritte: "a priori" Abbruchkriterium.

2) "a posteriori" ideal: $\| \underline{x}^{(k)} - \underline{x}^* \| \leq TOL$ ☹️

$$\| \underline{x}^{(k+1)} - \underline{x}^{(k)} \| < TOL \Rightarrow \text{Abbruch}$$

oder verwende Residuum

$$\| F(\underline{x}^{(k)}) \| < TOL \Rightarrow \text{Abbruch}$$



Wenn wir Informationen über die Konvergenzrate der Iteration, dann bessere Kriterien!

Bsp lineare Konvergenz mit der Rate L

$$\| \underline{x}^{(k+1)} - \underline{x}^* \| \leq L \| \underline{x}^{(k)} - \underline{x}^* \| \leq L \| \underline{x}^{(k+1)} - \underline{x}^* \| + L \| \underline{x}^{(k)} - \underline{x}^{(k+1)} \|$$

\uparrow
 $\pm \underline{x}^{(k+1)}$

$$\Rightarrow (1-L) \| \underline{x}^{(k+1)} - \underline{x}^* \| \leq L \| \underline{x}^{(k)} - \underline{x}^{(k+1)} \| \Rightarrow$$

$$\| \underline{x}^{(k+1)} - \underline{x}^* \| \leq \frac{L}{1-L} \| \underline{x}^{(k)} - \underline{x}^{(k+1)} \| \text{ da } 0 < L < 1$$

\Rightarrow Abbruchkriterium:

$$\| \underline{x}^{(k)} - \underline{x}^{(k+1)} \| \leq \frac{1-L}{L} \cdot TOL \Rightarrow \| \underline{x}^{(k+1)} - \underline{x}^* \| \leq TOL$$

Abbruch!

Falls L unbekannt, verwende ein geschätztes $\tilde{L} > L$

Bem. Bei der Berechnung Fehler $\epsilon_k = \| \underline{x}^{(k)} - \underline{x}^* \|$

$$\epsilon_{k+1} \approx L \epsilon_k \Rightarrow \log \epsilon_{k+1} \approx \log L + \log \epsilon_k$$

$$\Rightarrow \log L \approx \frac{\log \epsilon_{k+1}}{\log \epsilon_k}$$

oder $\approx \frac{\| \underline{x}^{(k)} - \underline{x}^{(N)} \|}{\| \underline{x}^{(k-1)} - \underline{x}^{(N)} \|}$

2) Konvergenzordnung p aus Experiment erraten:

$$\left. \begin{aligned} \varepsilon_{k+1} &\approx C \varepsilon_k^p \Rightarrow \log \varepsilon_{k+1} \approx \log C + p \log \varepsilon_k \\ \log \varepsilon_k &\approx \log C + p \log \varepsilon_{k-1} \end{aligned} \right\} \begin{aligned} &(\Rightarrow) \\ &(\Rightarrow) \end{aligned}$$

$$\Rightarrow \log \varepsilon_{k+1} - \log \varepsilon_k \approx p (\log \varepsilon_k - \log \varepsilon_{k-1})$$

$\Rightarrow p \approx \dots$

Ersetze die komplizierte Funktion F durch eine einfachere, z.B. durch eine lineare Funktion (\Rightarrow Linearisierung!)

Linearisierte lokal! \Rightarrow Tangente + Neustart

$$F \approx \tilde{F} \text{ mit } \tilde{F}(x) \text{ einfacher}$$

Newton $\quad \tilde{F}(x) = \underline{F}(x^{(0)}) + \underline{DF}(x^{(0)})(x - x^{(0)})$

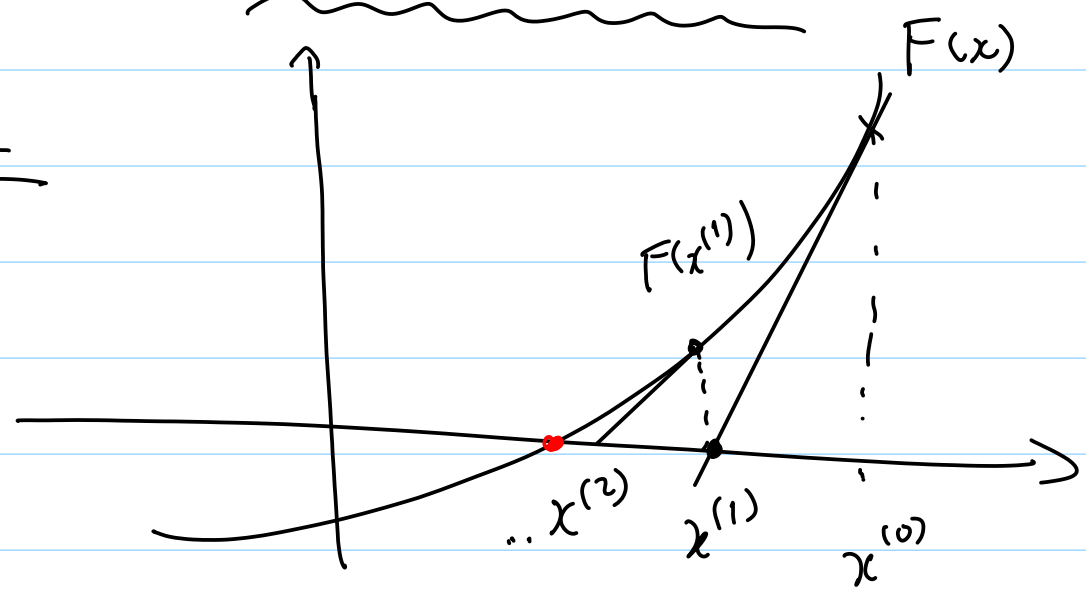
Statt $F(x)=0$ löse $\tilde{F}(x)=0 \Leftrightarrow$

$$\underline{F}(x^{(0)}) + \underline{DF}(x^{(0)})(x - x^{(0)}) = 0 \quad (\Rightarrow)$$

$\{ \text{LGS in unbekanntem } x$

§ 6.4 Newton-Verfahren

Idee



LGS: $\underline{DF}(x^{(0)}) \underline{x}^{(1)} = - \underline{F}(x^{(0)}) + \underline{DF}(x^{(0)}) \underline{x}^{(0)}$

Und starte von diesem $x^{(1)}$ wieder \Rightarrow

Newton-Iteration:

gegeben $\underline{x}^{(0)}$
 für $k=0, 1, 2, \dots$:
 $\underline{x}^{(k+1)} = \underline{x}^{(k)} - \underline{DF}(\underline{x}^{(k)})^{-1} \underline{F}(\underline{x}^{(k)})$

Bem

Berechne niemals die Inverse einer Matrix.

Sondern löse nur LGS

→ Gauss-Elimination; LU-Zerlegung

→ Cholesky-Zerlegung; QR-Zerlegung

* sympy + lambdify

* Wohl vom Startwert + gedämpftes Newton-Verfahren.

* vereinfachtes Newton-Verfahren.

Theorem

Newton-Verfahren konvergiert mit Ordnung

p=2 (Lokal)

Bem In jedem Schritt muss man ein LGS

lösen:

$$\underline{x}^{(k+1)} = \underline{x}^{(k)} - \underline{D} f(x^{(k)})^{-1} f(x^{(k)})$$

$$\underline{x}^{(k+1)} = \underline{x}^{(k)} - \underline{\Delta}^{(k)}$$

$$\underline{\Delta}^{(k)} = \underline{x}^{(k+1)} - \underline{x}^{(k)}$$

Beweis

d=1 → $\underline{x}^{(k+1)} = \underline{x}^{(k)} - f'(x^{(k)})^{-1} f(x^{(k)})$

Das ist eine Fixpunktiteration

$$x^* = \Phi(x^*) \text{ mit } \Phi(x) = x - f'(x)^{-1} f(x)$$

Newton Iteration für $f(x^*)=0$

$$\Phi'(x) = 1 - \frac{f'(x)f'(x) - f(x)f''(x)}{(f'(x))^2} = 1 - 1 + \frac{f(x)f''(x)}{(f'(x))^2} \Rightarrow$$

$$\Rightarrow \Phi'(x^*) = \frac{f(x^*)f''(x^*)}{(f'(x^*))^2} = 0 \text{ falls } f'(x^*) \neq 0. \Rightarrow p=2.$$

$$\underline{D} f(x^{(k)}) \underline{\Delta}^{(k)} = f(x^{(k)})$$

$$f(x^*) = 0$$

$$\underline{D} f(x^{(k)}) \in \mathbb{R}^{d \times d}$$

teuer nach k Schritten

$$\underline{\partial} f(x^{(k)}) = \underline{D} f(x^{(k)})$$

$$\underline{\partial} = \underline{L} \underline{U}$$

kostet $O(d^3)$ Schritte

Idee: Wiederverwendung von J für mehrere Newton-Schritte

J = L U ein mal, dann verwende die Faktoren L und U auch für die nächsten Schritte

(0) $k = 1, 2, 3, \dots$

Vereinfachte Newton:

J = D f(x⁽⁰⁾) $\rightarrow O(d^3)$
J = L U (L, U = Lu-factor(J))

für $k = 0, 1, 2, \dots$

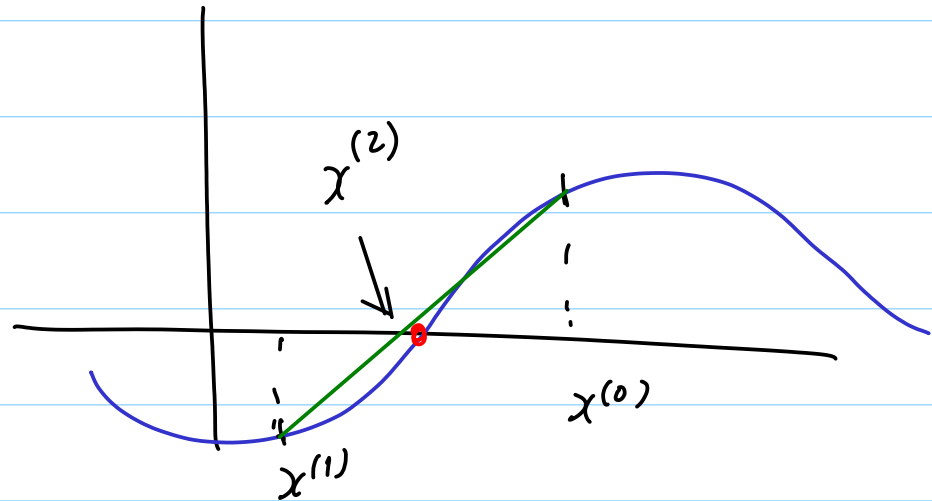
löse L U Δ = f(x^(k)) $\text{nur } O(d^2)$

x^(k+1) = x^(k) + Δ^(k)

Typischerweise bekommt man nur lineare Konvergenz

Bem Was tun wenn Df(x) nicht bekannt?

1D



Idee: verwende statt Tangente eine andere Gerade, z.B. eine Sekante.

Bräuchon jetzt 2 Startwerte: $x^{(0)}, x^{(1)}$

$f'(x^{(k)}) \approx \frac{f(x^{(k)}) - f(x^{(k-1)})}{x^{(k)} - x^{(k-1)}}$

update: $x^{(k+1)} = x^{(k)} - \Delta$ mit

$\Delta = \frac{x^{(k)} - x^{(k-1)}}{f(x^{(k)}) - f(x^{(k-1)})} f(x^{(k)})$

Allgemein: d Dimensionen:

$$\underline{J}_k (\underline{x}^{(k)} - \underline{x}^{(k-1)}) = f(\underline{x}^{(k)}) - f(\underline{x}^{(k-1)})$$

\swarrow $d \times d$ \searrow $\in \mathbb{R}^d$

Bez Viele mögliche \underline{J}_k erfüllen das!

Broyden: baue \underline{J}_k iterativ

$$\underline{J}_k = \underline{J}_{k-1} + \frac{1}{\|\underline{x}^{(k)} - \underline{x}^{(k-1)}\|_2^2} \underbrace{f(\underline{x}^{(k)}) (\underline{x}^{(k)} - \underline{x}^{(k-1)})^T}_{\text{Matrix}}$$

Vorteil: man muss f nur ein Mal auswerten!

Broyden-Verfahren:

$\underline{x}^{(0)}$ gegeben

$$\underline{J}_0 = \underline{D}f(\underline{x}^{(0)})$$

für $k = 0, 1, 2, \dots$:

löse $\underline{J}_k \underline{\Delta} = f(\underline{x}^{(k)})$ teuer

$$\underline{x}^{(k+1)} = \underline{x}^{(k)} - \underline{\Delta}$$

$$\underline{J}_{k+1} = \underline{J}_k + \frac{1}{\|\underline{\Delta}\|_2^2} f(\underline{x}^{(k+1)}) (-\underline{\Delta})^T$$

Man kann beweisen $\lim_{k \rightarrow \infty} \frac{\|\underline{x}^{(k+1)} - \underline{x}^*\|}{\|\underline{x}^{(k)} - \underline{x}^*\|} = 0$

d.h. superlineare Konvergenz.

Bessere Implementierung via Sherman-Morrison-Formel

$$\underline{J}_{k+1} = \underline{J}_k + \text{Rang-1-Matrix.}$$

$$\left(\underline{A} + \underline{u} \underline{v}^T\right)^{-1} = \underline{A}^{-1} - \frac{\underline{A}^{-1} \underline{u} \underline{v}^T \underline{A}^{-1}}{1 + \underline{v}^T \underline{A}^{-1} \underline{u}}$$

(einfach überprüfen!)

Rang-1-update braucht nur \underline{A}^{-1}

In jedem Schritt:

$$\underline{J}_{k+1}^{-1} = \underline{J}_k^{-1} + \frac{\underline{J}_k^{-1} f(\underline{x}^{(k+1)}) \underline{\Delta}^T \underline{J}_k^{-1}}{\|\underline{\Delta}\|^2 - \underline{\Delta}^T \underline{J}_k^{-1} f(\underline{x}^{(k+1)})}$$

Iteration: $\underline{J}_0 = \underline{D}f(\underline{x}^{(0)})$

zerlege $\underline{J}_0 = \underline{L} \underline{U}$

löse $\underline{L} \underline{U} \underline{\Delta}^{(0)} = f(\underline{x}^{(0)})$

$$\underline{x}^{(1)} = \underline{x}^{(0)} - \underline{\Delta}^{(0)}$$

$$\underline{J}_1^{-1} = \underline{J}_0^{-1} + \frac{\underline{J}_0^{-1} f(\underline{x}^{(1)}) \underline{\Delta}^{(0)T} \underline{J}_0^{-1}}{\|\underline{\Delta}^{(0)}\|^2 - \underline{\Delta}^{(0)T} \underline{J}_0^{-1} f(\underline{x}^{(1)})}$$

$$\underline{x}^{(2)} = \underline{x}^{(1)} - \underline{J}_1^{-1} f(\underline{x}^{(1)})$$

$$\underline{\Delta}^{(1)} = \underline{J}_1^{-1} f(\underline{x}^{(1)})$$

$$= \boxed{\underline{J}_0^{-1} f(\underline{x}^{(1)})} + \frac{\boxed{\underline{J}_0^{-1} f(\underline{x}^{(1)})} \underline{\Delta}^{(0)T} \boxed{\underline{J}_0^{-1} f(\underline{x}^{(1)})}}{\|\underline{\Delta}^{(0)}\|^2 - \underline{\Delta}^{(0)T} \boxed{\underline{J}_0^{-1} f(\underline{x}^{(1)})}}$$

$\underline{w} = \underline{J}_0^{-1} f(\underline{x}^{(1)})$ berechnet man als Lösung
 von $\underline{J}_0 \underline{w} = f(\underline{x}^{(1)})$ [ZGS]

$$z = \underline{J}^{(0)T} \underline{w} \in \mathbb{R}$$

$$\underline{J}^{(1)} = \underline{w} + \frac{\underline{w} z}{\|\underline{J}^{(0)}\|^2 - z} = \left(1 + \frac{z}{\|\underline{J}^{(0)}\|^2 - z}\right) \underline{w}$$

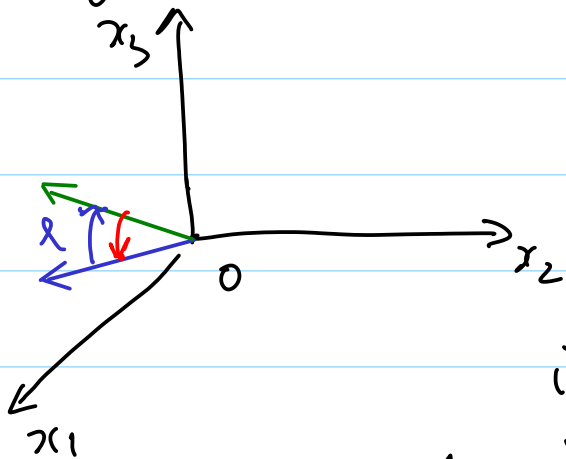
$$\underline{x}^{(2)} = \underline{x}^{(1)} - \underline{J}^{(1)}$$

* code

§7. Intermezzo über Lineare Algebra

§7.1 Orthogonale Matrizen

Drehung in der x_1, x_3 - Ebene

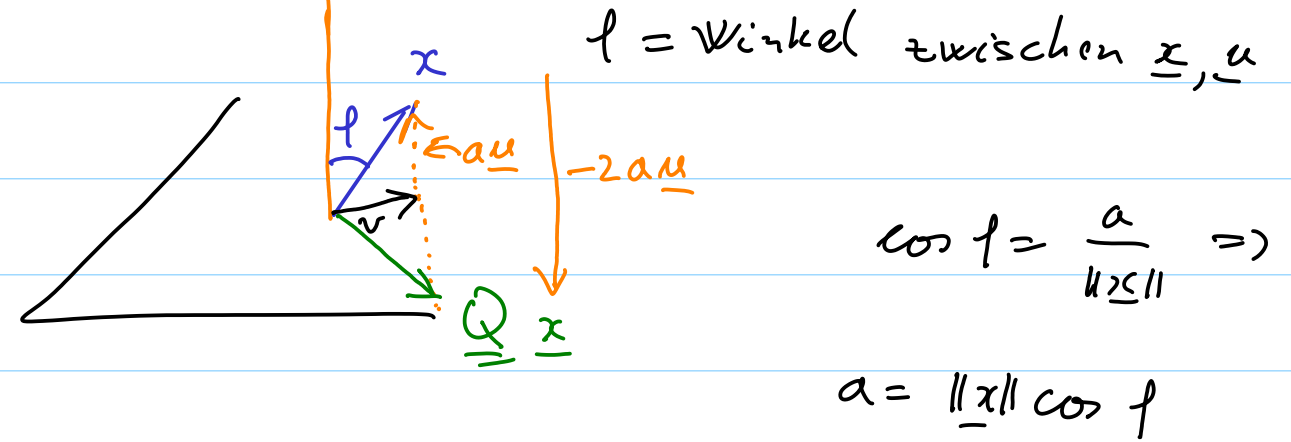


$$D(\varphi) = \begin{bmatrix} \cos \varphi & 0 & +\sin \varphi \\ 0 & 1 & 0 \\ -\sin \varphi & 0 & \cos \varphi \end{bmatrix}$$

$$D_{ij}(-\varphi) = \begin{bmatrix} 1 & & & \\ & 1 & & \\ & & \cos \varphi & +\sin \varphi \\ & & -\sin \varphi & \cos \varphi \\ & & & & 1 \end{bmatrix} \begin{matrix} \leftarrow i \\ \leftarrow j \end{matrix}$$

Spiegelung

$\underline{u} \perp \text{Ebene}, \|\underline{u}\|_2 = 1$



$$\cos \varphi = \frac{a}{\|\underline{x}\|} \Rightarrow$$

$$a = \|\underline{x}\| \cos \varphi$$

$$Q\underline{x} = \underline{x} + (-2a\underline{u}) = \underline{x} - 2a\underline{u}$$

$$\underline{u}^T \underline{x} = \langle \underline{u}, \underline{x} \rangle = \|\underline{u}\| \|\underline{x}\| \cos \varphi = \|\underline{u}\| \cdot a = a$$

$$Q\underline{x} = \underline{x} - 2(\underline{u}^T \underline{x}) \underline{u} = \underline{x} - 2\underline{u}(\underline{u}^T \underline{x}) = \underline{x} - 2(\underline{u}\underline{u}^T) \underline{x} = (\underline{I} - 2\underline{u}\underline{u}^T) \underline{x}$$

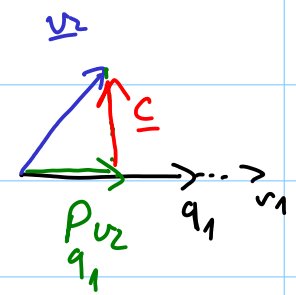
$$Q = \underline{I} - 2\underline{u}\underline{u}^T = \underline{I} - 2\underbrace{\underline{u}\underline{u}^T}_{\underline{P}_u} \text{ Householdermatrix}$$

§7.2 QR-Zerlegung

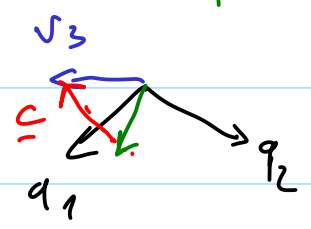
(I) via (modifizierten) Gram-Schmidt

$$\underline{A} = [\underline{v}_1 \ \underline{v}_2 \ \dots \ \underline{v}_n] \rightsquigarrow \underline{q}_1 \dots \underline{q}_n \text{ ONB}$$

$$\underline{q}_1 = \frac{1}{\|\underline{v}_1\|} \underline{v}_1 \Rightarrow \underline{v}_1 = \|\underline{v}_1\| \underline{q}_1 = \langle \underline{q}_1, \underline{v}_1 \rangle \underline{q}_1$$



$$\underline{c}_2 = \underline{v}_2 - P_{\underline{q}_1} \underline{v}_2 = \underline{v}_2 - \langle \underline{q}_1, \underline{v}_2 \rangle \underline{q}_1$$



$$\underline{q}_2 = \frac{1}{\|\underline{c}_2\|} \underline{c}_2$$

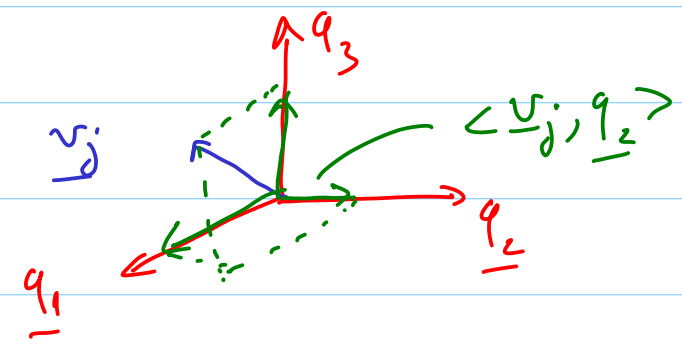
$$\underline{c}_3 = \underline{v}_3 - P_{\text{span}\{\underline{q}_1, \underline{q}_2\}} \underline{v}_3 = \underline{v}_3 - \langle \underline{q}_1, \underline{v}_3 \rangle \underline{q}_1 - \langle \underline{q}_2, \underline{v}_3 \rangle \underline{q}_2$$

$$\underline{q}_3 = \frac{1}{\|\underline{c}_3\|} \underline{c}_3$$

...

$$\underline{c}_k = \underline{v}_k - P_{\text{span}\{\underline{q}_1, \dots, \underline{q}_{k-1}\}} \underline{v}_k = \underline{v}_k - \langle \underline{q}_1, \underline{v}_k \rangle \underline{q}_1 - \dots - \langle \underline{q}_{k-1}, \underline{v}_k \rangle \underline{q}_{k-1}$$

$$\underline{q}_k = \frac{1}{\|\underline{c}_k\|} \underline{c}_k$$



$$\underline{v}_1 = \langle \underline{q}_1, \underline{v}_1 \rangle \underline{q}_1 + 0 \underline{q}_2 + \dots + 0 \underline{q}_n$$

$$\underline{v}_2 = \langle \underline{q}_1, \underline{v}_2 \rangle \underline{q}_1 + \langle \underline{q}_2, \underline{v}_2 \rangle \underline{q}_2 + 0 \underline{q}_3 + \dots + 0 \underline{q}_n$$

$$\underline{v}_3 = \langle \underline{q}_1, \underline{v}_3 \rangle \underline{q}_1 + \langle \underline{q}_2, \underline{v}_3 \rangle \underline{q}_2 + \langle \underline{q}_3, \underline{v}_3 \rangle \underline{q}_3 + 0 \underline{q}_4 + \dots + 0 \underline{q}_n$$

...

$$\underline{v}_k = \langle \underline{q}_1, \underline{v}_k \rangle \underline{q}_1 + \langle \underline{q}_2, \underline{v}_k \rangle \underline{q}_2 + \dots + \langle \underline{q}_k, \underline{v}_k \rangle \underline{q}_k + 0 \underline{q}_{k+1} + \dots + 0 \underline{q}_n$$

Im k-ten Schritt:

$$\underline{v}_k = (q_1^H \underline{v}_k) \underline{q}_1 + (q_2^H \underline{v}_k) \underline{q}_2 + \dots + (q_k^H \underline{v}_k) \underline{q}_k$$

\underline{v}_k = lineare Kombination von $\underline{q}_1, \dots, \underline{q}_k$
mit Koeff. $(q_1^H \underline{v}_k), \dots, (q_k^H \underline{v}_k) \in \mathbb{C}$

$$\underline{v}_k = \begin{bmatrix} \underline{q}_1 & \dots & \underline{q}_k \end{bmatrix} \begin{bmatrix} \vdots \\ \vdots \\ \vdots \end{bmatrix}$$

$$\underline{v}_2 = \begin{bmatrix} \underline{q}_1 & \underline{q}_2 \end{bmatrix} \begin{bmatrix} q_1^H \underline{v}_2 \\ q_2^H \underline{v}_2 \end{bmatrix}$$

$$\begin{bmatrix} \underline{v}_1 & \underline{v}_2 & \dots & \underline{v}_k \end{bmatrix} = \begin{bmatrix} \underline{q}_1 & \dots & \underline{q}_k \end{bmatrix} \begin{bmatrix} q_1^H \underline{v}_1 & q_1^H \underline{v}_2 & \dots & q_1^H \underline{v}_k \\ \vdots & \vdots & \ddots & \vdots \\ q_2^H \underline{v}_1 & q_2^H \underline{v}_2 & \dots & q_2^H \underline{v}_k \\ \vdots & \vdots & \ddots & \vdots \\ q_k^H \underline{v}_1 & q_k^H \underline{v}_2 & \dots & q_k^H \underline{v}_k \end{bmatrix}$$

$$\begin{bmatrix} \underline{A}_{=k} \end{bmatrix} = \begin{bmatrix} \underline{Q}_{=k} \end{bmatrix} \begin{bmatrix} * \\ \vdots \\ 0 \end{bmatrix}$$

↳ Spalten sind orthonormale Vektoren

Nach n Schritte:

$$\begin{bmatrix} \underline{v}_1 & \dots & \underline{v}_n \end{bmatrix} = \begin{bmatrix} \underline{q}_1 & \dots & \underline{q}_n \end{bmatrix} \begin{bmatrix} * \\ \vdots \\ 0 \end{bmatrix}$$

$i \downarrow$
 $r_{ij} = q_j^H \underline{v}_i$
 $\leftarrow j$

$$\begin{bmatrix} \underline{v}_1 & \underline{v}_2 \end{bmatrix} = \begin{bmatrix} \underline{q}_1 & \underline{q}_2 \end{bmatrix} \underbrace{\begin{bmatrix} r_{11} & r_{12} \\ 0 & r_{22} \end{bmatrix}}_{\underline{R}} \underline{R}^{-1}$$

Bez GS ~ Multiplikation mit oberen Dreiecksmatrix

$$\underline{A} \underbrace{\underline{R}_1 \underline{R}_2 \dots \underline{R}_n}_{\underline{R}^{-1}} = \underline{Q} \Rightarrow \underline{A} = \underline{Q} \underline{R}$$

$$r_{ij} = \underline{q}_i^H \underline{v}_j$$

$$\begin{bmatrix} \underline{v}_1 & \underline{v}_2 \end{bmatrix} \begin{bmatrix} \frac{1}{r_{11}} & -\frac{r_{12}}{r_{11}} \\ 0 & 1 \end{bmatrix} \begin{bmatrix} 1 & 0 \\ 0 & \frac{1}{r_{22}} \end{bmatrix} = \begin{bmatrix} \underline{q}_1 & \underline{q}_2 \end{bmatrix}$$

$$\underline{R}_1 = \begin{bmatrix} \frac{1}{r_{11}} & -\frac{r_{12}}{r_{11}} & \dots & -\frac{r_{1n}}{r_{11}} \\ 0 & 1 & 0 & 0 \\ \vdots & & \ddots & \\ 0 & 0 & \dots & 0 & 1 \end{bmatrix}$$

$$\begin{bmatrix} \underline{v}_1 & \underline{v}_2 & \underline{v}_3 \end{bmatrix} = \begin{bmatrix} \underline{q}_1 & \underline{q}_2 & \underline{q}_3 \end{bmatrix} \begin{bmatrix} r_{11} & r_{12} & r_{13} \\ 0 & r_{22} & r_{23} \\ 0 & 0 & r_{33} \end{bmatrix} \underline{R}^{-1}$$

$$\underline{R}_2 = \begin{bmatrix} 1 & 0 & \dots & 0 \\ 0 & \frac{1}{r_{22}} & -\frac{r_{23}}{r_{22}} & \dots & -\frac{r_{2n}}{r_{22}} \\ \vdots & \vdots & \vdots & \ddots & \vdots \\ 0 & 0 & 1 & \dots & 0 \\ \vdots & \vdots & \vdots & \dots & \vdots \\ 0 & 0 & 0 & \dots & 1 \end{bmatrix}$$

$$\begin{bmatrix} \underline{v}_1 & \underline{v}_2 & \underline{v}_3 \end{bmatrix} \begin{bmatrix} \frac{1}{r_{11}} & -\frac{r_{12}}{r_{11}} & -\frac{r_{13}}{r_{11}} \\ 0 & 1 & 0 \\ 0 & 0 & 1 \end{bmatrix} \begin{bmatrix} 1 & 0 & 0 \\ 0 & \frac{1}{r_{22}} & -\frac{r_{23}}{r_{22}} \\ 0 & 0 & 1 \end{bmatrix} = \begin{bmatrix} \underline{q}_1 & \underline{q}_2 & \underline{q}_3 \end{bmatrix}$$

$$\underline{R}_3 = \begin{bmatrix} 1 & & & 0 \\ & 1 & & \\ & & \frac{1}{r_{33}} & \\ 0 & & & 1 & & 0 \\ & & & & \ddots & \\ & & & & & 1 & & 0 \end{bmatrix}$$

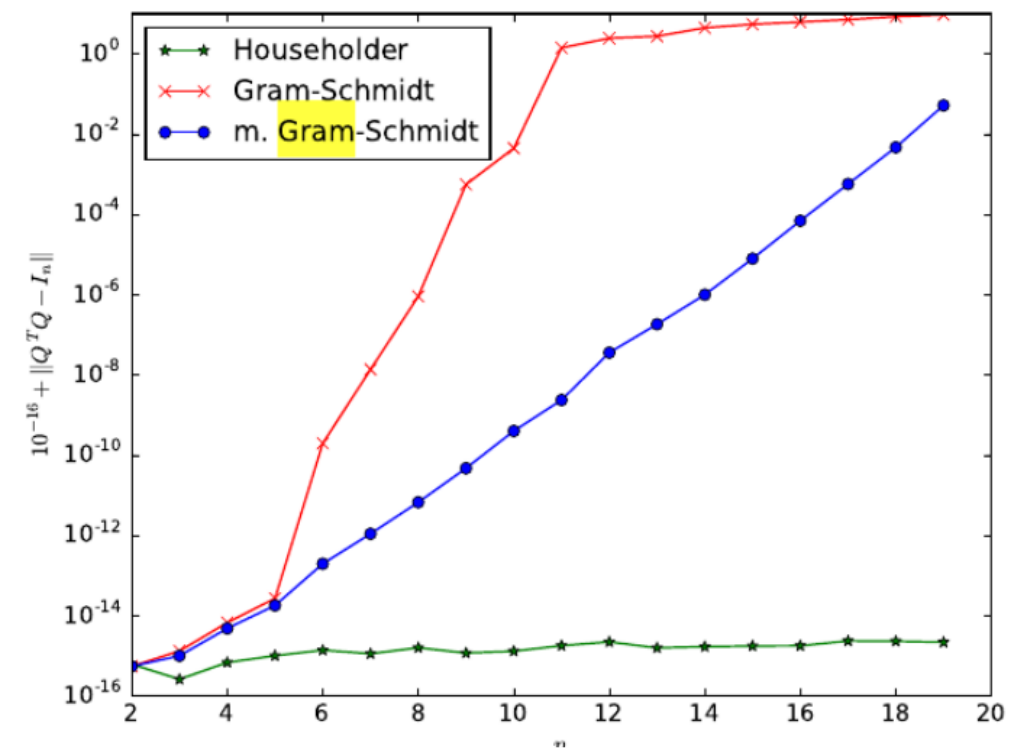
$$\begin{bmatrix} 1 & 0 & 0 \\ 0 & 1 & 0 \\ 0 & 0 & \frac{1}{r_{33}} \end{bmatrix} = \begin{bmatrix} \underline{q}_1 & \underline{q}_2 & \underline{q}_3 \end{bmatrix}$$

Bem Gram-Schmidt produziert nach n Schritte eine orthogonale Matrix Q in dem man in jedem Schritt mit einer oberen Dreiecksmatrix multipliziert
 \Rightarrow anfällig an Rundungsfehler!

Bem Ein Vorteil vom Gram-Schmidt Algorithmus ist: wenn man nach $k < n$ Schritte aufhört hat man bereits q_1, \dots, q_k orthogonal sodass

$$\text{span} \{ q_1, \dots, q_k \} = \text{span} \{ v_1, \dots, v_k \}$$

$$A = \begin{bmatrix} t_0^{n-1} & \dots & t_0^1 & 1 \\ t_1^{n-1} & \dots & t_1^1 & 1 \\ \vdots & \vdots & \vdots & \vdots \\ t_{19}^{n-1} & \dots & t_{19}^1 & 1 \end{bmatrix}, \text{ mit } t_i = \frac{i}{(m-1)}$$



classisches GS.:

$$P_{q_{k-1}} v_k = \begin{pmatrix} P_{q_{k-1}} & \dots & P_{q_2} & P_{q_1} & v_k \end{pmatrix} \rightarrow \text{alle gleichzeitig}$$

↓ nur auf q_k projiziert.

sofort q_1, \dots, q_{k-1} verwenden.
 Projektion aller folgenden Spalten auf das neu gefundene q_i

classisch. $\underline{a}_1, \dots, \underline{a}_n$

für $j=1, \dots, n$:

$$\underline{v}_j = \underline{a}_j$$

für $c=1, 2, \dots, j-1$:

$$r_{cj} = q_c^H \underline{a}_j$$

$$\underline{v}_j = \underline{v}_j - r_{cj} \underline{q}_c$$

$$r_{jj} = \|\underline{v}_j\|$$

$$\underline{q}_j = \frac{\underline{v}_j}{r_{jj}}$$

für $j=1, \dots, n$:

$$\underline{v}_j = \underline{a}_j$$

für $i=1, \dots, n$

$$r_{ii} = \|\underline{v}_i\|; q_i = \frac{1}{r_{ii}} \underline{v}_i$$

für $j=i+1, \dots, n$:

$$r_{ij} = q_i^H \underline{v}_j$$

$$\underline{v}_j = \underline{v}_j - r_{ij} \underline{q}_i$$

Fazit:

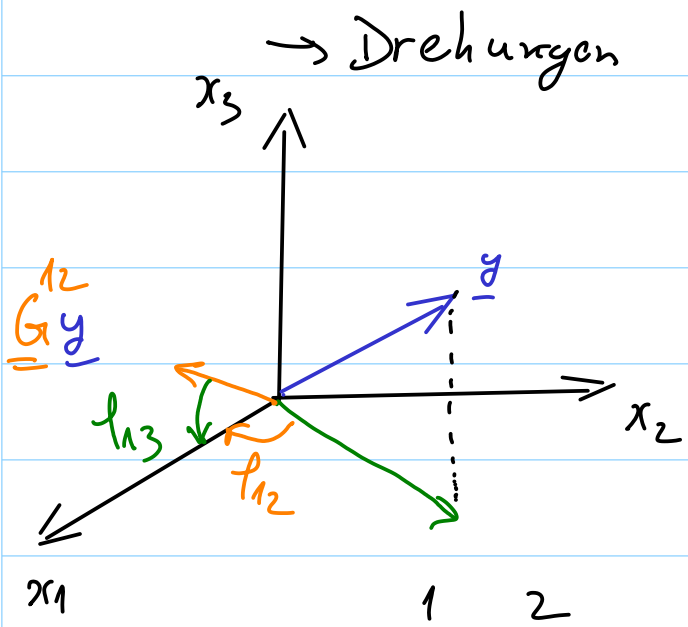
- 1) classisches Gram-Schmidt ist nur für analytische Zwecke geeignet!
- 2) modifiziertes Gram-Schmidt ist nur für kleine Matrizen zu verwenden!
- 3) sonst \underline{II} , \underline{III} die folgen!

\underline{II} \underline{QR} via Rotationen.

$$\begin{matrix} n & & m \\ \left[\begin{matrix} \underline{A} \\ \underline{A} \end{matrix} \right] = \begin{matrix} n \\ m \end{matrix} \underline{Q} \begin{bmatrix} * \\ * \\ 0 \end{bmatrix} \begin{matrix} n \\ m \end{matrix} = \underline{QR} \end{matrix}$$

$$\begin{matrix} n & & m \\ \left[\begin{matrix} \underline{A} \\ \underline{A} \end{matrix} \right] = \begin{matrix} n \\ m \end{matrix} \left[\begin{matrix} \underline{Q} \\ \underline{Q} \end{matrix} \right] \begin{bmatrix} * \\ * \\ 0 \end{bmatrix} \begin{matrix} n \\ m \end{matrix} = \underline{QR} \end{matrix}$$

Idee: Erzeuge die 0 unterhalb der Hauptdiagonale mittels orthogonale Matrizen



$$A = \begin{bmatrix} y_1 & \tilde{z}_1 \\ y_2 & \tilde{z}_2 \\ y_3 & \tilde{z}_3 \end{bmatrix}$$

$$G^{12}(\theta_{12}) = \begin{bmatrix} \cos \theta_{12} & \sin \theta_{12} & 0 \\ -\sin \theta_{12} & \cos \theta_{12} & 0 \\ 0 & 0 & 1 \end{bmatrix} \begin{matrix} 1 \\ 2 \\ \end{matrix}$$

↳ Givens Drehung, die y_2 zu 0 macht

$$G^{12}(\theta_{12}) A = \begin{bmatrix} * & * \\ 0 & * \\ \tilde{y}_3 & \tilde{z}_3 \end{bmatrix}$$

$$G^{13}(\theta_{13}) = \begin{bmatrix} \cos \theta_{13} & 0 & \sin \theta_{13} \\ 0 & 1 & 0 \\ -\sin \theta_{13} & 0 & \cos \theta_{13} \end{bmatrix} \begin{matrix} 1 \\ 3 \\ \end{matrix}$$

↳ Givens Drehung, die y_3 zu 0 macht

$$G^{13} G^{12} \begin{bmatrix} y_1 \\ y_2 \\ y_3 \end{bmatrix} = \begin{bmatrix} * \\ 0 \\ 0 \end{bmatrix}$$

orthogonale Matrix

$$\underline{y} \in \mathbb{R}^n \quad \underbrace{G^{12} \dots G^{13} G^{12}}_{Q^1} \underline{y} = \begin{bmatrix} * \\ 0 \\ \vdots \\ 0 \end{bmatrix}$$

Dann kommt Q^1 die zweite Spalte von A dran:

$$\begin{bmatrix} * & \tilde{z}_1 & * \\ 0 & \tilde{z}_2 & * \\ 0 & \tilde{z}_3 & * \end{bmatrix}$$

G^{23} um \tilde{z}_3 zu 0 zu machen

Bsp $\begin{bmatrix} 4 \\ -3 \\ 1 \end{bmatrix} \rightsquigarrow \begin{bmatrix} * \\ 0 \\ 0 \end{bmatrix}$ $r = \sqrt{4^2 + (-3)^2} = 5$
 $\cos \varphi = \frac{4}{5}, \sin \varphi = -\frac{3}{5}$

$G^{12} \begin{bmatrix} 4 \\ -3 \\ 1 \end{bmatrix} = \begin{bmatrix} \frac{4}{5} & -\frac{3}{5} & 0 \\ \frac{3}{5} & \frac{4}{5} & 0 \\ 0 & 0 & 1 \end{bmatrix} \begin{bmatrix} 4 \\ -3 \\ 1 \end{bmatrix} = \begin{bmatrix} 5 \\ 0 \\ 1 \end{bmatrix}$

$G^{13} \begin{bmatrix} 5 \\ 0 \\ 1 \end{bmatrix} = \begin{bmatrix} \frac{5}{\sqrt{26}} & 0 & \frac{1}{\sqrt{26}} \\ 0 & 1 & 0 \\ -\frac{1}{\sqrt{26}} & 0 & \frac{5}{\sqrt{26}} \end{bmatrix} \begin{bmatrix} 5 \\ 0 \\ 1 \end{bmatrix} = \begin{bmatrix} \sqrt{26} \\ 0 \\ 0 \end{bmatrix}$

$\underline{G} = \underline{G}^{13} \underline{G}^{12}$

Ben Diese Methode (Givens-Drehungen) ist günstig falls \underline{A} sehr viele 0-Einträge hat (dünnbesetzte Matrix)

III QR-Zerlegung mit Spiegelungen (standard)

\underline{Q}^1 spiegelt \underline{z} so dass $\underline{Q}^1 \underline{z}$ auf Ox_1 liegt

$\underline{Q}^1 \underline{z} = \begin{bmatrix} * \\ 0 \\ \vdots \\ 0 \end{bmatrix} \Rightarrow \underline{Q}^1 \underline{A} = \begin{bmatrix} * & x & x & \dots & x \\ 0 & \boxed{x} & \dots & & \\ \vdots & \vdots & & & \\ 0 & x & \dots & & \end{bmatrix}$
 Spiegelung in \mathbb{R}^{n-1}
 \underline{z} $x_2 O x_3$

\underline{Q}^2 spiegelt \underline{z} so dass $\underline{Q}^2 \underline{z}$ auf Ox_2 liegt

$\underline{Q}^2 \underline{Q}^1 \underline{A} = \begin{bmatrix} * & x & x & x & \dots \\ 0 & x & x & x & \dots \\ \vdots & 0 & \boxed{x} & x & \dots \\ 0 & \vdots & \vdots & & \\ 0 & 0 & x & \dots & \end{bmatrix}$ usw

$\underline{Q}^{n-1} \underline{Q}^{n-2} \dots \underline{Q}^2 \underline{Q}^1 \underline{A} = \underline{R} \Rightarrow$

$\underline{A} = \underline{Q} \underline{R}$ mit $\underline{Q} = \underline{Q}^{1T} \underline{Q}^{2T} \dots \underline{Q}^{n-1T}$

Bsp

$$\underline{x} = \begin{bmatrix} 2 \\ 2 \\ 1 \end{bmatrix} \Rightarrow \underline{Q}\underline{x} = \begin{bmatrix} 3 \\ 0 \\ 0 \end{bmatrix} = 3\underline{e}_1$$

$$\|\underline{x}\| = \sqrt{2^2 + 2^2 + 1} = 3$$

$$\underline{x} = \|\underline{x}\|\underline{e}_1 + \underline{v} \Rightarrow \underline{v} = \underline{x} - \|\underline{x}\|\underline{e}_1 = \begin{bmatrix} -1 \\ 2 \\ 1 \end{bmatrix}$$

$$\underline{u} = \frac{1}{\|\underline{v}\|} \underline{v} = \frac{1}{\sqrt{6}} \begin{bmatrix} -1 \\ 2 \\ 1 \end{bmatrix}$$

$$\underline{Q} = \underline{I} - 2\underline{u}\underline{u}^T = \begin{bmatrix} 1 & & \\ & 1 & \\ & & 1 \end{bmatrix} - \frac{2}{6} \begin{bmatrix} -1 \\ 2 \\ 1 \end{bmatrix} \begin{bmatrix} -1 & 2 & 1 \end{bmatrix} =$$

$$= \begin{bmatrix} 1 & & \\ & 1 & \\ & & 1 \end{bmatrix} - \frac{2}{6} \begin{bmatrix} 1 & -2 & -1 \\ -2 & 4 & 2 \\ -1 & 2 & 1 \end{bmatrix} =$$

$$= \frac{1}{3} \begin{bmatrix} 2 & 2 & 1 \\ 2 & -1 & -2 \\ 1 & -2 & 2 \end{bmatrix}$$

$$\underline{A} = \begin{bmatrix} 1 & 1 \\ 2 & 0 \\ 2 & 0 \end{bmatrix} \Rightarrow \underline{Q}^1 \underline{A} = \begin{bmatrix} \underline{Q}^1 \begin{bmatrix} 1 \\ 2 \\ 2 \end{bmatrix} & \underline{Q}^1 \begin{bmatrix} 1 \\ 0 \\ 0 \end{bmatrix} \end{bmatrix}$$

$$\underline{Q}^1 = \underline{I} - \frac{2}{12} \begin{bmatrix} -2 \\ 2 \\ 2 \end{bmatrix} \begin{bmatrix} -2 & 2 & 2 \end{bmatrix} \Rightarrow$$

$$\underline{Q}^1 \underline{A} = \begin{bmatrix} 3 & \frac{1}{3} \\ 0 & \frac{2}{3} \\ 0 & \frac{2}{3} \end{bmatrix} \text{ usw.}$$

Theorem $\underline{A} \in \mathbb{R}^{m \times n}$, $m \geq n$ voller Rang
($\text{rang } \underline{A} = n$)

Dann gibt es eine eindeutige Matrix $\underline{Q} \in \mathbb{R}^{m \times m}$
orthogonal, so dass

$$\underline{A} = \underline{Q} \begin{bmatrix} \underline{R} \\ \underline{0} \end{bmatrix}_m \text{ mit } \underline{R} \text{ obere Dreiecksmatrix}$$

und die Elemente auf der Diagonale von \underline{R} sind ≥ 0 .

Bez Falls die Elemente auf der Diagonale von \underline{R} > 0 sind, dann ist \underline{R} die Cholesky-Zerlegung von $\underline{A}^T \underline{A}$

Beweis $\underline{A}^T \underline{A} = \begin{bmatrix} \underline{R}^T & \underline{0} \end{bmatrix} \underbrace{\underline{Q}^T \underline{Q}}_{\underline{I}} \begin{bmatrix} \underline{R} \\ \underline{0} \end{bmatrix} = \underline{R}^T \underline{R}$
 symm. positiv.

Theorem Falls $\text{rang } \underline{A} = r < n$ dann gibt es eine Permutation \underline{P} so dass

$$\underline{A} \underline{P} = \underline{Q} \begin{bmatrix} \underline{R}_{11} & \underline{R}_{12} \\ \underline{0} & \underline{0} \end{bmatrix}$$

mit

\underline{R}_{11} obere Dreiecksmatrix mit Elementen auf der Diagonale > 0 .

\underline{R}_{11} ist eindeutig, \underline{R}_{12} nicht!

Beweis wähle r Spalten lin. unabh. & permutiere sie nach vorne

$$\underline{A} \underline{P} = \begin{bmatrix} \underline{A}_1 & \underline{A}_2 \end{bmatrix} \text{ und wende das vorige Theorem.}$$

(Givens-Drehungen) an.

Bez QR-Zerlegung mit orthogonalen Transformationen darf nicht vorzeitig abgebrochen werden.

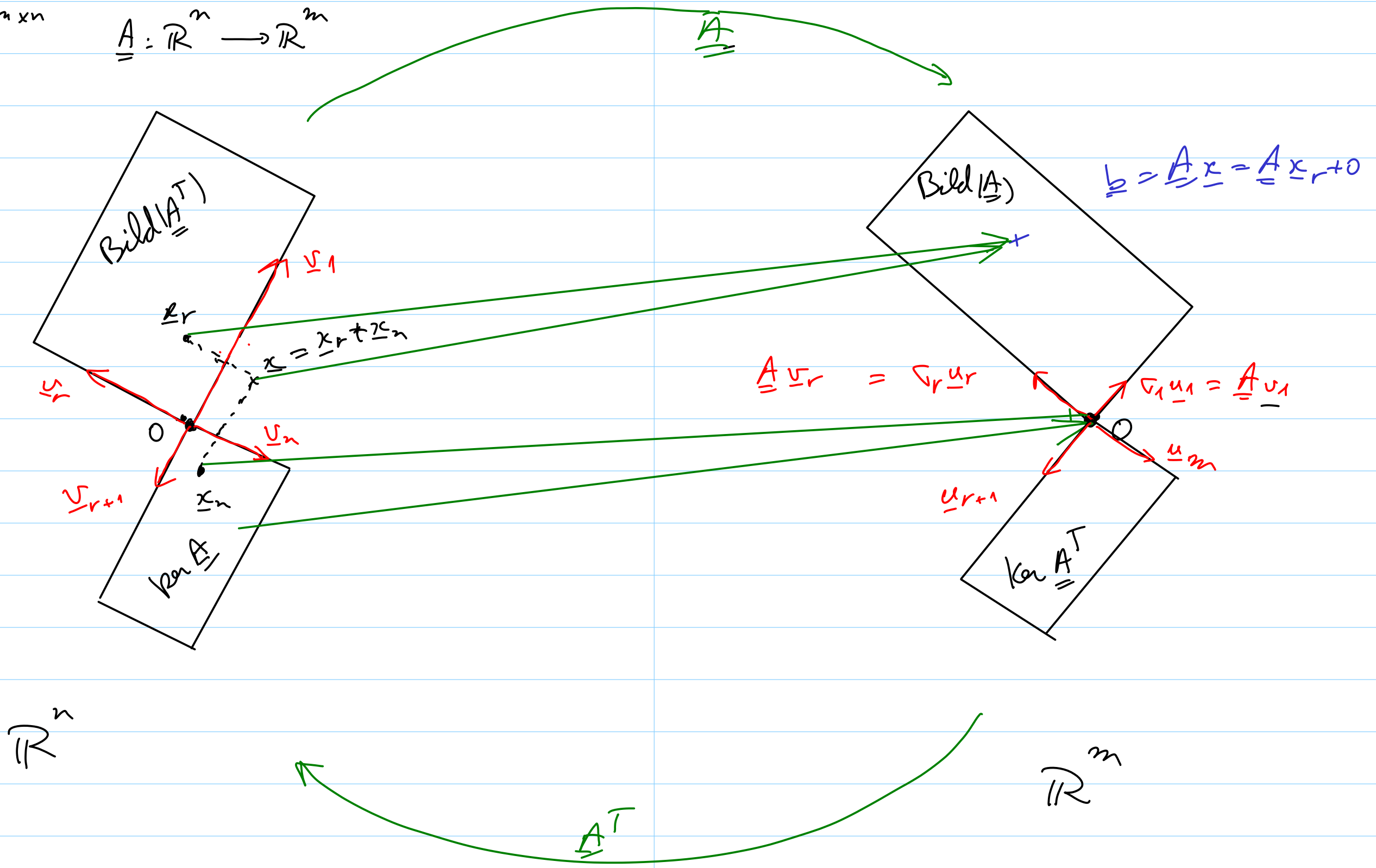
Bez $\underline{A} = \underline{Q} \underline{R}$; $\underline{A} \underline{x} = \underline{b}$

$$\underline{Q}^T \underline{Q} \underline{R} \underline{x} = \underline{Q}^T \underline{b} \Rightarrow \underline{R} \underline{x} = \underline{Q}^T \underline{b}$$

Rückwärts substitution!

$\underline{A} \in \mathbb{R}^{m \times n}$

$\underline{A} : \mathbb{R}^n \rightarrow \mathbb{R}^m$



Bem $5 \gg 3 \gg 0.1 \gg 10^{-5} \gg 10^{-8} \gg 10^{-12} \gg 5 \cdot 10^{-16} \gg 2 \cdot 10^{-16} \gg 10^{-42} \gg 0 = 0$

$\sigma_1 \ \sigma_2 \ \sigma_3 \ \sigma_4 \ \sigma_5 \ \sigma_6 \ \sigma_7 \ \sigma_8 \ \sigma_9 \ \sigma_{10} = \sigma_{11} = \dots = \sigma_{42}$

Numerischer Rang = ?

Anwendung

1) Speicherplatzreduktion.

SVD: $rm + rn + r = r(m+n+1)$ Plätze

$$\underline{A} = \sum_{k=1}^r \underline{u}_k \sigma_k \underline{v}_k^T \approx \sum_{k=1}^{r_{\text{num}}} \underline{u}_k \sigma_k \underline{v}_k^T$$

Rang 1 Matrizen

2) Berechnung der Norm einer Matrix

$$\|\underline{A}\|_2 = \max_{\|\underline{x}\|_2=1} \|\underline{A}\underline{x}\|_2$$

\underline{U} orthogonal \Rightarrow erhält Längen

$$\|\underline{A}\underline{x}\|_2^2 = \|\underline{U} \sum \underline{V}^T \underline{x}\|_2^2 = \|\sum \underline{V}^T \underline{x}\|_2^2$$

$$\|\underline{A}\| = \max_{\|\underline{x}\|_2=1} \|\underline{A}\underline{x}\|_2 = \max_{\|\underline{x}\|_2=1} \|\sum \underline{V}^T \underline{x}\|_2 = \max_{\|\underline{z}\|_2=1} \|\sum \underline{z}\|_2 = \max_{\|\underline{z}\|_2=1} \sqrt{\sigma_1^2 |z_1|^2 + \sigma_2^2 |z_2|^2 + \dots + \sigma_r^2 |z_r|^2}$$

$\underline{x} = \underline{V} \underline{z}$

$$\sigma_1 \geq \sigma_2 \geq \dots \geq \sigma_r > 0$$

$$\leq \max_{\|\underline{z}\|_2=1} \sqrt{\sigma_1^2 \|\underline{z}\|_2^2} = \sigma_1 \text{ erreicht für } \underline{z} = \begin{bmatrix} 1 \\ 0 \\ \vdots \\ 0 \end{bmatrix}$$

Somit $\|\underline{A}\|_2 = \sigma_1$

3) Kompression.

Daten mit Rausch/ Fehler:

$$\underline{A} = \sum_{j=1}^r \sigma_j \underline{u}_j \underline{v}_j^T \approx \sum_{j=1}^k \sigma_j \underline{u}_j \underline{v}_j^T \text{ mit } k \ll r.$$

≠ Diagonalisierung für $m=n$

Bsp $\underline{A} = \begin{bmatrix} 2 & 100 \\ 0 & 1 \end{bmatrix} \quad \lambda_1=2, \lambda_2=1$

$$\underline{A} = \underline{S} \underline{\Lambda} \underline{S}^{-1} = 2 \begin{bmatrix} 1 \\ 0 \end{bmatrix} \begin{bmatrix} 1 & 100 \end{bmatrix} + 1 \begin{bmatrix} 1 \\ -\frac{1}{100} \end{bmatrix} \begin{bmatrix} 0 & -100 \end{bmatrix}$$

λ_1 \underline{S}_1^T λ_2 \underline{S}_2^T
 \underline{S}_1 \underline{S}_2

Versuch der Approximation mit einer Rang 1-Matrix

Fehler $\underline{A} - \lambda_1 \underline{u}_1 \underline{u}_1^T = \begin{bmatrix} 0 & -100 \\ 0 & 1 \end{bmatrix}$ 

$$\underline{A} - \lambda_2 \underline{u}_2 \underline{u}_2^T = \begin{bmatrix} 2 & 200 \\ 0 & 0 \end{bmatrix}$$
 

also so geht es nicht!

Mit SVD:

$$\underline{A} = 100.025 \begin{bmatrix} 0.9995 \\ 0.001 \end{bmatrix} \begin{bmatrix} 0.01999 & 0.9998 \end{bmatrix} + 0.02 \begin{bmatrix} 0.01 \\ 0.9995 \end{bmatrix} \begin{bmatrix} -0.9998 & 0.01999 \end{bmatrix}$$

\underline{u}_1 \underline{v}_1^T \underline{u}_2 \underline{v}_2^T

Fehler $\underline{A} - \sigma_1 \underline{u}_1 \underline{u}_1^T = \begin{bmatrix} 2 \cdot 10^{-4} & 0 \\ -2 \cdot 10^{-2} & 4 \cdot 10^{-4} \end{bmatrix}$ klein 

Theorem [Eckart-Young]4) PCA \rightarrow Skript.

Sei $\underline{A} \in \mathbb{C}^{m \times n}$. Für jedes $k \leq \text{Rang}(\underline{A})$
 gibt es eine abgetrochene SVD

$$\underline{A}_{=k} = \sum_{j=1}^k \sigma_j \underline{u}_j \underline{v}_j^H$$

die, die beste Approximation von Rang k an \underline{A} ist,
 im Sinne von:

$$\|\underline{A} - \underline{A}_{=k}\| = \min_{\text{Rang}(\underline{X}) \leq k} \|\underline{A} - \underline{X}\| = \sigma_{k+1}$$

$$\text{Rang}(\underline{X}) \leq k$$

Euklidische & Frobenius Norm.

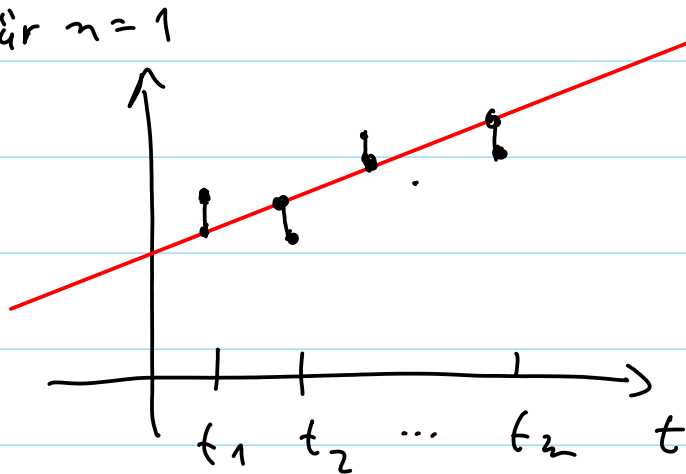
§8 Ausgleichsrechnung

§8.1. Motivation und Normalengleichung

Lineares Model:

$y = \underline{a}^T \underline{t} + c \cdot 1$ mit $\underline{a} \in \mathbb{R}^n, c \in \mathbb{R}$ Parameter
 m Messungen: $\underline{t}_1, \underline{t}_2, \dots, \underline{t}_m \in \mathbb{R}^n$ Messpunkte
 $\downarrow \quad \downarrow \quad \dots \quad \downarrow$ Gemessene Werte
 $y_1 \quad y_2 \quad \dots \quad y_m$ (mit Fehlern)

Für $n=1$



Vorschlag: \underline{a}, c die \underline{q}, p , die das Minimum realisieren:

$$\min_{\substack{\underline{p} \in \mathbb{R}^n \\ q \in \mathbb{R}}} \sum_{i=1}^m |y_i - \underline{p}^T \underline{t}_i - 1 \cdot q|^2 = \min_{\underline{x} \in \mathbb{R}^{1+n}} \| \underline{A} \underline{x} - \underline{b} \|_2$$

$$\underline{b} = \begin{bmatrix} y_1 \\ \vdots \\ y_m \end{bmatrix} \quad \underline{x} = \begin{bmatrix} q \\ \underline{p} \end{bmatrix} \in \mathbb{R}^{1+n}, \quad \underline{A} = \begin{bmatrix} 1 & \underline{t}_1^T \\ 1 & \underline{t}_2^T \\ \vdots & \vdots \\ 1 & \underline{t}_m^T \end{bmatrix} \in \mathbb{R}^{m \times (1+n)}$$

$\mathbb{R}^{m \times (1+n)}$

Methode der kleinsten Quadrate (least squares Method).

Bsp $n=1$ $t_1=0, t_2=1, t_3=2$
 $y_1=6, y_2=0, y_3=0$

Modell $y = dt + c_1$

Messwerte: $\begin{bmatrix} 6 \\ 0 \\ 0 \end{bmatrix}$, $\underline{A} = \begin{bmatrix} 1 & 0 \\ 1 & 1 \\ 1 & 2 \end{bmatrix}$

I Algebraische Methode.

$\underline{A} \underline{x} = \underline{b} \Rightarrow \underbrace{\underline{A}^T \underline{A}}_{\text{quadratisch, symmetrisch.}} \underline{x} = \underline{A}^T \underline{b}$ Normalengleichung

Falls $\text{Rang}(\underline{A}) = n \Rightarrow \underline{A}^T \underline{A}$ invertierbar
 kann das LGS eindeutig lösen

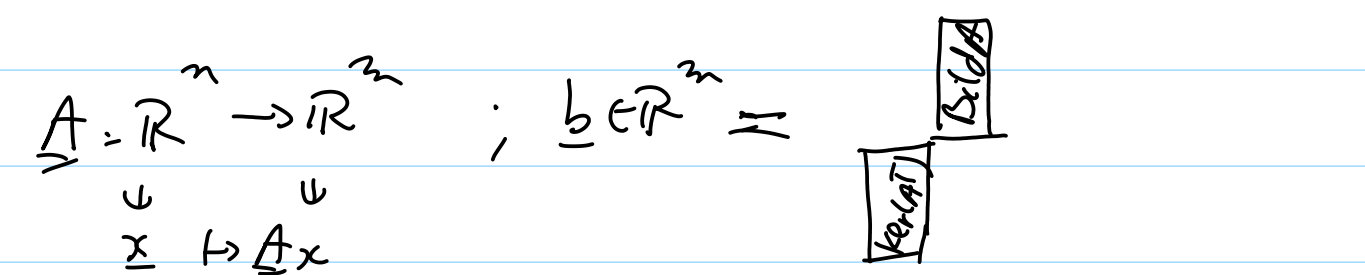
$\min_{\underline{x} \in \mathbb{R}^2} \|\underline{A} \underline{x} - \underline{b}\|_2$

alg. Problem: $\begin{cases} b_1 = dt_1 + c \\ b_2 = dt_2 + c \\ b_3 = dt_3 + c \end{cases}$

$\underline{A} \underline{x} = \underline{b}$ hat keine Lösung.

$\text{cond}(\underline{A}) = \frac{\|\underline{A}^{-1}\| \|\underline{A}\|}{100}$ gross \Rightarrow $\text{cond}(\underline{A}^T \underline{A})$ riesig. 10^4

$\text{cond}(\underline{A}^T \underline{A}) = \text{cond}(\underline{A})^2$ LU \rightarrow

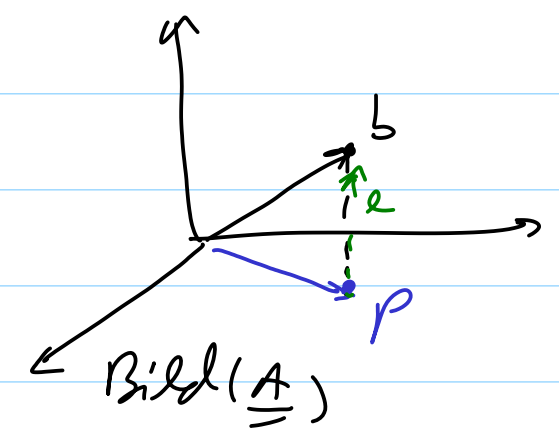


$\underline{b} = \underbrace{\underline{p}}_{\text{Bild(A)}} + \underbrace{\underline{e}}_{\text{Ker(A}^T)}$ $\underline{p} \perp \underline{e}$

$\underline{p} \in \text{Bild}(\underline{A}) \Rightarrow$ es gibt $\underline{\hat{x}} \in \mathbb{R}^2$ so dass $\underline{A} \underline{\hat{x}} = \underline{p}$

Fehler $\underline{b} - \underline{A}\underline{x} = \underline{b} - \underline{p} = \underline{e} \in \ker(\underline{A}^T) \perp \text{Bild}(\underline{A})$

$\Rightarrow \|\underline{b} - \underline{A}\underline{x}\|_2^2 = \min_{\underline{x} \in \mathbb{R}^n} \|\underline{b} - \underline{A}\underline{x}\|_2^2$



$\underline{A}^T \underline{b} = \underline{A}^T (\underline{p} + \underline{e}) = \underline{A}^T \underline{p} + \underline{A}^T \underline{e} = \underline{A}^T \underline{p}$

$\underline{A}^T \underline{A}\underline{x} = \underline{A}^T \underline{p}$

II $f(\underline{x}) = \|\underline{A}\underline{x} - \underline{b}\|_2^2$; $f: \mathbb{R} \rightarrow [0, \infty[$ Min?

Finde \underline{x} : $\nabla f(\underline{x}) = 0$

$f(\underline{x}) = (\underline{A}\underline{x} - \underline{b})^T (\underline{A}\underline{x} - \underline{b}) = \underline{x}^T \underline{M} \underline{x} - \underline{b}^T \underline{A}\underline{x} - \underline{x}^T \underline{A}^T \underline{b} + \underline{b}^T \underline{b}$
 $= \underline{x}^T \underline{M} \underline{x} - 2 \underline{x}^T \underline{w} + \underline{b}^T \underline{b} =$

$= \sum_{i=1}^n x_i \sum_{j=1}^n m_{ij} x_j - 2 \sum_{i=1}^n x_i w_i + \underline{b}^T \underline{b} =$

$= x_1 \sum_{j=1}^n m_{1j} x_j + \sum_{i=2}^n x_i \sum_{j=1}^n m_{ij} x_j - 2 \sum_{i=1}^n x_i w_i + \underline{b}^T \underline{b}$

$\sum_{j=1}^n x_j \sum_{i=2}^n m_{ij} x_i$

$= x_1 m_{11} x_1 + x_1 \sum_{j=2}^n m_{1j} x_j + x_1 \sum_{i=2}^n m_{i1} x_i + \sum_{j=2}^n x_j \sum_{i=2}^n m_{ij} x_i -$

$- 2 \sum_{i=1}^n x_i w_i + \underline{b}^T \underline{b} =$

M symmetrisch.

$= m_{11} x_1^2 + 2 x_1 \sum_{i=2}^n x_i m_{i1} + \sum_{i,j=2}^n x_i m_{ij} x_j -$

$- 2 \sum_{i=1}^n x_i w_i + \underline{b}^T \underline{b}$

$$\frac{\partial}{\partial x_1} f(\underline{x}) = 2m_{11}x_1 + 2 \sum_{i=2}^n x_i m_{i1} - 2w_1 \Rightarrow$$

$$Df(\underline{x}) = 2 \underline{M} \underline{x} - 2 \underline{A}^T \underline{b}$$

kritische Punkte $Df(\underline{x})=0 \Leftrightarrow 2 \underline{A}^T \underline{A} \underline{x} - 2 \underline{A}^T \underline{b} = 0$
 $\Leftrightarrow \underline{A}^T \underline{A} \underline{x} = \underline{A}^T \underline{b}$

Minimum nur wenn $D^2 f(\underline{x}) = 2 \underline{A}^T \underline{A}$
 symmetrische pos. def.
 nur wenn $\text{Rang}(\underline{A}) = n$.

$$\text{cod}_2(\underline{A}^T \underline{A}) = \text{cod}_2(\underbrace{\underline{V} \underline{\Sigma}^T \underline{U}^T \underline{U} \underline{\Sigma} \underline{V}^T}_{\underline{I}}) =$$

$$= \text{cod}_2(\underline{V} \underline{\Sigma}^2 \underline{V}^T) = \text{cod}_2(\underline{\Sigma}^2) = \frac{\sigma_1^2}{\sigma_r^2} = \text{cod}_2(\underline{A})^2$$

wobei $\sigma_1 \geq \sigma_2 \geq \dots \geq \sigma_r$ die Singulardrwerte von \underline{A} sind.

Bsp $f \in L^2 = \{ f: I \rightarrow \mathbb{R}; \int_I |f(t)|^2 dt < \infty \}$
 $\mathbb{R} \supset U$

$$f_n \in V_n, \dim V_n < \infty$$

Basis b_1, \dots, b_n

$$f_n = \sum_{j=1}^n x_j b_j \Rightarrow f_n(t) = \sum_{j=1}^n x_j b_j(t)$$

verwende Messungen $y_i \approx f(t_i)$

Aufgabe: gegeben (t_i, y_i) für $i=1, 2, \dots, m$ Messungen
 finde die beste Approximation in V_n an f ,
 d.h. finde

x_1, x_2, \dots, x_n so dass

$$\sum_{i=1}^m |f_n(t_i) - y_i|^2 = \text{minimal!}$$

$$\begin{cases} \sum_{j=1}^n b_j(t_i) x_j = y_i \\ A = [b_j(t_i)]_{\substack{i=1, \dots, m \\ j=1, \dots, n}} \end{cases}$$

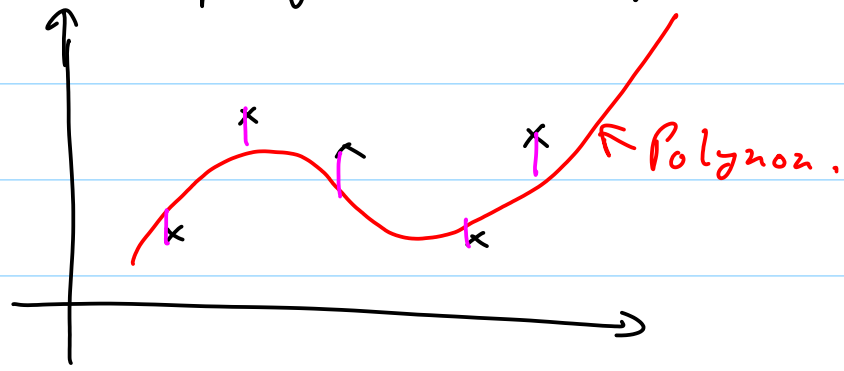
$\hookrightarrow i=1, 2, \dots, m$

Best Spezielle Wahl:

$V_n = P_n =$ Polynome vom Grad maximal $n-1$

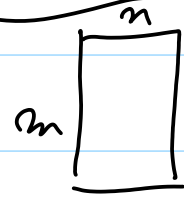
Basis in V_n : Monome $b_j(t) = t^{j-1}$

→ polynomialos fit ; polyfit



§8.2. Lösung mittels orthogonalen Transformationen

Fall 1 $\text{Rang}(A) = n$ (voller Rang)



$$A = QR = Q \begin{bmatrix} \tilde{R} \\ 0 \end{bmatrix} \begin{matrix} n \\ m-n \end{matrix} \quad Q \text{ orthogonal}$$

$$\min_{x \in \mathbb{R}^n} \|Ax - b\|_2^2 = \min_{x \in \mathbb{R}^n} \|Q \underbrace{R}_{\hat{I} = Q^H} x - b\|_2^2 =$$

$$= \min_{x \in \mathbb{R}^n} \|Q (Rx - Q^H b)\|_2^2 =$$

$$= \min_{x \in \mathbb{R}^n} \|Rx - \underbrace{Q^H b}_{\beta}\|_2^2 =$$

$$\min_{x \in \mathbb{R}^n} \left\| \begin{bmatrix} \tilde{R} \\ 0 \end{bmatrix} \begin{bmatrix} x \end{bmatrix} - \begin{bmatrix} \beta_1 \\ \beta_2 \\ \beta_{n+1} \\ \vdots \\ \beta_m \end{bmatrix} \right\|_2^2 = \min_{x \in \mathbb{R}^n} \left\| \begin{bmatrix} \tilde{R} x \\ 0 \end{bmatrix} - \begin{bmatrix} \tilde{\beta} \\ \beta_{n+1} \\ \vdots \\ \beta_m \end{bmatrix} \right\|_2^2 =$$

$$= \min_{x \in \mathbb{R}^n} \left\{ \left\| \tilde{R} x - \tilde{\beta} \right\|_2^2 + |\beta_{n+1}|^2 + \dots + |\beta_m|^2 \right\}$$

$$\begin{bmatrix} \tilde{R} \\ 0 \end{bmatrix} x = \tilde{\beta}$$

$$= \min_{x \in \mathbb{R}^n} \left\| \tilde{R} x - \tilde{\beta} \right\|_2^2 + |\beta_{n+1}|^2 + \dots + |\beta_m|^2$$

0 erreicht für $x =$ die Lösung von $\tilde{R} x = \tilde{\beta}$

Bsp $\begin{bmatrix} 1 & 0 \\ 1 & 1 \\ 1 & 2 \end{bmatrix} \begin{bmatrix} x_1 \\ x_2 \end{bmatrix} = \begin{bmatrix} 6 \\ 0 \\ 0 \end{bmatrix}$ Normalengleichung \Rightarrow $\begin{bmatrix} -3 & 3 \\ 3 & 5 \end{bmatrix} \begin{bmatrix} x_1 \\ x_2 \end{bmatrix} = \begin{bmatrix} 6 \\ 0 \end{bmatrix} \Rightarrow x_1 = 5, x_2 = -3$

Mit QR-Zerlegung:

$$\underline{A} = \underline{Q} \underline{R} = \begin{bmatrix} -\frac{1}{\sqrt{3}} & \frac{1}{\sqrt{2}} & ? \\ -\frac{1}{\sqrt{3}} & 0 & ? \\ -\frac{1}{\sqrt{3}} & \frac{1}{\sqrt{2}} & ? \end{bmatrix} \begin{bmatrix} -\frac{3}{\sqrt{3}} & -\frac{3}{\sqrt{3}} \\ 0 & -\frac{2}{\sqrt{2}} \\ 0 & 0 \end{bmatrix}$$

LGS $\begin{bmatrix} -\frac{1}{\sqrt{3}} & -\frac{3}{\sqrt{3}} \\ 0 & -\frac{2}{\sqrt{2}} \end{bmatrix} \begin{bmatrix} x_1 \\ x_2 \end{bmatrix} = \begin{bmatrix} -\frac{6}{\sqrt{3}} \\ 6/\sqrt{2} \end{bmatrix} \Rightarrow x_1 = 5, x_2 = -3$

Fall $r = \text{Rang}(\underline{A}) < n \Rightarrow$ SVD!

$$\underline{A} = \begin{bmatrix} \overset{r}{\underline{U}_1} & \overset{m-r}{\underline{U}_2} \end{bmatrix} \begin{bmatrix} \underline{\Sigma}_r & 0 \\ 0 & 0 \end{bmatrix} \begin{bmatrix} \underline{V}_1^T \\ \underline{V}_2^T \end{bmatrix}$$

$$\underline{\Sigma}_r = \begin{bmatrix} \sigma_1 & & 0 \\ & \dots & \\ 0 & & \sigma_r \end{bmatrix} \text{ mit } \sigma_1 \geq \sigma_2 \geq \dots \geq \sigma_r > 0.$$

\underline{U} orthogonal

$$\| \underline{A} \underline{x} - \underline{b} \|_2 = \left\| \begin{bmatrix} \sum_{i=1}^r \underline{V}_i^T \underline{x} \\ 0 \end{bmatrix} - \begin{bmatrix} \underline{U}_1^T \underline{b} \\ \underline{U}_2^T \underline{b} \end{bmatrix} \right\|_2$$

ist minimal für $\underline{x} =$ Lösung von

$$\sum_{i=1}^r \underline{V}_i^T \underline{x} = \underline{U}_1^T \underline{b}$$

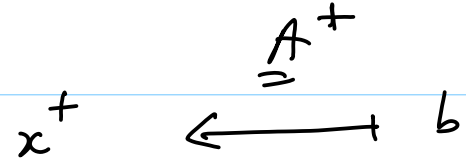
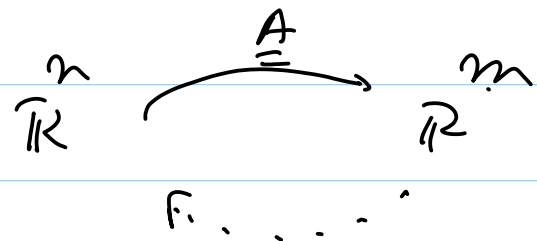
d.h. $\underline{x} = \underline{V}_1 \underline{\Sigma}_r^{-1} \underline{U}_1^T \underline{b}$

und das Minimum ist $\| \underline{U}_2^T \underline{b} \|_2$

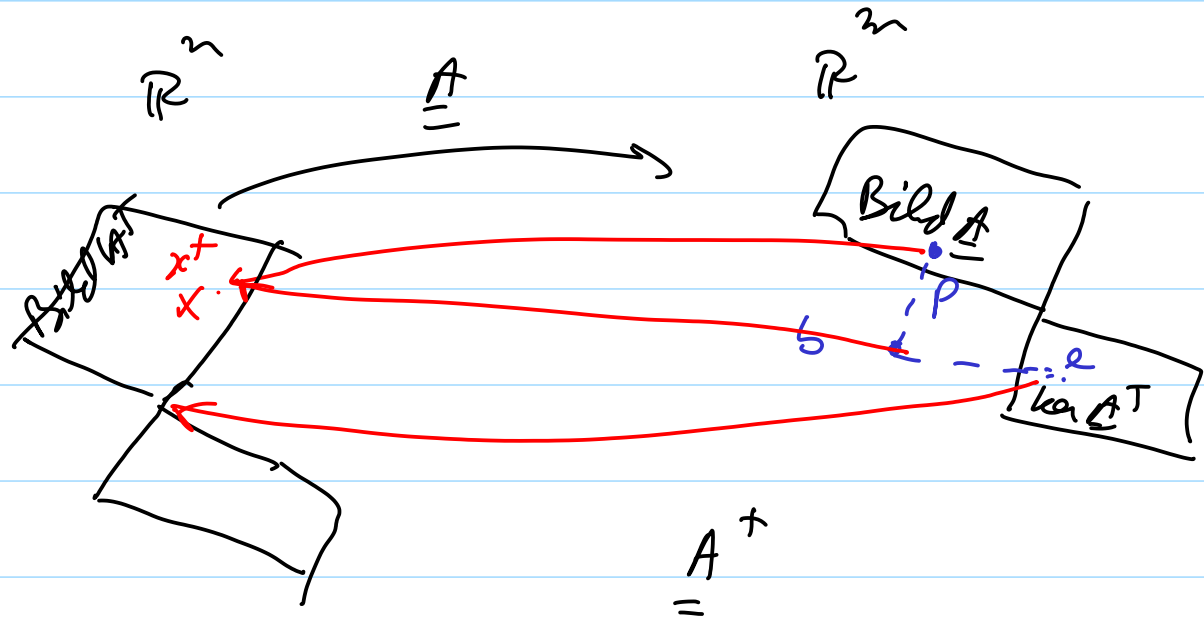
\rightarrow wird verwendet in standard codes $\text{Lsq}(\underline{A}, \underline{b})$

Def Pseudoinverse einer Matrix
(Moore-Penrose inverse)

$$\underline{A}^+ := \underline{V} \underline{\Sigma}^+ \underline{U}^T \text{ mit } \underline{\Sigma}^+ = \begin{bmatrix} \sigma_1^{-1} & & & \\ & \dots & & \\ & & \sigma_r^{-1} & \\ 0 & & & 0 \end{bmatrix}$$



"die Ausgleichslösung" $\|Ax^+ - b\|_2^2$



§8.3. Lineare Ausgleichsrechnung mit linearen Nebenbedingungen.

Finde $\underline{x} \in \mathbb{R}^n$ bei gegebenen $\underline{A} \in \mathbb{R}^{m \times n}$, $\underline{b} \in \mathbb{R}^m$ mit $m \geq n = \text{Rang}(\underline{A})$

$$\begin{cases} \|\underline{A}\underline{x} - \underline{b}\|_2^2 = \text{minimal} \\ \underline{C}\underline{x} = \underline{d} \end{cases} \quad \text{mit } \underline{C} \in \mathbb{R}^{p \times n} \text{ mit } p < n$$

$\underline{d} \in \mathbb{R}^p$ $\text{Rang } \underline{C} = p$

Methoden Lagrange-Multiplikatoren $\underline{m} \in \mathbb{R}^p$

$$L(\underline{x}, \underline{m}) = \frac{1}{2} \|\underline{A}\underline{x} - \underline{b}\|_2^2 + \underline{m}^T (\underline{C}\underline{x} - \underline{d})$$

$$\min_{\underline{x} \in \mathbb{R}^n} \max_{\underline{m} \in \mathbb{R}^p} L(\underline{x}, \underline{m})$$

$$\begin{cases} \frac{\partial \mathcal{L}}{\partial \underline{x}}(\underline{x}, \underline{m}) = 0 \\ \frac{\partial \mathcal{L}}{\partial \underline{m}}(\underline{x}, \underline{m}) = 0 \end{cases} \quad \begin{cases} \underline{A}^T (\underline{A} \underline{x} - \underline{b}) + \underline{c}^T \underline{m} = 0 \\ 0 + \underline{c} \underline{x} - \underline{d} = 0 \end{cases}$$

$$\begin{bmatrix} \underline{A}^T \underline{A} & \underline{c}^T \\ \underline{c} & \underline{0} \end{bmatrix} \begin{bmatrix} \underline{x} \\ \underline{m} \end{bmatrix} = \begin{bmatrix} \underline{A}^T \underline{b} \\ \underline{d} \end{bmatrix}$$

Block-LR-Zerlegung

1) Cholesky-Zerlegung von $\underline{A}^T \underline{A} = \underline{R}^T \underline{R}$

2) berechne \underline{G} aus $\underline{R}^T \underline{G}^T = \underline{c}^T$

3) \underline{S} aus Cholesky-Zerlegung $\underline{S}^T \underline{S} = -\underline{G} \underline{G}^T$

$$\begin{bmatrix} \underline{A}^T \underline{A} & \underline{c}^T \\ \underline{c} & \underline{0} \end{bmatrix} = \begin{bmatrix} \underline{R}^T & \underline{0} \\ \underline{G} & \underline{S} \end{bmatrix} \begin{bmatrix} \underline{R} & \underline{G}^T \\ \underline{0} & \underline{S}^T \end{bmatrix}$$

Block Cholesky-Zerlegung.

Nachteil: $\text{cond}(\underline{A}^T \underline{A}) = \text{cond}(\underline{A})^2$ ☹️

Vorteil: falls $\underline{A}, \underline{c}$ eine Struktur haben, dann können wir eventuell diese in den Algorithmen ausnutzen.

Methode 2 SVD besser für die Kondition, verliert die Struktur.

$$\underline{c} = \underline{U} \begin{bmatrix} \underline{\Sigma} & \underline{0} \end{bmatrix} \begin{bmatrix} \underline{V}_1^H \\ \underline{V}_2^H \end{bmatrix} \begin{matrix} p \\ n-p \end{matrix}$$

$$\text{ker}(\underline{c}) = \text{Bild}(\underline{V}_2)$$

Trick:

Definiere $\underline{x}_0 = \underline{V}_1 \underline{\Sigma}_1^{-1} \underline{U}^H \underline{d}$

dann suche

$$\underline{x} = \underline{x}_0 + \underline{V}_2 \underline{y} \quad \text{mit } \underline{y} \in \mathbb{R}^{n-p}$$

$$\text{ker}(\underline{c}) = \text{Bild}(\underline{V}_2)$$

(und somit automatisch $\underline{c} \underline{x} = \underline{d}$)

$$\| \underline{A} \underline{x} - \underline{b} \|_2^2 = \| \underline{A} \underline{x}_0 + \underline{A} \underline{V}_2 \underline{y} - \underline{b} \|_2^2 =$$

$$= \| \boxed{\underline{A} \underline{V}_2 \underline{y}} - \underbrace{(\underline{b} - \underline{A} \underline{x}_0)}_{\text{fest}} \|_2^2$$

min nach \underline{y} \uparrow Standard (lin. Ausgleichsproblem)

§8.4. Totales lineares Ausgleichsproblem

total = Messfehler auch in den Messorten \underline{t}_i

$\underline{A} \underline{x} = \underline{b}$ mit Fehler in \underline{b} auch in \underline{A}

Ben $\underline{A} \underline{x} = \underline{b}$ hat keine Lösung falls $\underline{b} \notin \text{Bild}(\underline{A})$

Ziel: finde $\hat{\underline{A}}, \hat{\underline{x}}, \hat{\underline{b}}$ sodass $\hat{\underline{A}} \hat{\underline{x}} = \hat{\underline{b}}$ (d.h. $\hat{\underline{b}} \in \text{Bild}(\hat{\underline{A}})$)

$$\hat{\underline{A}} \text{ } m \times n, \hat{\underline{b}} \in \mathbb{R}^m$$

"so nah wie möglich" an $\underline{A} \underline{x} = \underline{b}$

$$\underline{C} = \begin{bmatrix} \underline{A} & \underline{b} \end{bmatrix}; \hat{\underline{C}} = \begin{bmatrix} \hat{\underline{A}} & \hat{\underline{b}} \end{bmatrix}$$

Finde $\hat{\underline{C}}$ so dass $\| \underline{C} - \hat{\underline{C}} \|_F = \min$ Frobenius norm.

$$\| \underline{M} \|_F^2 = \sum_{i,j} |m_{ij}|^2$$

mit $\hat{\underline{C}} \in \text{Bild}(\hat{\underline{A}})$.

Ben $\text{Rang } \underline{A} = n \Rightarrow \text{Rang } (\hat{\underline{C}}) = n$. möchte auch

Lösung: Niedrigrangapproximation an \underline{C} :

$$\underline{C} = \underline{U} \underline{\Sigma} \underline{V}^T = \sum_{j=1}^{n+1} \sigma_j \underline{u}_j \underline{v}_j^H$$

$$\text{Definiere } \hat{\underline{C}} = \sum_{j=1}^n \sigma_j \underline{u}_j \underline{v}_j^H$$

↳ optimale Approx. an \underline{C} in der Menge der Matrizen von Rang n ist!

Ausserdem \underline{v}_j sind orthogonal $\Rightarrow \hat{\underline{C}} \underline{v}_{n+1} = 0$

$$\text{Falls } v_{n+1,n+1} \neq 0 \Rightarrow \hat{\underline{x}} = -\frac{1}{v_{n+1,n+1}} \underline{v}_{n+1}$$

$$\hat{\underline{b}} = \hat{\underline{A}} \hat{\underline{x}}$$

Beweis $\hat{A}\hat{x} = \hat{b} \Leftrightarrow \hat{A}\hat{x} - \hat{b} = 0 \Leftrightarrow \underbrace{\begin{bmatrix} \hat{A} & \hat{b} \end{bmatrix}}_{\in \mathbb{R}^{(n+1) \times (n+1)}} \begin{bmatrix} \hat{x} \\ -1 \end{bmatrix} = 0$

$\Rightarrow \begin{bmatrix} \hat{x} \\ -1 \end{bmatrix} \in \text{ker}(\hat{C}) \Rightarrow$

$\dim \text{ker}(\hat{C}) = 1, \underline{v}_{n+1} \in \text{ker} \hat{C}$

$\begin{bmatrix} \hat{x} \\ -1 \end{bmatrix} = k \underline{v}_{n+1}$

Definier $k = -\frac{1}{v_{n+1, n+1}} \Rightarrow \hat{x} = -\frac{1}{v_{n+1, n+1}} \underline{v}_{n+1}$

§ 8.5. Nichtlineare Ausgleichsrechnung.

Modell $f(t, \underline{x}) = y$

\hookrightarrow Parameter, aus Messungen zu bestimmen.

$f(t_i, \underline{x}) \approx y_i, i = 1, 2, \dots, m$

$\underline{F}(\underline{x}) = \begin{bmatrix} f(t_1, \underline{x}) - y_1 \\ f(t_2, \underline{x}) - y_2 \\ \vdots \\ f(t_m, \underline{x}) - y_m \end{bmatrix}$

$\underline{F}: \mathbb{R}^n \rightarrow \mathbb{R}^m$

Finde $\underline{x}^* \in \mathbb{R}^n$ sodass

$\|F(\underline{x}^*)\|_2^2$ Minimal!

$\Phi(\underline{x}) = \frac{1}{2} \| \underline{F}(\underline{x}) \|_2^2, \Phi: \mathbb{R}^n \rightarrow [0, \infty[$

zu minimieren!

Finde $\underline{x}^* : \nabla \Phi(\underline{x}^*) = 0 \leftarrow$ Nullstellen suche!

\rightarrow mit Newton-Verfahren

\hookrightarrow konvergiert lokal quadratisch.

$$D\phi(\underline{x}) = D\left(\frac{1}{2} \underline{F}(\underline{x})^T \underline{F}(\underline{x})\right) = \underline{D}F(\underline{x})^T \underline{F}(\underline{x}) \quad \left. \vphantom{D\phi(\underline{x})} \right\} \Rightarrow$$

$$D\phi(\underline{x}^*) = 0$$

$$\underline{D}F(\underline{x}^*)^T \underline{F}(\underline{x}^*) = 0$$

minimiere dafür müssen wir Newton Verfahren anwenden.

In Newton brauchen wir die Ableitung davon.

$$D(D\phi(\underline{x})) = H\phi(\underline{x}) \text{ Hesse Matrix von } \phi$$

$$H\phi(\underline{x}) = D\left(\underline{D}F(\underline{x})^T \underline{F}(\underline{x})\right) = \underline{D}F(\underline{x})^T \underline{D}F(\underline{x}) + \sum_{j=1}^m \underline{F}_j(\underline{x}) \underline{D}^2 \underline{F}_j(\underline{x})$$

Matrix

$$(H\phi(\underline{x}))_{ik} = \sum_{j=1}^m \left(\frac{\partial F_j}{\partial x_k}(\underline{x}) \frac{\partial F_j}{\partial x_i}(\underline{x}) + F_j(\underline{x}) \frac{\partial^2 F_j(\underline{x})}{\partial x_i \partial x_k} \right)$$

Newton-Schritt $\underline{x}^{(k+1)} = \underline{x}^{(k)} + \underline{\Delta}$ mit
 Newton-Korrektur $\underline{\Delta}$ aus LGS

$$\underline{H}\phi(\underline{x}^{(k)}) \underline{\Delta} = -\underline{D}F(\underline{x}^{(k)})^T \underline{F}(\underline{x}^{(k)})$$

Alternative: Gauss-Newton-Verfahren

Idee: linearisiere lokal in jedem Schritt
 einer Iteration \Rightarrow eine Folge von
 linearen Ausgleichsprobleme

linearisiere

$$\underset{\underline{x} \in \mathbb{R}^n}{\operatorname{argmin}} \|F(\underline{x})\|_2^2 \approx \underset{\underline{x} \in \mathbb{R}^n}{\operatorname{argmin}} \|F(\underline{x}^{(0)}) + \underline{D}F(\underline{x}^{(0)}) (\underline{x} - \underline{x}^{(0)})\|_2^2$$

$$= \underset{\underline{x} \in \mathbb{R}^n}{\operatorname{argmin}} \|\underline{A} \underline{x} - \underline{b}\|_2^2$$

mit $\underline{A} = \underline{D}F(\underline{x}^{(0)})$ und $\underline{b} = F(\underline{x}^{(0)}) - \underline{D}F(\underline{x}^{(0)}) \underline{x}^{(0)}$

$$\underline{x}^{(0)} \xrightarrow{\text{lin LSP}} \underline{x}^{(1)} \xrightarrow{\text{lin LSP}} \underline{x}^{(2)} \rightarrow \dots \rightarrow \underline{x}^{(k)}$$

$$\underline{x}^{(k+1)} = \underline{x}^{(k)} + \underline{\Delta}^{(k)}, \quad \underline{\Delta}^{(k)} = \arg \min_{\underline{\Delta}} \left\| \underline{F}(\underline{x}^{(k)}) + \underline{D} \underline{\Delta} \right\|_2^2$$

Nachteil: lineare Konvergenz.

Professionelle Software: Levenberg-Marquadt

§9 Eigenwerte

§9.1 Motivation & Grundlagen

* kein Alg. die exakt die EW, EV berechnet
⇒ iterativ

* Software → eig(A) kostet $O(N^3)$ für $N \times N$
eigh(A) kostet $O(N^2)$ für $A^H = A$

↳ QR-Algorithmus mit shift

* EV werden typischerweise nicht so gut approximiert!

§9.2 Potenzmethoden A $n \times n$ Matrix.

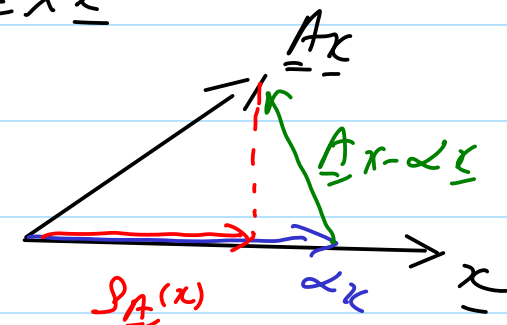
Def Rayleigh-Quotienten:

$$\rho_A(\underline{x}) = \frac{\underline{x}^H A \underline{x}}{\underline{x}^H \underline{x}}, \quad \underline{x} \neq \underline{0}$$

Bem

Falls \underline{x} EV von A : $A \underline{x} = \lambda \underline{x}$

$$\rho_A(\underline{x}) = \frac{\underline{x}^H \lambda \underline{x}}{\underline{x}^H \underline{x}} = \lambda$$



Bem

$$\rho_A(\underline{x}) = \underset{\alpha}{\operatorname{argmin}} \|A \underline{x} - \alpha \underline{x}\|_2$$

Ü: Beweis.

$$\text{Bem } D \rho_A(\underline{x}) = \frac{(\underline{x}^T \underline{x})(A^T + A) \underline{x} - 2(\underline{x}^T A \underline{x}) \underline{x}}{(\underline{x}^T \underline{x})^2} = \frac{(A^T + A) - 2 \rho_A(\underline{x}) I}{(\underline{x}^T \underline{x})} \underline{x}$$

$$\underline{x} \text{ EV von } A \Rightarrow D \rho_A(\underline{x}) = \frac{(\underline{x}^T \underline{x}) 2 \lambda \underline{x} - 2 \lambda (\underline{x}^T \underline{x}) \underline{x}}{(\underline{x}^T \underline{x})^2} = 0$$

=> EV ein Stationärpunkt von $f_A(\cdot)$

Taylor für $f_A(\cdot)$ um ein EV:

$$f_A(\underline{x}) - f_A(\text{EV}) = O(\|\underline{x} - \text{EV}\|_2^2) \text{ für } \underline{x} \text{ nah um EV.}$$

Direkte Potenzmethode

Ziel: finde das betragsgrösste EW von A und ein EV dazu

Annahme A diagonalisierbar: $S^{-1}AS = \text{diag}(\lambda_1, \dots, \lambda_n)$

$$|\lambda_1| \boxed{>} |\lambda_2| \geq |\lambda_3| \geq \dots \geq |\lambda_n|$$

EV stehen in der Spalten von S , $\|\underline{s}_j\|_2 = 1$

$$\mathbb{R}^n \ni \underline{x} = \sum_{j=1}^n a_j \underline{s}_j \text{ mit } a_1 \neq 0, \text{ sonst beliebig}$$

$$A \underline{x} = \sum_{j=1}^n a_j A \underline{s}_j = \sum_{j=1}^n a_j \lambda_j \underline{s}_j$$

$$A^2 \underline{x} = \sum_{j=1}^n a_j \lambda_j^2 \underline{s}_j$$

$$\dots$$
$$A^k \underline{x} = \sum_{j=1}^n a_j \lambda_j^k \underline{s}_j = \lambda_1^k \left(a_1 \underline{s}_1 + \sum_{j=2}^n \left(\frac{\lambda_j}{\lambda_1} \right)^k a_j \underline{s}_j \right)$$

$$\left| \frac{\lambda_j}{\lambda_1} \right| < 1 \Rightarrow \left| \frac{\lambda_j}{\lambda_1} \right|^k \ll 1$$

Bem Für grosses k zeigt $A^k \underline{x}$ in der Richtung von \underline{s}_1

$$\frac{A^k \underline{x}}{\|A^k \underline{x}\|_2} \rightarrow \pm \underline{s}_1$$

Idee: notiere $\underline{x}_k = A^k \underline{x}$ und berechne $f_A(\underline{x}_k) =$

$$= \frac{\underline{x}_k^H \underline{A} \underline{x}_k}{\underline{x}_k^H \underline{x}_k} = \frac{1}{\underline{x}_k^H \underline{x}_k} \left(\underline{x}_k^H \sum_{j=1}^n a_j \lambda_j^{k+1} \underline{s}_j \right) =$$

$$= \lambda_1 + O\left(\left|\frac{\lambda_2}{\lambda_1}\right|^k\right)$$

Potenzmethode

Wähle \underline{x}_0 zufällig, $\|\underline{x}_0\|=1$

für $k=1, 2, \dots$

$$\underline{w} = \underline{A} \underline{x}_{k-1}$$

$$\underline{x}_k = \frac{\underline{w}}{\|\underline{w}\|}$$

$$\lambda = \underline{x}_k^H \underline{A} \underline{x}_k$$

Bem Falls \underline{A} normal \Rightarrow EV orthogonal

$$\Rightarrow \text{Fehler } O\left(\left|\frac{\lambda_2}{\lambda_1}\right|^{2k}\right)$$

\Rightarrow quadratische Konvergenz

\hookrightarrow Grundlage für PageRank-Alg. von Google!

Beweis $\underline{A} = \underline{A}^H$ ONB von EV

$$\underline{x} = \sum_{c=1}^n c_j \underline{u}_j = \underline{U} \underline{c} \quad \text{mit } \underline{U} \text{ unitär.}$$

$$\frac{\underline{x}^H \underline{A} \underline{x}}{\underline{x}^H \underline{x}} = \frac{\underline{c}^H \underline{U}^H \underline{A} \underline{U} \underline{c}}{\underline{c}^H \underline{U}^H \underline{U} \underline{c}} = \frac{\underline{c}^H \underline{\Lambda} \underline{c}}{\underline{c}^H \underline{c}} =$$

$$= \frac{\lambda_1 |c_1|^2 + \lambda_2 |c_2|^2 + \dots + \lambda_n |c_n|^2}{|c_1|^2 + \dots + |c_n|^2} = \lambda_1 + \delta \cdot \left|\frac{\lambda_2}{\lambda_1}\right|^{2k} + \dots$$

Theorem Potenzmethode liefert eine Iteration die

linear konvergiert gegen λ_1

mit der Rate $\left|\frac{\lambda_2}{\lambda_1}\right|$.

Ziel Finde das kleinste EW:

Annahme A invertierbar.

$$\underline{A} \underline{x} = \lambda \underline{x} \Rightarrow \underline{x} = \lambda \underline{A}^{-1} \underline{x}$$

$$\underline{A}^{-1} \mid \quad \frac{1}{\lambda} \underline{x} = \underline{A}^{-1} \underline{x}$$

⇒ betragskleinste EW: $\lambda_n \Rightarrow \frac{1}{\lambda_n} \underline{x} = \underline{A}^{-1} \underline{x}$

$\frac{1}{\lambda_n}$ ist der betragsgrösste EW von A⁻¹

⇒ "inverse Potenzmethode" = Potenzmethode für A⁻¹

Bem Wir berechnen nicht A⁻¹ sondern nur einmal eine LU-Zerlegung von A (strukturhaltend)

Dann löse LGS mit Matrizen L, U um A⁻¹ x zu implementieren.

Ziel Gegeben $\alpha \in \mathbb{C}$, finde EW nah an α

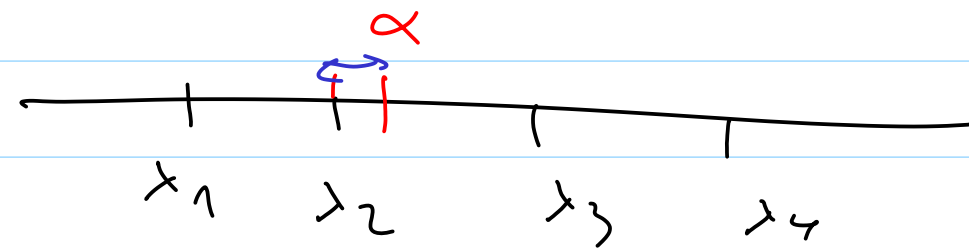
$$|\alpha - \lambda| = \min \{ |\alpha - \mu| \text{ mit } \mu \in \text{EW von } \underline{A} \}$$

$$\underline{A} \underline{x} = \lambda \underline{x} \Leftrightarrow \underline{A} \underline{x} - \alpha \underline{I} \underline{x} = (\lambda - \alpha) \underline{x} \Leftrightarrow$$

$$(\underline{A} - \alpha \underline{I}) \underline{x} = (\lambda - \alpha) \underline{x} \Leftrightarrow \frac{1}{\lambda - \alpha} \underline{x} = (\underline{A} - \alpha \underline{I})^{-1} \underline{x}$$

⇒ Potenzmethode für $(\underline{A} - \alpha \underline{I})^{-1} \Rightarrow \frac{1}{\lambda - \alpha} \Rightarrow \lambda$

"shifted inverse iteration"



Bem Die Potenzmethode ist schneller wenn $\alpha \approx \lambda_j$

⇒ Idee: wähle α adaptiv, z.B. $\alpha = \rho_{\underline{A}}(x^{(k-1)})$ im k-ten Schritt

⇒ beschleunigte Konvergenz

Rayleigh-Quotienten-Iteration.

Ben Wir brauchen immer einen guten Startwert.

z.B. für RQI einige Schritte von shifted inverse iteration.

⇒ Konvergenzordnung 3!!!

$$\underline{A} = \underline{A}^H; \quad \underline{x} = \sum_{j=1}^n c_j \underline{u}_j = \underline{U} \underline{c} \quad \text{mit } \underline{u}_1, \dots, \underline{u}_n \in V$$

\underline{x} beliebig

$$f_{\underline{A}}(\underline{x}) = \frac{\underline{x}^H \underline{A} \underline{x}}{\underline{x}^H \underline{x}} = \frac{\lambda_1 |c_1|^2 + \dots + \lambda_n |c_n|^2}{\|\underline{x}\|_2^2}$$

$(\lambda_1 \leq \lambda_2 \leq \dots \leq \lambda_n)$

$$\lambda_1 \leq f_{\underline{A}}(\underline{x}) \leq \lambda_n$$

$$f_{\underline{A}}(\underline{x}) \in [\lambda_1, \lambda_n]$$

$$\lambda_1 = \min_{\underline{x} \in \mathbb{C}^n} f_{\underline{A}}(\underline{x}) \quad \text{erreicht } \underline{c} = \begin{bmatrix} 1 \\ 0 \\ \vdots \\ 0 \end{bmatrix}$$

$$\lambda_n = \max_{\underline{x} \in \mathbb{C}^n} f_{\underline{A}}(\underline{x}) \quad \text{erreicht } \underline{c} = \begin{bmatrix} 0 \\ 0 \\ \vdots \\ 1 \end{bmatrix}$$

Beh $\underline{x} \in \text{span}\{\underline{u}_1\}^\perp \Rightarrow c_1 = 0, \underline{x} = c_2 \underline{u}_2 + \dots + c_n \underline{u}_n$

$$f_{\underline{A}}(\underline{x}) \geq \lambda_2 \quad \text{erreicht f\u00fcr } \underline{c} = \begin{bmatrix} 0 \\ 1 \\ 0 \\ \vdots \\ 0 \end{bmatrix}$$

$$\lambda_2 = \min_{\substack{\underline{x} \in \mathbb{C}^n \\ \underline{x} \in \text{span}\{\underline{u}_1\}^\perp}} f_{\underline{A}}(\underline{x}) \quad ; \quad \lambda_{n-1} = \max_{\substack{\underline{x} \in \mathbb{C}^n \\ \underline{x} \in \text{span}\{\underline{u}_n\}^\perp}} f_{\underline{A}}(\underline{x})$$

und so weiter

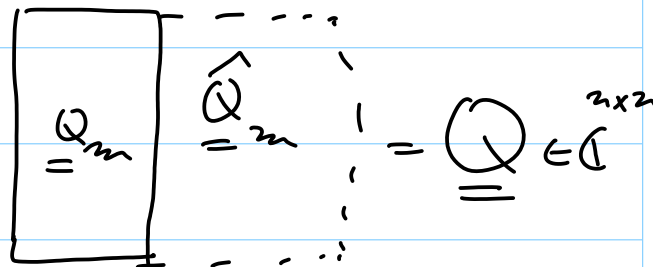
$$\lambda_k = \min_{\substack{\underline{x} \in \mathbb{C}^n \\ \underline{x} \in \text{span}\{\underline{u}_1, \dots, \underline{u}_{k-1}\}^\perp}} f_{\underline{A}}(\underline{x}) = \min_{\substack{\underline{x} \in \mathbb{C}^n \\ \underline{x} \in \text{span}\{\underline{u}_k, \dots, \underline{u}_n\}^\perp}} f_{\underline{A}}(\underline{x}) =$$

$$= \max_{\substack{\underline{x} \in \mathbb{C}^n \\ \underline{x} \in \text{span}\{\underline{u}_1, \dots, \underline{u}_k\}^\perp}} f_{\underline{A}}(\underline{x}) = \max_{\substack{\underline{x} \in \mathbb{C}^n \\ \underline{x} \in \text{span}\{\underline{u}_{k+1}, \dots, \underline{u}_n\}^\perp}} f_{\underline{A}}(\underline{x})$$

Theorem [Courant-Fisher]

$$\lambda_k = \min_{\dim U = k} \max_{x \in U} \text{Re} \langle Ax, x \rangle = \max_{\dim U = n-k+1} \min_{x \in U} \text{Re} \langle Ax, x \rangle$$

Konsequenz $Q_m \in \mathbb{C}^{n \times m}$ mit $Q_m^H Q_m = I$
 erweitere Q_m auf ONB in \mathbb{C}^n



Theorem [Cauchy]

$$A = \begin{bmatrix} H & B^H \\ \underline{B} & R \end{bmatrix} \quad \text{mit } H \in \mathbb{C}^{m \times m} \quad \text{mit } \in \mathbb{K} \quad \theta_1, \dots, \theta_m$$

(mit $m \ll n$)

$$Q_m^H A Q_m = \begin{bmatrix} Q_m^H A Q_m & Q_m^H A \hat{Q}_m \\ \hat{Q}_m^H A Q_m & \hat{Q}_m^H A \hat{Q}_m \end{bmatrix}$$

hat dieselben EW wie A

Dann $\lambda_k \in \theta_k \leq \lambda_{k+n-m}$

Idee Für $m \ll n$, wähle Q_m so dass
 Bild $Q_m \approx \text{span} \{ u_1, \dots, u_m \}$
 $\rightarrow \rightarrow$ EV von A

\Rightarrow gute Approximation $\theta_k \approx \lambda_k$ für $k=1, \dots, m$.

Wie? modifiziertes Gram-Schmidt für

$$\{\underline{v}, \underline{A}\underline{v}, \underline{A}^2\underline{v}, \dots, \underline{A}^{m-1}\underline{v}\}$$

Krylov-Verfahren

(Arnoldi, Lanczos)

§ 9.3 Krylov-Verfahren

für "kleine" Matrizen eig (QR-Alg.) gut
für "grosse" Matrizen eig zu langsam

ausserdem QR-Alg. zerstört Struktur

Krylov-Verfahren: grosse, dünn besetzte Matrizen

Def Sei $0 \neq \underline{z} \in \mathbb{C}^n$, $\underline{A} \in \mathbb{C}^{n \times n}$

$$\underline{\mathcal{K}}_l(\underline{A}, \underline{z}) := \text{span}\{\underline{z}, \underline{A}\underline{z}, \underline{A}^2\underline{z}, \dots, \underline{A}^{l-1}\underline{z}\} =$$

$$= \{p(\underline{A})\underline{z}; p = \text{Polynom vom Grad} \leq l-1\}$$

Krylov-Raum

Suche eine ONB in $\underline{\mathcal{K}}_l(\underline{A}, \underline{z})$

$$\underline{\mathcal{K}}_1 = \text{span}\{\underline{z}\} \subset \text{span}\{\underline{z}, \underline{A}\underline{z}\} = \underline{\mathcal{K}}_2 \subset \underline{\mathcal{K}}_3 \subset \dots \subset \underline{\mathcal{K}}_l$$

iterativ: gegeben $\underline{v}_1, \dots, \underline{v}_l$ ONB in $\underline{\mathcal{K}}_l(\underline{A}, \underline{z})$
mit

$$\text{span}\{\underline{v}_1, \dots, \underline{v}_j\} = \underline{\mathcal{K}}_j(\underline{A}, \underline{z}) \text{ für } j=1, 2, \dots, l$$

baue

$$\underline{v}_1, \dots, \underline{v}_l, \underline{v}_{l+1} \text{ ONB in } \underline{\mathcal{K}}_{l+1}(\underline{A}, \underline{z})$$

$$\underline{\mathcal{K}}_{l+1}(\underline{A}, \underline{z}) = \text{span}\{\underline{z}, \underline{A}\underline{z}, \dots, \underline{A}^{l-1}\underline{z}, \underline{A}^l\underline{z}\}$$

entweder $\underline{A}^l\underline{z} \in \underline{\mathcal{K}}_l(\underline{A}, \underline{z})$, d.h.

$\underline{A}^l\underline{z}$ lin. abhängig von $\underline{z}, \underline{A}\underline{z}, \dots, \underline{A}^{l-1}\underline{z}$

oder $\underline{A}^l\underline{z} \notin \underline{\mathcal{K}}_l(\underline{A}, \underline{z}) \Rightarrow \underline{A}^l\underline{z} \in \underline{\mathcal{K}}_{l+1} \setminus \underline{\mathcal{K}}_l$

dann \underline{v}_{l+1} aus (modifizierten) Gram-Schmidt

Algorithmus [Arnoldi Prozess]

\underline{z} = beliebig.

$$\underline{v}_1 = \underline{z} / \|\underline{z}\|$$

für $l = 1, 2, \dots, k-1$:

$l=1$

$l=2$

$l=3$

$$\underline{\tilde{v}} = \underline{A} \underline{v}_l$$

für $j = 1, 2, \dots, l$:

$$h_{jl} = \underline{v}_j^H \underline{\tilde{v}}$$

h_{11}

h_{12}

h_{13}

h_{22}

h_{23}

h_{33}

mod. GS

$$\underline{\tilde{v}} = \underline{\tilde{v}} - h_{jl} \underline{v}_j$$

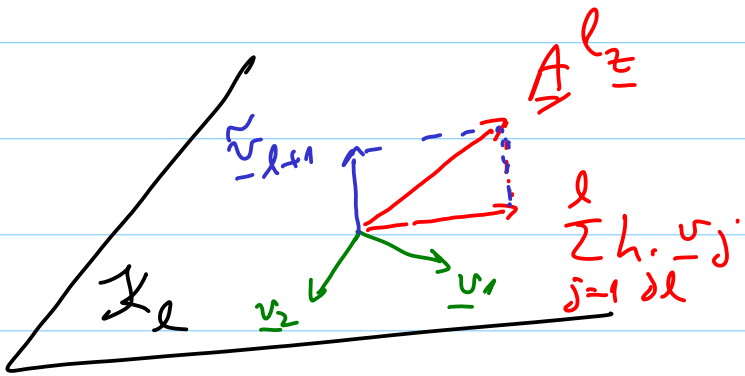
h_{21}

h_{32}

h_{43}

$$h_{l+1,l} = \|\underline{\tilde{v}}\|$$

$$\underline{v}_{l+1} = \underline{\tilde{v}} / h_{l+1,l}$$



$$\underline{\tilde{v}}_{l+1} = \underline{A} \underline{z}_l - \sum_{j=1}^l h_{jl} \underline{v}_j$$

$$\underline{v}_{l+1} = \frac{\underline{\tilde{v}}_{l+1}}{\|\underline{\tilde{v}}_{l+1}\|}$$

Dabei sind $h_{jl} = \underline{v}_j^H \underline{A} \underline{v}_l$

(da $\underline{v}_1, \dots, \underline{v}_l$ ONB des \mathcal{K}_l)

Bem Falls $h_{l+1,l} = 0 \Rightarrow$ Abbruch der Iteration

$$\underline{A} \underline{v}_l \in \mathcal{X}_l(\underline{A}, \underline{z})$$

$$\underline{V}_l = \begin{bmatrix} \underline{v}_1 & \underline{v}_2 & \dots & \underline{v}_l \end{bmatrix} \in \mathbb{C}^{n \times l}$$

$$\underline{H}_l = \begin{bmatrix} h_{11} & h_{12} & h_{13} \\ h_{21} & h_{22} & h_{23} \\ 0 & h_{32} & h_{33} \\ \hline 0 & 0 & h_{43} \end{bmatrix} \in \mathbb{C}^{l+1, l}$$

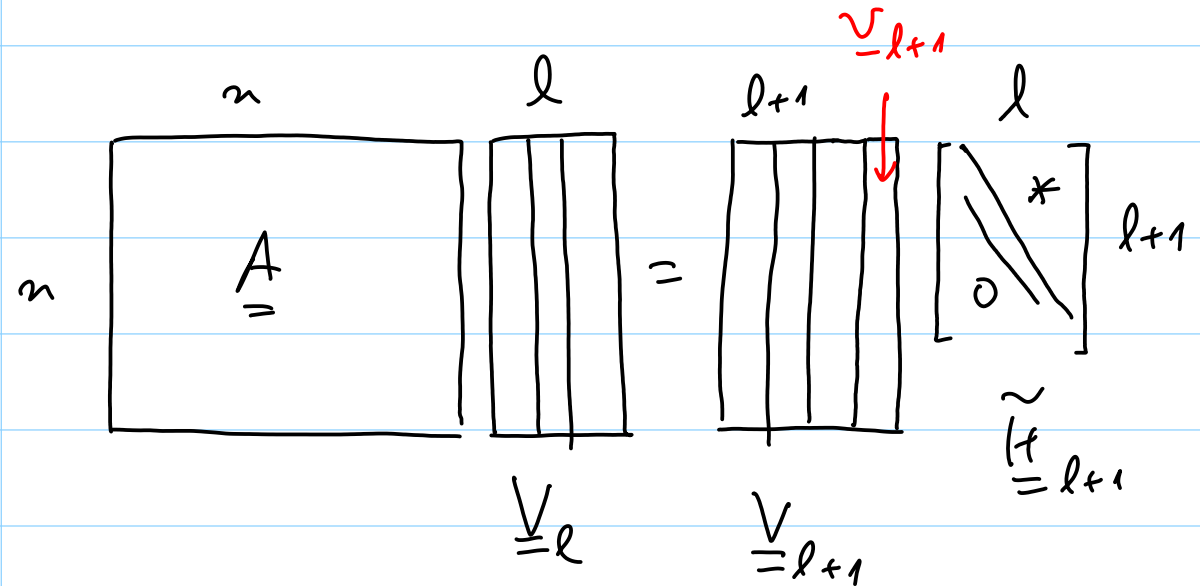
$$\underline{H}_l \in \mathbb{C}^{l, l}$$



\underline{H}_l obere Hessenbergmatrix

das heisst:

$$\underline{A} \underline{V}_l = \underline{V}_{l+1} \tilde{\underline{H}}_l = \begin{bmatrix} \underline{v}_{l+1} \\ \dots \\ 0 \end{bmatrix} \begin{bmatrix} \dots & 0 & h_{l+1,l} \end{bmatrix} + \underline{V}_l \underline{H}_l$$



Bez 1) $\underline{V}_l^H \underline{V}_l = \underline{I}_l$ $\begin{bmatrix} \underline{V}_l^H \\ \underline{V}_l \end{bmatrix} = \begin{bmatrix} 1 & 0 \\ 0 & \ddots & 0 \\ 0 & \dots & 1 \end{bmatrix}_l$

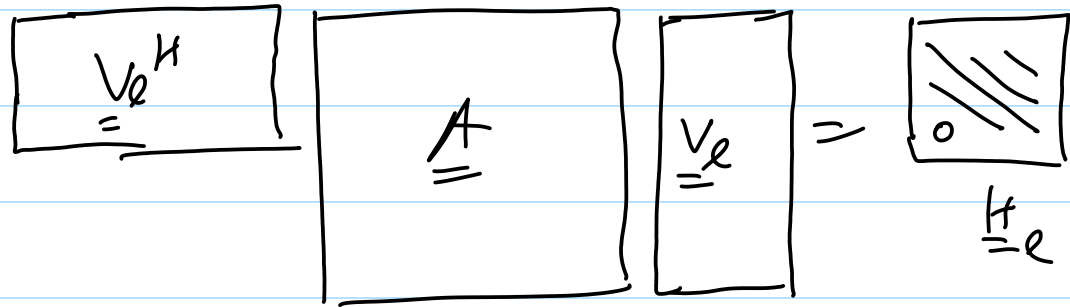
Aus Konstruktion:

$$\underline{A} \underline{v}_k = h_{k+1,k} \underline{v}_{k+1} + \sum_{j=1}^k h_{jk} \underline{v}_j$$

für $k = 1, 2, \dots, l$

2) $\underline{v}_l^H \cdot | \Rightarrow \underline{v}_l^H \underline{A} \underline{v}_l = \underline{v}_l^H \underline{v}_{l+1} \boxed{0 \dots k} + \underline{v}_l^H \underline{v}_l \underline{H}_l$
 $= \underline{0} + \underline{I}_l \underline{H}_l = \underline{H}_l$

$\Rightarrow \underline{v}_l^H \underline{A} \underline{v}_l = \underline{H}_l$

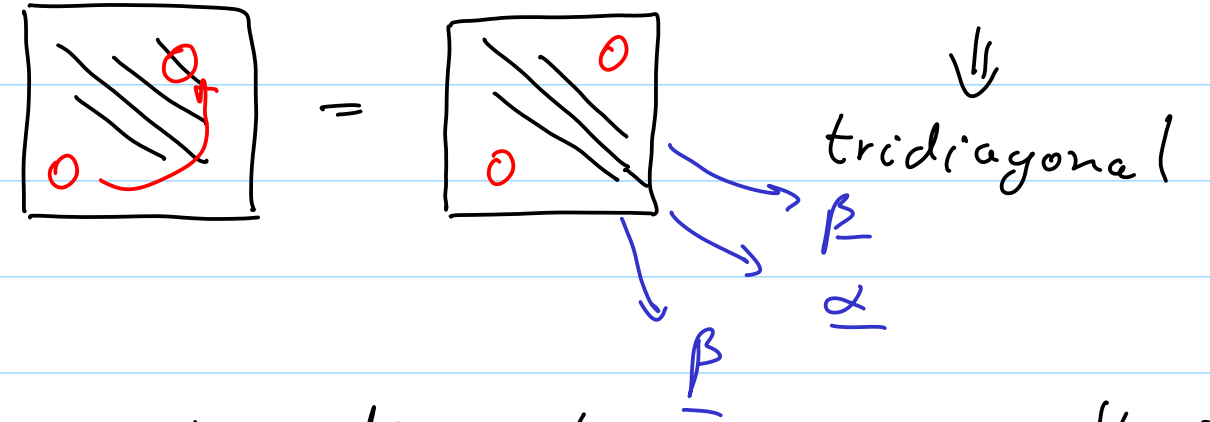


3) falls $h_{l+1,l} = 0 \Rightarrow \mathcal{K}_{l+1} = \mathcal{K}_l$ und

$\underline{A} \underline{v}_l = \underline{v}_l \underline{H}_l$

4) falls $\underline{A}^H = \underline{A}$ (\underline{A} Hermito-symmetrisch):

$\underline{H}_l^H = (\underline{v}_l^H \underline{A} \underline{v}_l)^H = \underline{v}_l^H \underline{A}^H \underline{v}_l = \underline{v}_l^H \underline{A} \underline{v}_l = \underline{H}_l$
 $\Rightarrow \underline{H}_l$ Hermito symmetrisch und obere Hessenberg



\Rightarrow es reicht, die Vektoren $\underline{\alpha}, \underline{\beta}$ um \underline{H}_l zu speichern.

und die innere Schleife im Arnoldi-Prozess hat die Länge 2

$\underline{\tilde{v}}_{l+1} = \underline{A} \underline{v}_l - h_{l,l} \underline{v}_l - h_{l-1,l} \underline{v}_{l-1}$

Lanços - Verfahren $O(nk)$

Arnoldi - Verfahren $O(nk^2)$

Allgemeinen Namen: Krylov-Raum-Verfahren

Theorem Falls $h_{l+1,l} = 0$ und $h_{j+1,j} \neq 0$ für $j = 1, 2, \dots, l-1$, dann

(1) jeder EW von \underline{H}_l ist auch EW von \underline{A}

(2) falls \underline{A} regulär, dann gibt es $\underline{y} \in \mathbb{C}^l$ sodass $\underline{A} \underline{x} = \underline{b}$ mit $\underline{x} = \underline{V}_l \underline{y}$

Theorem 7.4.12. Seien $\lambda_1 \geq \lambda_2 \geq \dots \geq \lambda_n$ und $\mu_1^{(l)} \geq \mu_2^{(l)} \geq \dots \geq \mu_l^{(l)}$ die Eigenwerte der Hermite-symmetrischen Matrix $\mathbf{A} \in \mathbb{C}^{n \times n}$, bzw. von $\mathbf{H}_l = \mathbf{V}_l^H \mathbf{A} \mathbf{V}_l$ für $l = 1, 2, \dots$. Dann gelten für $1 \leq j \leq l$ die Ungleichungsketten

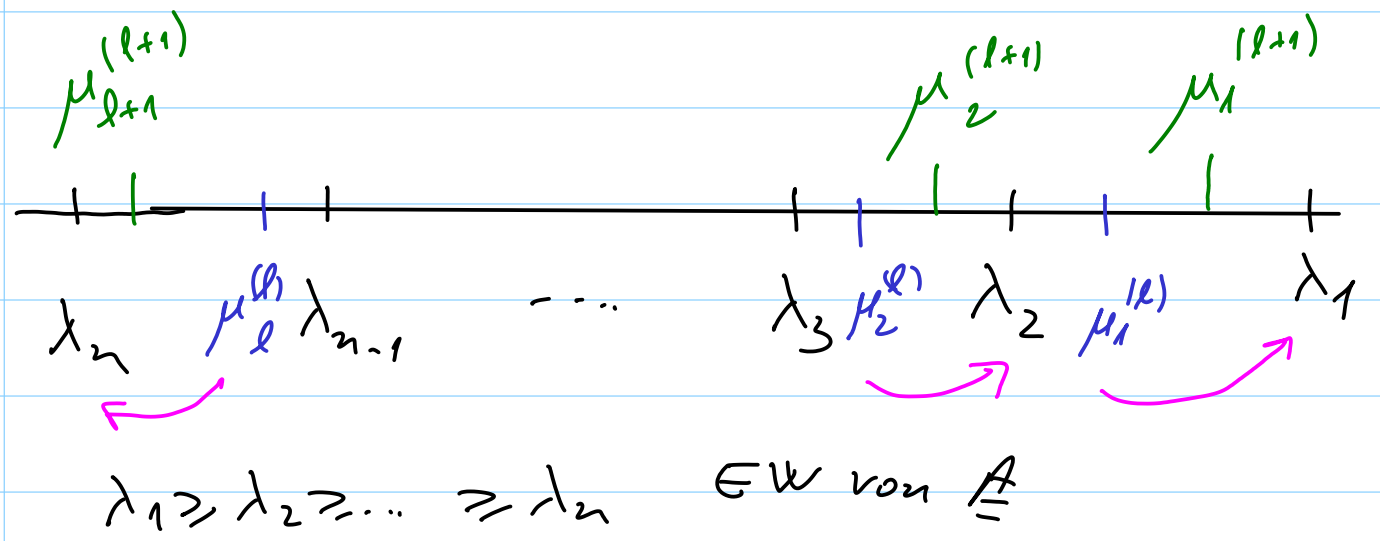
$$\lambda_{n-j+1} \leq \mu_{l+1-j+1}^{(l+1)} \leq \mu_{l-j+1}^{(l)}$$

und

$$\mu_j^{(l)} \leq \mu_j^{(l+1)} \leq \lambda_j.$$

skript: einfache Implementierung.

ARPACK \rightarrow eigvals



$$\mu_1^{(l)} \geq \mu_2^{(l)} \geq \dots \geq \mu_l^{(l)} \text{ EW von } \underline{H}_l$$

$$\mu_1^{(l+1)} \geq \mu_2^{(l+1)} \geq \dots \geq \mu_{l+1}^{(l+1)} \text{ EW von } \underline{H}_{l+1}$$

§ 10 Lineare Anfangswertprobleme

1. Fall

$$\begin{cases} \dot{\underline{y}} = \underline{A} \underline{y} & \text{Falls } \underline{A} \text{ diagonalisierbar} \\ \underline{y}(0) = \underline{y}_0 & \underline{A} = \underline{S}^{-1} \underline{D} \underline{S} \end{cases}$$

Variablenwechsel $\hat{\underline{y}} = \underline{S}^{-1} \underline{y} \Rightarrow$ entkoppeln

$$\begin{cases} \dot{\hat{y}}_1 = \lambda_1 \hat{y}_1 \\ \dots \\ \dot{\hat{y}}_d = \lambda_d \hat{y}_d \end{cases} \Rightarrow \hat{y}_i(t) = \left(\underline{S}^{-1} \underline{y}_0 \right)_i e^{\lambda_i t} \text{ für } t \in \mathbb{R}$$

$$\underline{y}(t) = \underline{S} \begin{bmatrix} e^{\lambda_1 t} & & \\ & \ddots & \\ & & e^{\lambda_d t} \end{bmatrix} \underline{S}^{-1} \underline{y}_0$$

OK für kleines d oder für exact/analytisch diagonalisierbare \underline{A} , sonst (z.B. $d \geq 5$) \rightarrow instabil.

Für $d = 5, 6, \dots, 20 ; 50, 100$

$$\underline{y}(t) = \underset{\text{num}}{e^{\underline{A}t}} \underline{y}_0 \quad \text{Padé-Approximation}$$

$$\hookrightarrow \exp_m(\underline{A}t) \underline{y}_0$$

d gross, \underline{A} dünn besetzt: Krylov-Verfahren.

Krylov: für \underline{A} gibt es $\underline{V} \in \mathbb{C}^{d \times m}$ mit orthonormalen Spalten

$$\underline{V}_m^H \underline{A} \underline{V}_m = \underline{H}_m \quad m \times m \quad \text{mit } m \ll d$$

\hookrightarrow obere Hessenberg Matrix.

$$\underline{y}(t) \in \mathbb{R}^d$$

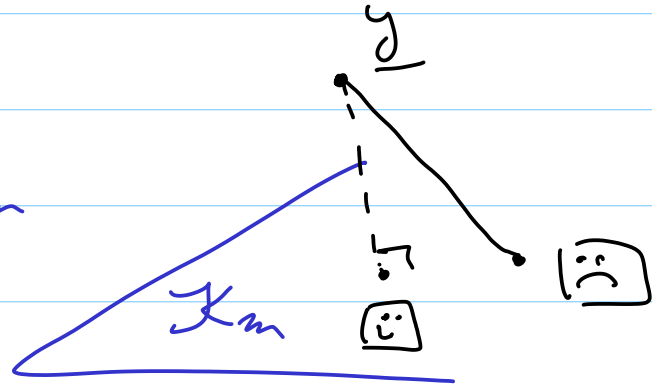
$\ll \cup$

Spalten von \underline{V}
 $\text{span}\{\underline{v}_1, \dots, \underline{v}_m\}$
 ONB in \mathbb{K}_m

$$\underline{u}_m(t) \in \mathcal{K}_m(\underline{A}, \underline{y}_0) = \text{span}\{\underline{y}_0, \underline{A}\underline{y}_0, \dots, \underline{A}^{m-1}\underline{y}_0\}$$

$$\dot{\underline{y}}(t) - \underline{A} \underline{y}(t) = 0$$

$$\left(\dot{\underline{u}}_m(t) - \underline{A} \underline{u}_m(t) \right) \perp \mathcal{K}_m$$



$$\left\langle \underline{w}, \sum_{k=1}^m \dot{c}_k(t) \underline{v}_k - \sum_{k=1}^m c_k(t) \underline{A} \underline{v}_k \right\rangle = 0$$

für alle $\underline{w} \in \mathcal{K}_m(\underline{A}, \underline{y}_0)$

Wähle $\underline{w} = \underline{v}_1 \Rightarrow$

$$\left\langle \underline{v}_1, \sum_{k=1}^m \dot{c}_k(t) \underline{v}_k \right\rangle = \left\langle \underline{v}_1, \sum_{k=1}^m c_k(t) \underline{A} \underline{v}_k \right\rangle$$

$$\left\langle \underline{w}, \dot{\underline{u}}_m(t) - \underline{A} \underline{u}_m(t) \right\rangle = 0 \text{ für alle } \underline{w} \in \mathcal{K}_m.$$

Ersetze $\begin{cases} \dot{\underline{y}}(t) = \underline{A} \underline{y}(t) \\ \underline{y}(0) = \underline{y}_0 \end{cases}$ durch $\begin{cases} \text{finde } \underline{u}_m(t) \in \mathcal{K}_m \text{ so dass} \\ \left\langle \underline{w}, \dot{\underline{u}}_m(t) - \underline{A} \underline{u}_m(t) \right\rangle = 0 \\ \text{für alle } \underline{w} \in \mathcal{K}_m \end{cases}$

$$\sum_{k=1}^m \dot{c}_k(t) \langle \underline{v}_1, \underline{v}_k \rangle = \sum_{k=1}^m c_k(t) \langle \underline{v}_1, \underline{A} \underline{v}_k \rangle$$

$$\underline{v}_1^H \underline{v}_k = 0 \text{ falls } k \neq 1 \\ 1 \text{ für } k=1$$

$$\underline{v}_1^H \underline{A} \underline{v}_k = (H_m)_{1k}$$

$$\underline{u}_m(t) \in \mathcal{K}_m = \text{span} \{ \underline{v}_1, \dots, \underline{v}_m \} \Rightarrow$$

$$\underline{u}_m(t) = \sum_{k=1}^m c_k(t) \underline{v}_k$$

$$\underline{c}(t) = \begin{bmatrix} c_1(t) \\ \vdots \\ c_m(t) \end{bmatrix} \in \mathbb{C}^m$$

$$\Rightarrow \dot{c}_1(t) = \sum_{k=1}^m (H_m)_{1k} c_k(t)$$

Einsetzen \Rightarrow

Für $\underline{w} = \underline{v}_2, \dots, \underline{v}_m$ analog \Rightarrow

$$\left\{ \begin{array}{l} \dot{\underline{c}}(t) = \underline{H}_m \underline{c}(t) \\ \underline{y}(0) = \underline{y}_0 \Rightarrow \underline{c}(0) = \|\underline{y}_0\| \begin{bmatrix} 1 \\ \vdots \\ 0 \end{bmatrix} \in \mathbb{R}^m \end{array} \right.$$

m klein
↓
kann mit
Pade' lösen!

$\Rightarrow \underline{c}(t) = \exp(\underline{H}_m t) \underline{c}(0)$

$\underline{u}_m(t) = \sum_{k=1}^m c_k(t) \underline{v}_k = \|\underline{y}_0\| \underline{v}_m e^{\underline{H}_m t} \begin{bmatrix} 1 \\ \vdots \\ 0 \end{bmatrix}$

2 Fall $\dot{\underline{y}}(t) = \underline{A} \underline{y}(t) + \underline{g}(t)$ inhomogener Fall

Variation der konstanten:

$\underline{y}(t) = e^{\underline{A}(t-t_0)} \underline{y}_0 + \int_{t_0}^t e^{\underline{A}(t-s)} \underline{g}(s) ds$

3. Fall

$\dot{\underline{y}}(t) = \underline{A}(t) \underline{y}(t)$ Magnus-Integratoren

Unter bestimmten Voraussetzungen

$\underline{y}(t) = e^{\underline{\Omega}(t, t_0)} \underline{y}_0$ Magnus Entwicklung

$\underline{\Omega} = \sum_{k=1}^{\infty} \underline{\Omega}_k$

$[A, B] = AB - BA$

$\Omega_1 = \int_{t_0}^t \underline{A}(\tau_1) d\tau_1,$

$\Omega_2 = \frac{1}{2} \int_{t_0}^t \int_{t_0}^{\tau_1} [\underline{A}(\tau_1), \underline{A}(\tau_2)] d\tau_2 d\tau_1,$

$\Omega_3 = \frac{1}{12} \int_{t_0}^t \int_{t_0}^{\tau_1} \int_{t_0}^{\tau_2} [[\underline{A}(\tau_1), \underline{A}(\tau_2)], \underline{A}(\tau_3)] + [\underline{A}(\tau_1), [\underline{A}(\tau_2), \underline{A}(\tau_3)]] d\tau_3 d\tau_2 d\tau_1.$

$[\underline{A}(\tau_1), \underline{A}(\tau_2)] = \underline{A}(\tau_1) \underline{A}(\tau_2) - \underline{A}(\tau_2) \underline{A}(\tau_1)$

Kommutator

Idee Statt $\underline{\dot{y}} = \underline{A}(t) \underline{y}$ löse $\underline{\dot{y}} = \underline{\hat{A}}(t) \underline{\hat{y}}$

wobei
$$\underline{\hat{A}}(t) = \sum_{\bar{i}=1}^{\Delta} l_{\bar{i}}(t) \underline{A}(t_n + \epsilon_{\bar{i}} h)$$

$l_{\bar{i}}(t) =$ Lagrange-Polynom in $t_n + \epsilon_{\bar{i}} h$
 $\epsilon_{\bar{i}} =$ Quadraturknoten in $[0, 1]$

$$t_n + \epsilon_{\bar{i}} h \in [t_n, t_n + h]$$

$\underline{\hat{A}}(t) =$ Polynom vom Grad Δ in t auf $[t_n, t_n + h]$

$$\underline{\hat{A}}(t_n + \epsilon_{\bar{i}} h) = \underline{A}(t_n + \epsilon_{\bar{i}} h) \quad \text{für } \bar{i} = 1, 2, \dots, \Delta$$

Dann Magnus-Entwicklung für $\underline{\dot{y}} = \underline{\hat{A}}(t) \underline{\hat{y}}$

Vorteil: Integration nur für Polynome in $t \Rightarrow$
 einfach exakt berechnen.

$\underline{\hat{A}}(t)$ glatt; man kann zeigen:

Rest in der Magnus-Entwicklung ($\underline{\hat{\Sigma}}$) ist $O(t^5)$ nach 4 Termen.

Theorem $(b_{\bar{i}}, \epsilon_{\bar{i}})_{\bar{i}=1, \dots, \Delta}$ Quadraturformel der Ordnung $p \geq 1$

$$y(t_n + h) - \underline{\hat{y}}(t_n + h) = O(h^{p+1})$$

* Siehe Methoden & Beispiel im Skript!

§11. Exponentielle Integratoren

$$\begin{cases} \dot{\underline{y}} = \underline{f}(\underline{y}) & \text{autonom mit } \underline{f} \text{ stetig differenzierbar} \\ \underline{y}(0) = \underline{y}_0 \end{cases}$$

$$\int_0^h e^{\underline{z}(h-s)} \underline{g}(\underline{y}(s)) ds \approx \int_0^h e^{\underline{z}(h-s)} \underline{g}(\underline{y}_0) ds = h \underline{f}(h\underline{z}) \underline{g}(\underline{y}_0)$$

Idee der Linearisierung: $\underline{J} = \underline{Df}(\underline{y}_0)$

$$f(z) \stackrel{\text{def}}{=} \frac{e^z - 1}{z} = \sum_{n=1}^{\infty} \frac{1}{n!} z^{n-1} = \sum_{n=0}^{\infty} \frac{z^n}{(n+1)!}$$

$$\dot{\underline{y}} = \underbrace{\underline{z}\underline{y}}_{\text{linear}} + \underbrace{\underline{f}(\underline{y}) - \underline{z}\underline{y}}_{\underline{g}(\underline{y})}$$

für Matrizen: $f(\underline{A}) = \sum_{n=0}^{\infty} \frac{\underline{A}^n}{(n+1)!} = (e^{\underline{A}} - \underline{I}) \underline{A}^{-1}$

Variation der Konstanten:

Beweis

$$\int_0^h e^{\underline{z}(h-s)} \underline{g}(\underline{y}(s)) ds = \int_0^h \sum_{n=0}^{\infty} \frac{1}{n!} (\underline{z}(h-s))^n \underline{g}(\underline{y}(s)) ds =$$

$$\underline{y}(h) = e^{\underline{z}h} \underline{y}_0 + \int_0^h e^{\underline{z}(h-s)} \underline{g}(\underline{y}(s)) ds$$

Umtauschen $\int_0^h (h-s)^n ds$

Ersetze $\underline{y}(s)$ durch $\underline{y}_0 \Rightarrow$ "Quadratü"/Approximati.

$$= \sum_{n=0}^{\infty} \frac{1}{n!} \underline{z}^n \frac{(-1)^{n+1} (h-s)^{n+1}}{n+1} \Big|_{s=0}^{s=h} \underline{g}(\underline{y}_0) =$$

$$\sum_{n=0}^{\infty} \frac{1}{n!} \frac{\partial^n}{\partial t^n} \frac{h^{n+1}}{n+1} g(\underline{y}_0) = h \sum_{n=0}^{\infty} \frac{1}{(n+1)!} \frac{\partial^n}{\partial t^n} h^n g(\underline{y}_0)$$

$$= h f(\underline{\partial} h) \underline{g}(\underline{y}_0)$$

Bez Definition von $\underline{g}(\underline{y}_0) = \underline{f}(\underline{y}_0) - \underline{\partial} \underline{y}_0$

$$h f(\underline{\partial} h) \underline{g}(\underline{y}_0) = h f(\underline{\partial} h) \underline{f}(\underline{y}_0) - h f(\underline{\partial} h) \cdot \underline{\partial} \underline{y}_0$$

$$h f(\underline{\partial} h) \underline{\partial} \underline{y}_0 = h \sum_{n=0}^{\infty} \frac{1}{(n+1)!} \frac{\partial^n}{\partial t^n} h^n \underline{\partial} \underline{y}_0 = e^{\underline{\partial} h} \underline{y}_0 - \underline{y}_0$$

$$h f(\underline{\partial} h) \underline{g}(\underline{y}_0) = h f(\underline{\partial} h) \underline{f}(\underline{y}_0) - e^{\underline{\partial} h} \underline{y}_0 + \underline{y}_0$$

Somit bekommen wir

$$\underline{y}(h) \approx e^{\underline{\partial} h} \underline{y}_0 + h f(\underline{\partial} h) \underline{f}(\underline{y}_0) - e^{\underline{\partial} h} \underline{y}_0 + \underline{y}_0$$

$$\Rightarrow \underline{y}(h) \approx \underline{y}_0 + h f(\underline{\partial} h) \underline{f}(\underline{y}_0)$$

exponentielles Eulerverfahren.

$$\underline{\partial} = \underline{D} f(\underline{y}_0)$$

$$f(h \underline{\partial}) = (e^{h \underline{\partial}} - \underline{I})(h \underline{\partial})^{-1}$$

teuer für grosses d $O(d^3)$

Bez Für grosses d kann man das Krylov-Verfahren für $e^{h \underline{\partial}}$ verwenden!

$$l(\underline{A}) \underline{b} = \underline{V}_m l(\underline{H}_m) \begin{bmatrix} 1 \\ 0 \\ \vdots \\ 0 \end{bmatrix}$$

aus Krylov-Verfahren mit $\mathcal{K}_m(\underline{A}, \underline{b})$

Ben Stabilitätsfunktion $S(z) = e^z$
 \Rightarrow das ideale Stabilitätsgebiet!

da exakt für $\underline{\dot{y}} = \underline{A} \underline{y} + \underline{g}$
 \hookrightarrow konstante

Verallgemeinerung: exponentielle RK-Verfahren.

$$\underline{J} = \underline{D}f(x)$$

semi-implizite Euler: $\underline{y}_1 = \underline{y}_0 + \boxed{(\underline{I} - h \underline{J})^{-1}} h \underline{f}(\underline{y}_0)$

exponentielle Euler: $\underline{y}_1 = \underline{y}_0 + \boxed{l(h \underline{J})} h \underline{f}(\underline{y}_0)$

Idee: ersetze $\frac{1}{1-z}$ durch $l(z) = \frac{e^z - 1}{z}$ in Row \Rightarrow

$$\begin{cases} \underline{k}_i = l(h \underline{J}) \left(\underline{f}(\underline{u}_i) + h \underline{J} \sum_{j=1}^{i-1} \alpha_{ij} \underline{k}_j \right) \\ \underline{u}_i = \underline{y}_0 + h \sum_{j=1}^{i-1} \alpha_{ij} \underline{k}_j \\ \underline{y}_1 = \underline{y}_0 + h \sum_{i=1}^{\mathcal{D}} b_i \underline{u}_i \end{cases}$$

explizite RK: $l(z) = 1$ und $\underline{J} = \underline{0}$

Row : $l(z) = \frac{1}{1-z}$

exp. RK : $l(z) = \frac{e^z - 1}{z}$

| ODEs | nicht steif | steif | oszillierend |
|------------|--------------------------|---|---|
| Methode | expl. RK ode45 | impl. RK ode23s | exponentielle RK <i>exp4</i> |
| Stabilität | $h < \frac{1}{\lambda}$ | alle h | alle h |
| Implement. | <u>$f(y)$</u> | <u>$Df(y)$</u> lösen nicht.-lin. Gleichungssysteme. | <u>$Df(y)$</u> $\rho(\underline{A}) \underline{b}$ schnell mit Krylov. |

⊕ Erhaltungseigenschaften wichtig?

⊕ Autonom?

⊕ Ordnung der Dgl.?